

สำนักหอสมุดกลาง พระจอมเกล้าลาดกระบัง

อุปกรณ์ควบคุม สเตปปีงมอเตอร์ ด้วย FPGA

STEPPING MOTOR CONTROLLER WITH FPGA



นายณัฐพันธ์

เนาวเศรษฐ์

นายศักดิ์นรินทร์

เชาวน์ไชยนต์

เลขหมู่.....

เลขทะเบียน.....**62699**

วัน,เดือน,ปี.....**21 ส.ค. 2549**

b..... 11279105
i.....

ปริญญานิพนธ์นี้เป็นส่วนหนึ่งของการศึกษาตามหลักสูตรปริญญาวิศวกรรมศาสตรบัณฑิต

สาขาวิชาวิศวกรรมการวัดคุม

ภาควิชาวิศวกรรมการวัดคุม คณะวิศวกรรมศาสตร์

สถาบันเทคโนโลยีพระจอมเกล้าเจ้าคุณทหารลาดกระบัง

ปีการศึกษา 2548

เอกสารนี้เป็นเอกสารที่สงวนไว้สำหรับการใช้งานเพื่อการศึกษาเท่านั้น ไม่อนุญาตให้นำไปใช้ประโยชน์ด้านการค้า
ไม่ว่ากรณีใดๆทั้งสิ้น อีกทั้งห้ามมิให้ดัดแปลงเนื้อหา และต้องอ้างอิงถึงเจ้าของเอกสารทุกครั้งที่มีการนำไปใช้

STEPPING MOTOR CONTROLLER WITH FPGA



A THESIS SUBMITTED IN PARTIAL FULFILLMENT
OF THE REQUIREMENT FOR THE DEGREE OF
BACHELOR OF ENGINEERING IN INSTRUMENTATION ENGINEERING
DEPARTMENT OF INSTRUMENTATION ENGINEERING
FACULTY OF ENGINEERING
KING MONGKUT'S INSTITUTE OF TECHNOLOGY LADKRABANG

2005

เอกสารนี้เป็นเอกสารที่สงวนไว้สำหรับการใช้งานเพื่อการศึกษาเท่านั้น ไม่อนุญาตให้นำไปใช้ประโยชน์ด้านการค้า
ไม่ว่ากรณีใดๆทั้งสิ้น อีกทั้งห้ามมิให้ดัดแปลงเนื้อหา และต้องอ้างอิงถึงเจ้าของเอกสารทุกครั้งที่มีการนำไปใช้

ภาควิชาวิศวกรรมการวัดคุม
คณะวิศวกรรมศาสตร์
สถาบันเทคโนโลยีพระจอมเกล้าเจ้าคุณทหารลาดกระบัง
ใบรับรองปริญญาโท

หัวข้อปริญญาโท อุปกรณ์ควบคุมสเตปปีงมอเตอร์ ด้วย FPGA
STEPPING MOTOR CONTROLLER WITH FPGA
นักศึกษาผู้จัดทำ นายณัฐพันธ์ เมาเสรษฐ์ รหัสประจำตัว 46015439
นายศักดิ์รินทร์ เซาว์ไชยันต์ รหัสประจำตัว 46015461
ปริญญา วิศวกรรมศาสตรบัณฑิต
สาขาวิชา วิศวกรรมการวัดคุม
ปีการศึกษา 2548

อาจารย์ผู้ควบคุมปริญญาโท	ลายมือชื่อ
ผศ. เว็ นกอยู่	

ภาควิชารับรองแล้ว

(รศ.ประสิทธิ์ จุลเสวีวงศ์)

หัวหน้าภาควิชาวิศวกรรมการวัดคุม

เอกสารนี้เป็นเอกสารที่สงวนไว้สำหรับการใช้งานเพื่อการศึกษาเท่านั้น ไม่อนุญาตให้นำไปใช้ประโยชน์ด้านการค้า
ไม่ว่ากรณีใดๆทั้งสิ้น อีกทั้งห้ามมิให้ดัดแปลงเนื้อหา และต้องอ้างอิงถึงเจ้าของเอกสารทุกครั้งที่มีการนำไปใช้

หัวข้อปริญญาานิพนธ์	อุปกรณ์ควบคุมสเตปปีงมอเตอร์ ด้วย FPGA		
	STEPPING MOTOR CONTROLLER WITH FPGA		
นักศึกษาผู้จัดทำ	นายณัฐพันธ์	เนามเศรษฐ์	รหัสประจำตัว 46015439
	นายศักดิ์รินทร์	เชาวน์ไชยันต์	รหัสประจำตัว 46015461
อาจารย์ที่ปรึกษา	ผศ.เชื้อ	นกออยู่	
ปีการศึกษา	2548		

บทคัดย่อ

โครงการนี้เป็นการศึกษาการนำ FPGA (Field-Programmable Gate Array) มาใช้ในการ Drive Stepping Motor เพื่อทำการควบคุมแรงบิดและความเร็วรอบ ในรูปแบบการ Drive แบบ Full Step และ Half Step ซึ่งความถี่ที่ใช้ในแบบ Full Step ใช้ในช่วง 10Hz-100Hz และแบบ Half Step ใช้ในช่วง 10Hz-500Hz ซึ่งการออกแบบโปรแกรมใช้ภาษาอธิบายพฤติกรรม (VHSIC Hardware Description Language) ของฮาร์ดแวร์ หรือเรียกว่า VHDL ซึ่ง FPGA ที่ใช้อยู่ในตระกูล XC3000 ของบริษัท Xilinx และใช้โปรแกรม ISE WebPACK เป็นโปรแกรมที่ใช้ในการออกแบบในการเขียนภาษา VHDL และใช้ Modelsim XE ในการจำลองการทำงานของโปรแกรมที่ทำการออกแบบบน ISE WebPACK เพื่อทำการเขียนโปรแกรมที่ผ่านการตรวจสอบเสร็จแล้วลง FPGA

เอกสารนี้เป็นเอกสารที่สงวนไว้สำหรับการใช้งานเพื่อการศึกษาเท่านั้น ไม่อนุญาตให้นำไปใช้ประโยชน์ด้านการค้า ไม่ว่าจะกรณีใดๆทั้งสิ้น อีกทั้งห้ามมิให้ดัดแปลงเนื้อหา และต้องอ้างอิงถึงเจ้าของเอกสารทุกครั้งที่มีการนำไปใช้

Thesis Title	Stepping Motor Controller with FPGA	
Authors	Mr. Nattapan	Nouwasat
	Mr. Saknarin	Chaochaiyan
Thesis Advisor	Asst.Prof. Chuae	Nokyoo
Year	2005	

ABSTRACT

This project performs FPGA (Field-Programmable Gate Array) to use drive stepping motor for control torque and speed (rpm) in drive pattern Full step and Half step. Frequency use in pattern Full step use in range 10 Hz-100 Hz and pattern Half step use in range 10 Hz-500 Hz . Program design by using hardware description language of hardware or called VHDL . FPGA in use now is the family of XC3000 of the Xilinx Company and ISE Webpack Program designed in writing VHDL Language and using ModelSim XE in simulating the program. When this program is finished , it will pass FPGA.

กิตติกรรมประกาศ

ปริญญาานิพนธ์ฉบับนี้สำเร็จลุล่วงได้ด้วยดีเพราะได้รับความเมตตาจาก ผู้ช่วยศาสตราจารย์ เชื้อ นกอยู่ และ รองศาสตราจารย์ฟูศักดิ์ ชิวสุวิทย์ ที่ได้ให้คำแนะนำแก่ผู้วิจัยตลอดมา อีกทั้งยังเอื้อเพื่ออุปกรณ์และเครื่องมือต่างๆ ในการทำปริญญาานิพนธ์นี้ ผู้วิจัยรู้สึกซาบซึ้งและขอกราบขอบพระคุณเป็นอย่างสูง

ขอขอบพระคุณ อาจารย์ภาควิชาวิศวกรรมการวัดคุมทุกท่าน ที่ได้ให้คำแนะนำอันเป็นประโยชน์ต่อการทำปริญญาานิพนธ์ฉบับนี้

และที่ลืมเสียมิได้คือ ขอกราบขอบพระคุณคุณแม่ อันเป็นที่รักยิ่ง ที่สนับสนุนและเป็นแรงบันดาลใจในการทำปริญญาานิพนธ์ฉบับนี้

คุณค่าและประโยชน์อันพึงมีจากปริญญาานิพนธ์ฉบับนี้ ผู้วิจัยขอมอบแด่ผู้มีพระคุณทุกท่าน

คณะผู้จัดทำ

เอกสารนี้เป็นเอกสารที่สงวนไว้สำหรับการใช้งานเพื่อการศึกษาเท่านั้น ไม่อนุญาตให้นำไปใช้ประโยชน์ด้านการค้า ไม่ว่าจะกรณีใดๆทั้งสิ้น อีกทั้งห้ามมิให้ดัดแปลงเนื้อหา และต้องอ้างอิงถึงเจ้าของเอกสารทุกครั้งที่มีการนำไปใช้

สารบัญ

	หน้า
บทคัดย่อภาษาไทย	I
บทคัดย่อภาษาอังกฤษ	II
กิตติกรรมประกาศ	III
สารบัญ	IV
สารบัญตาราง	VII
สารบัญภาพ	VIII
บทที่ 1 บทนำ	
1.1 ความเป็นมาและเหตุจูงใจของการวิจัย	1
1.2 วัตถุประสงค์ของปริญญานิพนธ์	1
1.3 ขอบเขตของปริญญานิพนธ์	1
1.4 ขั้นตอนการศึกษา	1
บทที่ 2 สเตปปีงมอเตอร์	
2.1 กล่าวนำ	3
2.2 หลักการทำงานของสเตปปีงมอเตอร์	3
2.3 คุณลักษณะทางสถิติ	5
2.4 สเตปปีงมอเตอร์แบบแม่เหล็กถาวร	6
2.5 การกระตุ้นสเตปปีงมอเตอร์	7
2.6 วงจรขับสำหรับสเตปปีงมอเตอร์	9
2.7 วงจรขับสองแหล่งจ่าย	10
บทที่ 3 คุณลักษณะโดยทั่วไปของอุปกรณ์ประเภท FPGA	
3.1 สถาปัตยกรรมโครงสร้าง	12
3.1.1 หน่วยความจำโครงแบบ	13
3.1.2 I/O Block	14
3.1.3 Configurable Logic Block (CLB)	17
3.1.4 การเชื่อมต่อระหว่างกันแบบโปรแกรมได้(Programmable Interconnect) 20	

เอกสารนี้เป็นเอกสารที่สงวนไว้สำหรับการใช้งานเพื่อการศึกษาเท่านั้น ไม่อนุญาตให้นำไปใช้ประโยชน์ด้านการค้า ไม่ว่าจะกรณีใดๆทั้งสิ้น อีกทั้งห้ามมิให้ดัดแปลงเนื้อหา และต้องอ้างอิงถึงเจ้าของเอกสารทุกครั้งที่มีการนำไปใช้

สารบัญ(ต่อ)

	หน้า
3.1.5 การเชื่อมต่อระหว่างกันตามวัตถุประสงค์ทั่วไป	21
3.1.6 การต่อตรงระหว่างกัน	24
3.1.7 เส้นยาว	26
3.1.8 บัสภายใน	27
3.1.9 คริสตัลลออสซิลเลเตอร์ (Crystal Oscillator)	28
3.2 การโปรแกรม	29
บทที่ 4 ภาษาวีเอชดีแอล	
4.1 ประวัติความเป็นมาของภาษาวีเอชดีแอล	32
4.2 ส่วนประกอบต่างๆของภาษาวีเอชดีแอล	34
4.2.1 หน่วยการออกแบบเอนทิตี	34
4.2.2 หน่วยการออกแบบสถาปัตยกรรม	36
4.2.3 หน่วยการออกแบบแพ็คเกจ	39
4.2.4 หน่วยการออกแบบโครงแบบ	40
4.3 ภาษาวีเอชดีแอลเพื่อการสังเคราะห์	41
4.3.1 ตัวอย่างรูปแบบการเขียนเกตพื้นฐาน	41
4.3.2 ตัวอย่างรูปแบบการเขียนฟลิปฟล็อปพื้นฐาน	42
4.4 การออกแบบจากบนลงล่าง	43
บทที่ 5 ผลการทดลอง	
5.1 จุดประสงค์ในการทดลอง	45
5.2 ผลการทดลอง	45
5.3 สรุปผลการทดลอง	58
บทที่ 6 สรุปผลการวิจัยและข้อเสนอแนะ	
6.1 บทสรุป	59
6.2 ข้อเสนอแนะและแนวทางพัฒนา	59
6.3 ปัญหาสำหรับการวิจัย	59

เอกสารนี้เป็นเอกสารที่สงวนไว้สำหรับการใช้งานเพื่อการศึกษาเท่านั้น ไม่อนุญาตให้นำไปใช้ประโยชน์ด้านการค้า
ไม่ว่ากรณีใดๆทั้งสิ้น อีกทั้งห้ามมิให้ดัดแปลงเนื้อหา และต้องอ้างอิงถึงเจ้าของเอกสารทุกครั้งที่มีการนำไปใช้

สารบัญ(ต่อ)

	หน้า
บรรณานุกรม	60
ภาคผนวก	61
ภาคผนวก ก	62
ภาคผนวก ข	67
ภาคผนวก ค	70



สารบัญตาราง

ตารางที่	หน้า
2.1 แสดงการกระตุ้นที่ละเฟสจะป้อนไฟกระตุ้นให้กับสเตปป์มอเตอร์ที่ละเฟส	8
2.2 แสดงการกระตุ้นแบบช้อยสเตปจะป้อนไฟกระตุ้นให้กับสเตปป์มอเตอร์	8
3.1 แสดงการเลือกใช้โหมดการทำงานของอุปกรณ์ FPGA ที่สามารถกระทำได้	30
5.1 แสดงผลการทดลองแบบ Half Step	54
5.2 แสดงผลการทดลองแบบ Full Step	54



เอกสารนี้เป็นเอกสารที่สงวนไว้สำหรับการใช้งานเพื่อการศึกษาเท่านั้น ไม่อนุญาตให้นำไปใช้ประโยชน์ด้านการค้า
ไม่ว่ากรณีใดๆทั้งสิ้น อีกทั้งห้ามมิให้ดัดแปลงเนื้อหา และต้องอ้างอิงถึงเจ้าของเอกสารทุกครั้งที่มีการนำไปใช้

สารบัญภาพ

ภาพที่	หน้า
2.1 แสดงการหมุนเป็นสเตป	3
2.2 แสดงการหมุนแบบต่อเนื่อง	4
2.3 แสดงกราฟคุณลักษณะทางสถิติของสเตปปีงขนาดสามเฟส	5
2.4 แสดงคุณลักษณะของแรงบิดต่อมุมสเตป	6
2.5 แสดงโครงสร้างของสเตปปีงมอเตอร์แบบแม่เหล็กถาวรสี่เฟส	7
2.6 แสดงโครงสร้างของสเตปปีงมอเตอร์แบบแม่เหล็กถาวร	7
2.7 แสดงวงจรสมมูลย์ของสเตปปีงมอเตอร์	9
2.8 แสดงกราฟแรงดันและกระแสแบบสองแหล่งจ่าย	9
2.9 แสดงวงจรขับแบบสองแหล่งจ่าย	11
3.1 แสดงแสดงโครงสร้างโดยทั่วไปของอุปกรณ์ FPGA	13
3.2 แสดงเซลล์หน่วยความจำโครงแบบแบบสถิต	14
3.3 แสดงบล็อกอินพุต-เอาต์พุต (IOB)	15
3.4 แสดงโครงสร้างของบล็อกตรรก	18
3.5 แสดงลักษณะการจัดรวมตรรกให้มีหน้าที่การทำงานสำหรับจำนวนตัวแปรที่ต่างกัน	19
3.6 แสดงตัวนับแทน modulo-8 ที่ใช้บล็อกตรรกรวมเดียวในแต่ละส่วน	20
3.7 แสดงภาพที่ได้จากระบบพัฒนา XACT ในส่วนการใช้ routing resources	21
3.8 แสดงภาพที่ได้จากระบบพัฒนา XACT ในส่วนของตำแหน่งและการเชื่อมต่อระหว่างกัน	22
3.9 แสดงการเชื่อมต่อถึงกันภายในอุปกรณ์ FPGA ตามแบบทั่วไป	23
3.10 แสดงทางเลือกของการเชื่อมต่อถึงกันของสวิตช์เมตริกซ์สำหรับแต่ละขา	23
3.11 แสดงการต่อถึงกันโดยตรงระหว่างเอาต์พุต X และ Y ของ CLB	24
3.12 แสดงตัวอย่างการต่อถึงกันโดยตรงระหว่าง CLB ที่อยู่ใกล้กันภายในอุปกรณ์ XC3020	25
3.13 แสดงเส้นยาว (longlines) ทางแนวนอนและแนวตั้ง	26
3.14 แสดงตัวอย่างการเลือกจุดต่อถึงกันของเส้นยาว	27
3.15 แสดงตัวอย่างการเชื่อมต่อระหว่างกันภายใน (เฉพาะมุมขวาล่าง) ของอุปกรณ์ XC3020 ที่ได้จากระบบพัฒนา XACT	28
3.16 แสดงลักษณะการใช้คริสตอลออสซิลเลเตอร์	29
3.17 แสดงลักษณะการใช้งานอุปกรณ์ FPGA ให้มีการทำงานแบบ Master Serial Mode	31

เอกสารนี้เป็นเอกสารที่สงวนไว้สำหรับการใช้งานเพื่อการศึกษาเท่านั้น ไม่อนุญาตให้นำไปใช้ประโยชน์ด้านการค้า ไม่ว่ากรณีใดๆทั้งสิ้น อีกทั้งห้ามมิให้ดัดแปลงเนื้อหา และต้องอ้างอิงถึงเจ้าของเอกสารทุกครั้งที่มีการนำไปใช้

สารบัญภาพ(ต่อ)

ภาพที่	หน้า
4.1 แสดงโครงสร้างทั่วไปของหน่วยการออกแบบเอนทิตี	34
4.2 แสดงรูปแบบของมัลติเพลกซ์ (a) หน่วยการออกแบบเอนทิตีในรูปของวีเอชดีแอล (b) มุมมองของตัวเชื่อมประสาน (Interfacing)	35
4.3 แสดงรูปแบบมัลติเพลกซ์ที่ประกอบด้วยข้อมูลค่าเวลาหน่วยแพร่กระจาย (a) หน่วยการออกแบบเอนทิตีในรูปของวีเอชดีแอล (b) มุมมองของตัวเชื่อมประสาน	35
4.4 แสดงหน่วยการออกแบบเอนทิตีที่ไม่มีกำหนดช่องทางที่ต่อกับภายนอก	36
4.5 แสดงโครงสร้างโดยทั่วไปของหน่วยการออกแบบสถาปัตยกรรม	36
4.6 แสดงหน่วยการออกแบบสถาปัตยกรรมของมัลติเพลกซ์ตามฟังก์ชันบูลีน $Output = (sel.in0)+(sel.in1)$	37
4.7 แสดงโครงสร้างภายในสถาปัตยกรรมของมัลติเพลกซ์	37
4.8 แสดงหน่วยการออกแบบสถาปัตยกรรมของมัลติเพลกซ์ประเภทโครงสร้าง	38
4.9 แสดงหน่วยการออกแบบสถาปัตยกรรมของมัลติเพลกซ์ประเภทพฤติกรรม	38
4.10 แสดงโครงสร้างโดยทั่วไปของส่วนการประกาศแฟกเก็ต	39
4.11 แสดงใน โครงสร้างของบอดีแฟกเก็ต	40
4.12 แสดงโครงสร้างโดยทั่วไปของหน่วยการออกแบบโครงแบบ	40
4.13 แสดงขั้นตอนการออกแบบจากบนลงล่าง	43
5.1 แสดงการเปรียบเทียบสัญญาณระหว่าง OUTPUT ของ PIC กับ INPUT ของ FPGA	45
5.2 แสดงการเปรียบเทียบสัญญาณระหว่างสัญญาณ INPUT กับสัญญาณ OUTPUT ที่ STEP ที่ 1 ของ FPGA แบบ Full Step	46
5.3 แสดงการเปรียบเทียบสัญญาณระหว่างสัญญาณ INPUT กับสัญญาณ OUTPUT ที่ STEP ที่ 1 ของ FPGA แบบ Half Step	47
5.4 แสดงการเปรียบเทียบระหว่างสัญญาณ STEP ที่ 1 และ STEP ที่ 2 แบบ Full Step	48
5.5 แสดงการเปรียบเทียบระหว่างสัญญาณ STEP ที่ 1 และ STEP ที่ 3 แบบ Full Step	49
5.6 แสดงการเปรียบเทียบระหว่างสัญญาณ STEP ที่ 1 และ STEP ที่ 4 แบบ Full Step	50
5.7 แสดงการเปรียบเทียบระหว่างสัญญาณ STEP ที่ 1 และ STEP ที่ 2 แบบ Half Step	51
5.8 แสดงการเปรียบเทียบระหว่างสัญญาณ STEP ที่ 1 และ STEP ที่ 3 แบบ Half Step	52
5.9 แสดงการเปรียบเทียบระหว่างสัญญาณ STEP ที่ 1 และ STEP ที่ 4 แบบ Half Step	53
5.10 แสดงความสัมพันธ์ระหว่าง Frequency และ Torque แบบ Half Step	54

เอกสารนี้เป็นเอกสารที่สงวนไว้สำหรับการใช้งานเพื่อการศึกษาเท่านั้น ไม่อนุญาตให้นำไปใช้ประโยชน์ด้านการค้า ไม่ว่าจะกรณีใดๆทั้งสิ้น อีกทั้งห้ามมิให้ดัดแปลงเนื้อหา และต้องอ้างอิงถึงเจ้าของเอกสารทุกครั้งที่มีการนำไปใช้

สารบัญภาพ(ต่อ)

ภาพที่	หน้า
5.11 แสดงความสัมพันธ์ระหว่าง Frequency และ ความเร็วรอบ แบบ Half Step	55
5.12 แสดงความสัมพันธ์ระหว่าง Frequency และ Torque แบบ Full Step	55
5.13 แสดงความสัมพันธ์ระหว่าง Frequency และ ความเร็วรอบ แบบ Full Step	56
5.14 แสดงความสัมพันธ์ระหว่าง Frequency , Torque และ ความเร็วรอบ แบบ Half Step	56
5.15 แสดงความสัมพันธ์ระหว่าง Frequency , Torque และ ความเร็วรอบ แบบ Full Step	57
5.16 แสดงความสัมพันธ์ระหว่าง Torque และ ความเร็วรอบ	57
ข1. มอเตอร์ที่ใช้ในการวิจัย	68
ข2. มอเตอร์ที่ใช้ในการวิจัย	68
ข3. มอเตอร์ที่ใช้ในการวิจัย	69



บทที่ 1

บทนำ

1.1 ความเป็นมาและเหตุผลใจของการวิจัย

การออกแบบวงจรทางดิจิทัลในอดีต ผู้ออกแบบต้องนำเกทดิจิทัลชนิดต่างๆ เช่น AND, OR, NOR, NOT และ FLIP FLOP ที่อยู่ในรูปของ IC สำเร็จรูปมาต่อรวมกันเป็นวงจรที่ทำหน้าที่ตามต้องการ ด้วยวิธีการออกแบบในลักษณะนี้ หากวงจรที่ต้องการมีความซับซ้อนมากขึ้น จำนวนเกทดิจิทัลที่นำมาประกอบย่อมมีมากขึ้นตามไปด้วย ดังนั้นวงจรที่สร้างขึ้นจะมีขนาดใหญ่ นอกจากนี้ผู้ออกแบบยังต้องคำนึงถึงปัญหาของสัญญาณรบกวนที่จะเกิดขึ้นในการออกแบบทองแดงอีกด้วย จากความยุ่งยากดังกล่าวทำให้มีการพัฒนาวิธีการออกแบบวงจรทางดิจิทัลเรื่อยมา กระทั่งถึงปัจจุบันการออกแบบวงจรทางดิจิทัลจะเป็นการออกแบบในลักษณะที่ใช้ภาษาอธิบายพฤติกรรมของวงจร (Schematic) ผสมกับภาษาคอมพิวเตอร์แล้วใช้ซอฟต์แวร์สังเคราะห์ลอจิก (Logic Synthesis Tools) แปลงให้เป็นข้อมูลที่สามารถนำไปโปรแกรมลงในชิปไอซีที่สามารถโปรแกรมได้ เพื่อสร้างเป็นวงจรที่ต้องการ

1.2 วัตถุประสงค์ของปริญญาานิพนธ์

1. ศึกษาสถาปัตยกรรมภายในของ FPGA
2. ศึกษาการออกแบบ FPGA โดยใช้ภาษา VHDL
3. ศึกษาและพัฒนา FPGA เพื่อนำไปควบคุม Stepping Motor

1.3 ขอบเขตของปริญญาานิพนธ์

1. ทำการออกแบบจำลองโปรแกรมควบคุม Stepping Motor ด้วยภาษา VHDL
2. ทำการสร้างวงจรขับ Stepping Motor แบบสองแหล่งจ่าย
3. สามารถนำ FPGA ที่ทำการออกแบบ มาขับ Stepping Motor ได้ และบันทึกผลและเก็บค่าให้อยู่ในรูปของสัญญาณที่จุดต่างๆได้

1.4 ขั้นตอนการศึกษา

1. ศึกษาหลักการทำงานของ Stepping Motor และการขับเคลื่อนของ Stepping Motor
2. สร้างวงจรสองแหล่งจ่ายเพื่อนำไปขับ Stepping Motor
3. ศึกษาสถาปัตยกรรมภายในของ FPGA

เอกสารนี้เป็นเอกสารที่สงวนไว้สำหรับการใช้งานเพื่อการศึกษาเท่านั้น ไม่อนุญาตให้นำไปใช้ประโยชน์ด้านการค้า ไม่ว่ากรณีใดๆทั้งสิ้น อีกทั้งห้ามมิให้ดัดแปลงเนื้อหา และต้องอ้างอิงถึงเจ้าของเอกสารทุกครั้งที่มีการนำไปใช้

4. ศึกษาการออกแบบ FPGA โดยใช้ภาษา VHDL โดยใช้โปรแกรม ISE WebPACK เป็นตัวออกแบบในการเขียนภาษา VHDL และใช้ ModelsimXE ในการจำลองทำงานของโปรแกรมที่ทำการออกแบบบน ISE WebPACK
5. ทำการลงโปรแกรม ลงบน FPGA และนำไปขับ Stepping Motor
6. ทำการวัดสัญญาณสเตปที่ FPGA สร้างขึ้น ณ จุดต่างๆในรูปแบบของสัญญาณพัลส์
7. ทำการวัดค่าแรงบิด (Torque) และความเร็วรอบ (rpm) ที่ความถี่ต่างๆ แล้วนำไปทำการเขียนกราฟแสดงความสัมพันธ์ระหว่างค่าความถี่ แรงบิด และความเร็วรอบ ทั้งแบบ Full Step และแบบ Half Step



เอกสารนี้เป็นเอกสารที่สงวนไว้สำหรับการใช้งานเพื่อการศึกษาเท่านั้น ไม่อนุญาตให้นำไปใช้ประโยชน์ด้านการค้า ไม่ว่าจะกรณีใดๆทั้งสิ้น อีกทั้งห้ามมิให้ดัดแปลงเนื้อหา และต้องอ้างอิงถึงเจ้าของเอกสารทุกครั้งที่มีการนำไปใช้

บทที่ 2

สเตปป์ิงมอเตอร์

2.1 กล่าวนำ

สเตปป์ิงมอเตอร์เป็นมอเตอร์ไฟฟ้ากระแสสลับที่มีโรเตอร์เป็นแม่เหล็กถาวรและใช้การกระตุ้นด้วยแม่เหล็กไฟฟ้าจากขดลวดที่สเตเตอร์ โดยแบ่งขดขลวดที่สเตเตอร์ออกเป็นเฟสต่างๆ

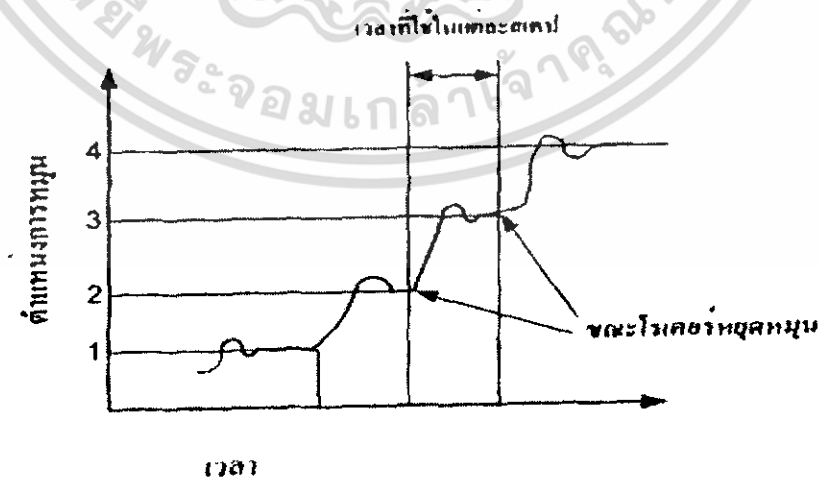
การขับสเตปป์ิงมอเตอร์ใช้วงจรจับควบคุมการจ่ายกระแสไฟฟ้าให้กับขดลวดตัวนำในแต่ละเฟสเพื่อสร้างสนามแม่เหล็กไฟฟ้าให้สอดคล้องกับการหมุนของ โรเตอร์ที่เป็นแม่เหล็กชนิดถาวร

2.2 หลักการทำงานของสเตปป์ิงมอเตอร์

สเตปป์ิงมอเตอร์เป็นมอเตอร์ไฟฟ้ากระแสสลับที่เปลี่ยนสัญญาณดิจิทัลเป็นการเคลื่อนที่ทางกล จึงเหมาะสำหรับการเชื่อมต่อกับอุปกรณ์ทางดิจิทัลหรือคอมพิวเตอร์ โดยการทำงานของสเตปป์ิงมอเตอร์ โดยส่วนใหญ่จะขึ้นอยู่กับสัญญาณพัลส์ (PULSE) กระตุ้นที่ป้อนให้กับขดลวดของเฟสของมอเตอร์ในลำดับที่ถูกต้องด้วยวงจรลำดับลอจิกและกระแสที่เพียงพอเพื่อป้อนให้กับวงจรจับ

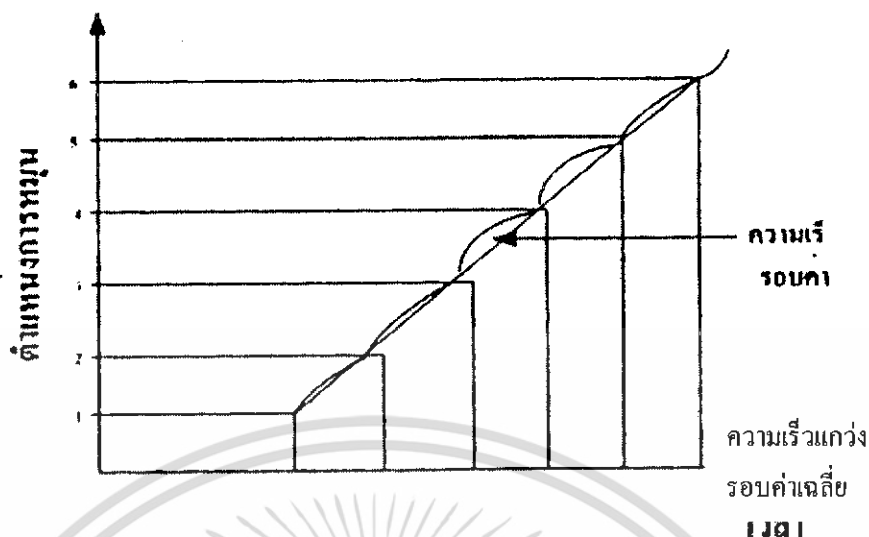
การทำงานของสเตปป์ิงมอเตอร์ใช้อัตราเร็วของแต่ละสเตปป์นั้น สามารถแบ่งออกเป็นลักษณะของ 2 โหมดการทำงานคือ

1. โหมดของการหมุนเป็นสเตป (Discrete Mode)
2. โหมดของการหมุนแบบต่อเนื่อง (Slewing Mode)



ภาพที่ 2.1 แสดงการหมุนเป็นสเตป

เอกสารนี้เป็นเอกสารที่สงวนไว้สำหรับการใช้งานเพื่อการศึกษาเท่านั้น ไม่อนุญาตให้นำไปใช้ประโยชน์ด้านการค้า ไม่ว่าจะกรณีใดๆทั้งสิ้น อีกทั้งห้ามมิให้ดัดแปลงเนื้อหา และต้องอ้างอิงถึงเจ้าของเอกสารทุกครั้งที่มีการนำไปใช้



ภาพที่ 2.2 แสดงการหมุนแบบต่อเนื่อง

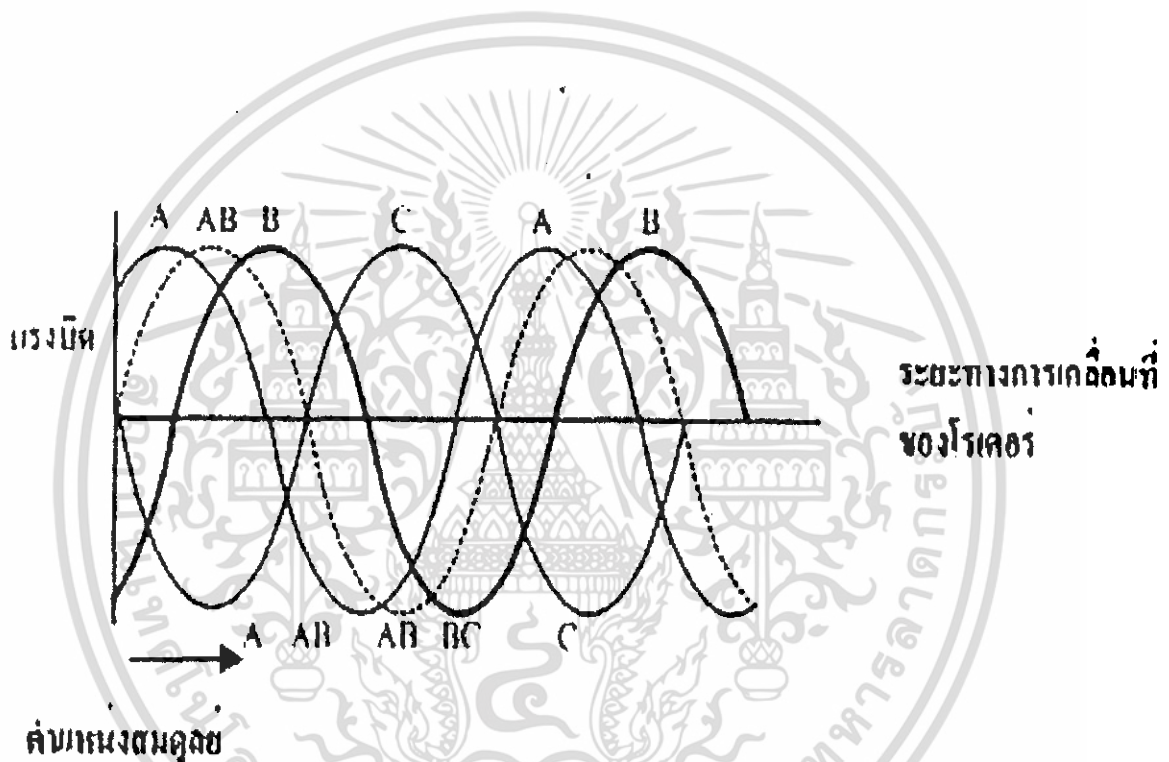
ลักษณะการหมุนแบบสลับจะมีช่วงเวลาหยุดนิ่งของโรเตอร์ก่อนที่จะเปลี่ยนสเตปถัดไป ดังนั้นหากมีการเพิ่มอัตราเร็วในแต่ละสเตปให้เร็วขึ้นและเป็นไปอย่างต่อเนื่อง การหมุนของมอเตอร์ก็จะเปลี่ยนเป็นการหมุนแบบต่อเนื่อง

การที่นำสเตปปี้งมอเตอร์ไปใช้งานไม่ว่าจะเป็นโหมคการทำงานแบบใดหรือเป็นมอเตอร์แบบไหนควรมีการศึกษาคุณลักษณะต่างๆ เช่น แรงบิด การตอบสนองต่อความถี่สูงสุดและความสัมพันธ์ระหว่างการเปลี่ยนแปลงของแรงบิดกับค่าของกระแสทั้งนี้เพื่อให้สามารถควบคุมการทำงานของสเตปปี้งมอเตอร์ได้อย่างมีประสิทธิภาพมากที่สุดซึ่งคุณลักษณะเหล่านี้สามารถแบ่งออกได้เป็นสองลักษณะคือ

1. คุณลักษณะทางสถิตย (Static Characteristics)
2. คุณลักษณะทางพลวัต (Dynamic Characteristics)

2.3 คุณลักษณะทางสถิตย

คุณลักษณะทางสถิตย หมายถึง คุณลักษณะในสภาวะที่มอเตอร์หยุดนิ่งไม่มีการเคลื่อนไหวนี่จะเป็นตำแหน่งที่มีความสมดุลของการหมุนมากที่สุดกล่าวคือเป็นตำแหน่งที่ซีพินของโรเตอร์และซีพินของสเตเตอร์มีความสัมพันธ์กันอยู่ในแนวเดียวกัน และยังคงอยู่ในตำแหน่งนี้จนกว่าจะมีการกระตุ้นอีกครั้ง โดยที่ตำแหน่งสมดุลของโรเตอร์จะมีค่าของแรงบิดเท่ากับศูนย์ ซึ่งถ้าโรเตอร์มีการเคลื่อนที่ในทิศทางใดทิศทางหนึ่ง มอเตอร์ก็จะทำการสร้างสมดุลให้กับโหลดโดยการสร้างแรงบิดขึ้นมาในทิศทางตรงกันข้ามกับทิศทางการเคลื่อนที่ ผลของแรงบิดกับการเคลื่อนที่ของโรเตอร์จะมีลักษณะคล้ายกับรูปคลื่นไซน์

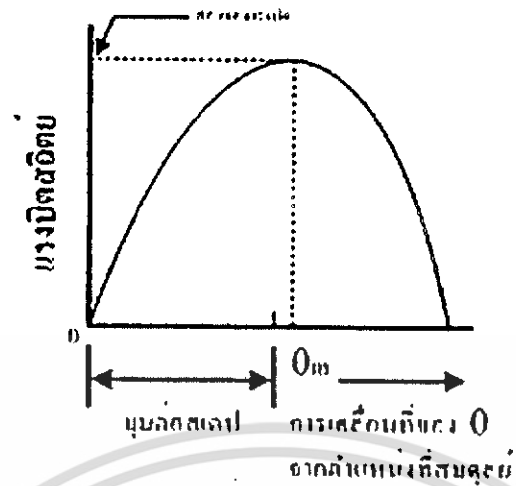


ภาพที่ 2.3 กราฟคุณลักษณะทางสถิตยของสเตปิ้งขนาดสามเฟส

แรงบิดสูงสุดที่เกิดขึ้นอยู่กับกระแสที่จ่ายเฟสนั้น ๆ โดยที่แรงบิดนี้เรียกว่าสภาพคงแรงบิด (Holding Torque) หรือแรงบิดสถิตย (Static Torque) โดยลักษณะความสัมพันธ์ระหว่างค่าของแรงบิดกับกระแสที่เปลี่ยนแปลงไปจะเป็นลักษณะเชิงเส้น แต่ก็จะมีขีดจำกัดอยู่ที่จุดอิ่มตัวแม่เหล็กของทั้งโรเตอร์และสเตเตอร์ซึ่งมีโครงสร้างเป็นแม่เหล็ก โดยที่จุดอิ่มตัวคือจุดที่ไม่มีการเพิ่มขึ้นของแรงบิดแม้ว่าแสงความสัมพันธ์ดังต่อไปนี้

1. คุณลักษณะของแรงบิดกับมุมสเตป
2. คุณลักษณะของแรงบิดกับกระแส

เอกสารนี้เป็นเอกสารที่สงวนไว้สำหรับการใช้งานเพื่อการศึกษาเท่านั้น ไม่อนุญาตให้นำไปใช้ประโยชน์ด้านการค้าไม่ว่ากรณีใดๆทั้งสิ้น อีกทั้งห้ามมิให้ดัดแปลงเนื้อหา และต้องอ้างอิงถึงเจ้าของเอกสารทุกครั้งที่มีการนำไปใช้

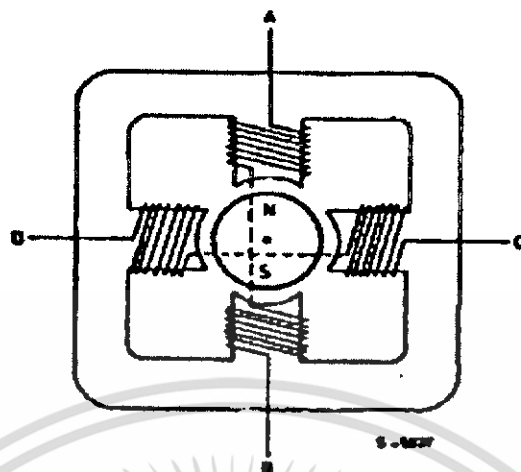


ภาพที่ 2.4 คุณลักษณะของแรงบิดต่อมุมสเตป

2.4 สเตปปีงมอเตอร์แบบแม่เหล็กถาวร

สเตปปีงมอเตอร์ชนิดนี้จะใช้แม่เหล็กถาวรเป็นโรเตอร์โดยที่ตัวของโรเตอร์รูปร่างเป็นทรงกระบอก โรเตอร์และสเตเตอร์จะถูกแบ่งออกเป็นซี่ๆ หรือที่เรียกว่าเฟสล้อมรอบตามภาพที่ 2.5 โดยในแต่ละซี่นั้นจะมีขดลวดพัน โดยรอบๆ เพื่อทำให้เกิดการกระตุ้นในการสร้างสนามแม่เหล็ก การให้สเตปปีงมอเตอร์แบบแม่เหล็กถาวรนั้นมีขนาดมุมสเตป(step)เล็กลงสามารถทำได้โดยการเพิ่มจำนวนของขั้วแม่เหล็กของโรเตอร์และหรือจำนวนซี่ฟันของสเตเตอร์ แต่การเพิ่มความละเอียดของสเตปก็ยังมีขีดจำกัดในการเพิ่มของจำนวนขั้วแม่เหล็กของโรเตอร์ ทั้งนี้เนื่องการสร้างแม่เหล็กถาวรให้มีโครงสร้างแบบมีขั้วแม่เหล็กหลายๆขั้วนั้นทำได้ยากจึงกลายเป็นข้อเสียของสเตปปีงมอเตอร์ ซึ่งในลักษณะนี้มีข้อเสียคือ

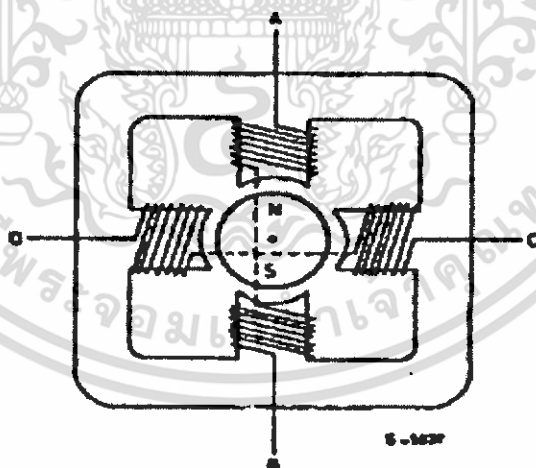
1. มีขนาดของมุมสเตปใหญ่จะทำให้มีความละเอียดของมุมสเตปต่อรอบน้อยมาก เนื่องจากว่าโครงสร้างของโรเตอร์เป็นแม่เหล็กถาวร
2. สเตปปีงมอเตอร์แบบแม่เหล็กถาวรส่วนใหญ่จะมีโครงสร้างขนาดเล็กทำให้ค่าของแรงบิดที่ได้ต่อหน่วยปริมาตรมีค่าต่ำ ถ้าต้องการปรับปรุงประสิทธิภาพในเรื่องของแรงบิดแม่เหล็กถาวรที่ใช้จะต้องทำมาจากสารแม่เหล็กที่มีสภาพความเป็นแม่เหล็กสูง



ภาพที่ 2.5 โครงสร้างของสเตปป์ังมอเตอร์แบบแม่เหล็กถาวรสี่เฟส

2.5 การกระตุ้นสเตปป์ังมอเตอร์

การกระตุ้นสเตปป์ังมอเตอร์สามารถทำได้โดยการป้อนไฟให้กับขดลวดในแต่ละเฟสตามลำดับที่เหมาะสมจากภาพ 2.6 โครงสร้างของสเตปป์ังมอเตอร์



ภาพที่ 2.6 โครงสร้างของสเตปป์ังมอเตอร์แบบแม่เหล็กถาวร

การกระตุ้นให้สเตปป์ังมอเตอร์ทำงานสามารถทำได้ดังนี้

1. การกระตุ้นที่ละเฟส

2. การกระตุ้นแบบย่อสเตป

เอกสารนี้เป็นเอกสารที่สงวนไว้สำหรับการใช้งานเพื่อการศึกษาเท่านั้น ไม่อนุญาตให้นำไปใช้ประโยชน์ด้านการค้าไม่ว่ากรณีใดๆทั้งสิ้น อีกทั้งห้ามมิให้ดัดแปลงเนื้อหา และต้องอ้างอิงถึงเจ้าของเอกสารทุกครั้งที่มีการนำไปใช้

ตารางที่ 2.1 การกระตุ้นทีละเฟสจะป้อนไฟกระตุ้นให้กับสเตปป์มอเตอร์ทีละเฟส

ลำดับที่	เฟสที่ 1	เฟสที่ 2	เฟสที่ 3	เฟสที่ 4
1	●			
2		●		
3			●	
4				●
5	●			
6		●		
7			●	
8				●

ตารางที่ 2.2 การกระตุ้นแบบข้อยสเตปจะป้อนไฟกระตุ้นให้กับสเตปป์มอเตอร์

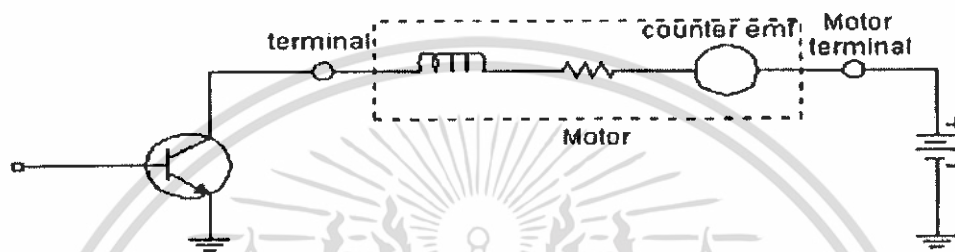
ลำดับที่	เฟสที่ 1	เฟสที่ 2	เฟสที่ 3	เฟสที่ 4
1	●			
2	●	●		
3		●		
4		●	●	
5			●	
6			●	●
7				●
8	●			●

เอกสารนี้เป็นเอกสารที่สงวนไว้สำหรับการใช้งานเพื่อการศึกษาเท่านั้น ไม่อนุญาตให้นำไปใช้ประโยชน์ด้านการค้า
ไม่ว่ากรณีใดๆทั้งสิ้น อีกทั้งห้ามมิให้ดัดแปลงเนื้อหา และต้องอ้างอิงถึงเจ้าของเอกสารทุกครั้งที่มีการนำไปใช้

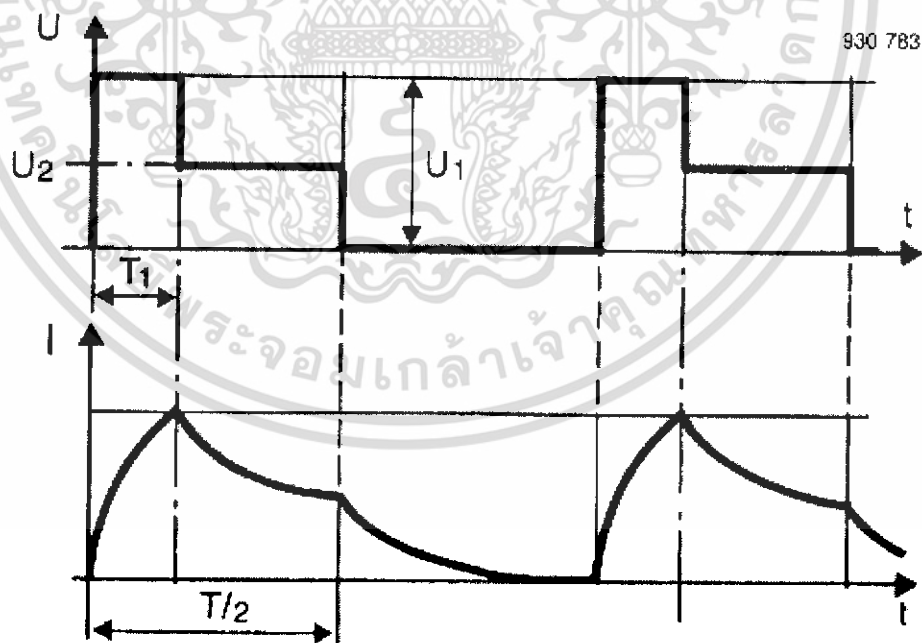
2.6 วงจรขับสำหรับสเตปป์มอเตอร์

การพิจารณาถึงหลักการในการออกแบบวงจรขับให้กับขดลวดของสเตปป์มอเตอร์จะต้องคำนึงถึงองค์ประกอบหลายอย่างด้วยกันเนื่องจากการหมุนของสเตปป์มอเตอร์จะทำให้เกิดแรงดันไฟฟ้าย้อนกลับ (Back emf) ซึ่งจะมีทิศทางตรงกันข้ามกับแหล่งจ่ายแรงดันไฟฟ้า

โดยสามารถเขียนรูปวงจรมมูลย์ (Epuivalent circuit) ในหนึ่งเฟสของสเตปป์มอเตอร์ได้แสดงดังในภาพที่ 2.7



ภาพที่ 2.7 แสดงวงจรมมูลย์ของสเตปป์มอเตอร์



ภาพที่ 2.8 กราฟแรงดันและกระแสแบบสองแหล่งจ่าย

เอกสารนี้เป็นเอกสารที่สงวนไว้สำหรับการใช้งานเพื่อการศึกษาเท่านั้น ไม่อนุญาตให้นำไปใช้ประโยชน์ด้านการค้า ไม่ว่าจะกรณีใดๆทั้งสิ้น อีกทั้งห้ามมิให้ดัดแปลงเนื้อหา และต้องอ้างอิงถึงเจ้าของเอกสารทุกครั้งที่มีการนำไปใช้

หลักการแก้ไขปัญหาด้านแรงบิดที่มีผลต่อความถี่ โดยเงื่อนไขแรงบิดของสเตปป์มอเตอรืนั้นขึ้นอยู่กับกระแสที่ไหลผ่านขดลวดเมื่อสเตปป์มอเตอรืทำงานอยู่ที่ความถี่ต่ำนั้นค่าของกระแสที่ไหลผ่านขดลวดนั้นจะถึงระดับที่สเตปป์มอเตอรืต้องการ ทำให้ได้สเตปป์มอเตอรือยู่ในสภาพคงแรงบิดที่ T2 แต่เมื่อทำการเพิ่มความถี่ให้มีค่าสูงขึ้นค่าเวลาก็จะมีค่าน้อยลงทำให้ไม่เพียงพอต่อการที่จะทำให้กระแสที่ไหลผ่านขดลวดนั้นจะถึงระดับที่ต้องการของสเตปป์มอเตอรื จึงทำให้ได้ค่ากระแสเฉลี่ยที่น้อยลง

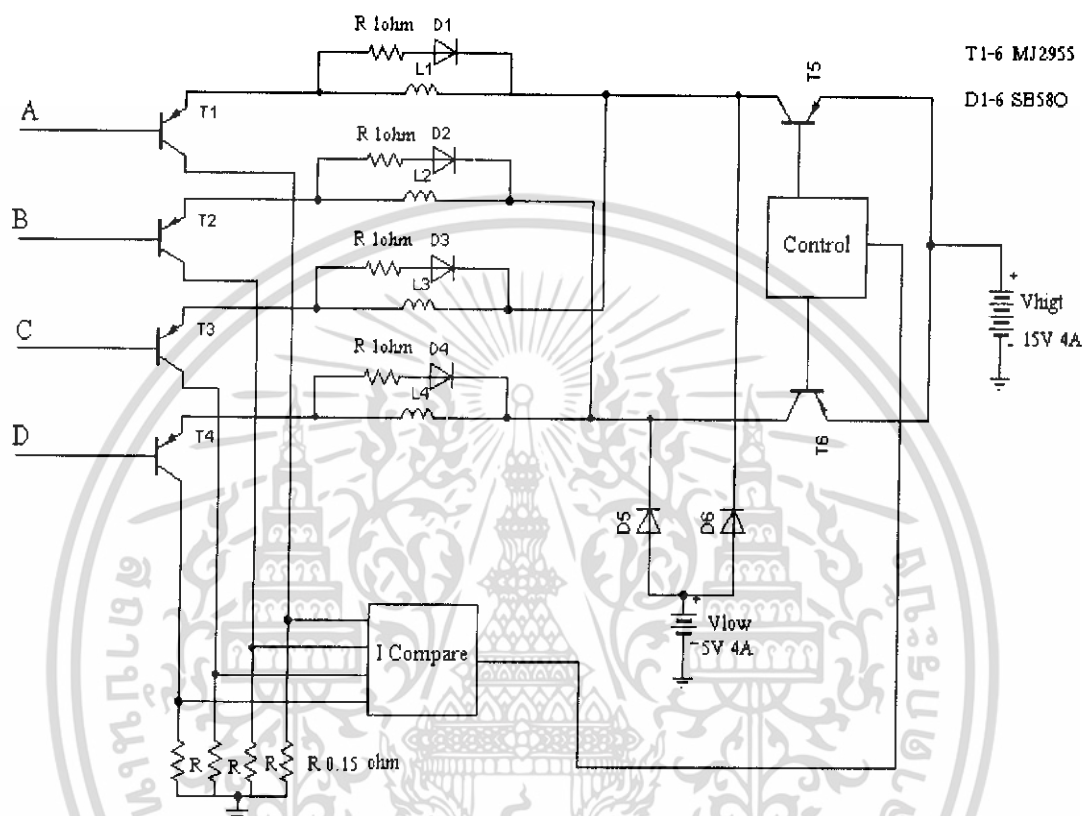
โดยการแก้ไขแบบสองแหล่งจ่ายนั้นจะทำโดยการจ่ายแรงดันสองระดับให้แก่วงจร โดยในสถานะแรกจะทำการจ่ายแรงดัน V(high) ก่อนเพื่อให้กระแสถึงระดับที่สเตปป์มอเตอรืต้องการ เมื่อกระแสถึงระดับที่สเตปป์มอเตอรืต้องการแล้วก็จะทำการตัดแหล่งจ่าย V(high) ออกจากวงจรแล้วทำการจ่ายแรงดัน V(low) เข้ามาเพื่อรักษาให้สเตปป์มอเตอรือยู่ในสภาพคงแรงบิดต่อไป ซึ่งการเพิ่มแหล่งจ่ายอีกชุดเข้ามาจะช่วยยกระดับของกระแสให้สูงขึ้นและจะมีผลทำให้กระแสถึงระดับที่สเตปป์มอเตอรืต้องการเร็วขึ้นนั่นเอง ดูจากค่าเวลาที่ T1 ซึ่งตรงเส้นสีแดงจะเป็นระดับของกระแสที่สเตปป์มอเตอรืต้องการเมื่อทำการเปรียบเทียบ T2 แล้วค่าเวลา T1 จะมีค่าน้อยกว่า จึงช่วยให้สเตปป์มอเตอรืทำงานที่ย่านความถี่ที่สูงขึ้นได้

โดยทั่วไปสเตปป์มอเตอรืได้ถูกออกแบบให้ทนความร้อนได้สูงถึงประมาณที่ 100 องศา แต่ในการใช้งานจริงจะถูกใช้งานที่เงื่อนไขต่ำกว่าจุดอิมิตัวที่กำหนดมา โดยทั่วไปการขับมอเตอรืนั้นจะต้องเลือกใช้อุปกรณ์ที่กินกระแสสูง เนื่องจากชุดขดลวดในแต่ละเฟสของสเตปป์มอเตอรืจะต้องมีการนำและหยุดนำกระแสอยู่ตลอดเวลา ดังนั้นจึงจำเป็นต้องออกแบบเพื่อป้องกันความเสียหายที่อาจเกิดขึ้นกับทรานซิสเตอร์กำลังจากแรงดันยอดแหลม (Spike Voltage) ที่เกิดจากการเหนี่ยวนำของกระแสในขดลวด (Inductive Turn Off Spike Voltage) และการเสียดสภาพฉนวนของแรงดันซึ่งการออกแบบวงจรขับและวงจรป้องกันสามารถทำได้ดังนี้

2.7 วงจรขับสองแหล่งจ่าย

เป็นวิธีการขับที่มีประสิทธิภาพกว่ารูปแบบของการต่อความต้านทานอนุกรม ซึ่งใช้แรงดันไฟฟ้าระดับสูงสำหรับยกระดับกระแสและตัดไปยังแรงดันไฟฟ้าระดับต่ำ เมื่อถึงอัตรากระแสที่ต้องการหรือเวลาที่กำหนดกระแสที่อยู่ในขดลวดนั้นจะไหลผ่านไดโอดโดยแรงดันไฟฟ้าระดับต่ำจะทำงานแทน วิธีการนี้เรียกว่าการขับแรงดันไฟฟ้าคู่หรือการแบบสองระดับเพื่อพิจารณาการลดลงของเวลาในการเปลี่ยนระดับกระแสของระบบการขับแบบสองระดับเปรียบเทียบกับแบบการต่อความต้านทานอนุกรม แรงดันไฟฟ้าตกคร่อมขดลวดจะยังคงอยู่ทั้งหมดจนกระทั่งกระแสเพิ่มขึ้นจนถึงระดับกระแสที่ต้องการ

แม้ว่าค่าเวลาคงตัวจะไม่ลดลงเหมือนในแบบการต่อความต้านทานทางอนุกรม ค่าการขยับกระแสวิกซ็อนข้างจะมีลักษณะเป็นเชิงเส้น หลังจากแรงดันไฟฟ้าระดับสูงจะตัดต่อไปสู่แรงดันไฟฟ้าระดับต่ำกระแสจะตกลงและแรงดันย้อนกลับ



ภาพที่ 2.9 วงจรขยับแบบสองแหล่งจ่าย

เอกสารนี้เป็นเอกสารที่สงวนไว้สำหรับการใช้งานเพื่อการศึกษาเท่านั้น ไม่อนุญาตให้นำไปใช้ประโยชน์ด้านการค้า ไม่ว่าจะกรณีใดๆทั้งสิ้น อีกทั้งห้ามมิให้ดัดแปลงเนื้อหา และต้องอ้างอิงถึงเจ้าของเอกสารทุกครั้งที่มีการนำไปใช้

คุณลักษณะโดยทั่วไปของอุปกรณ์ประเภท FPGA

ในบทนี้จะกล่าวถึงคุณสมบัติทั่วไปที่มีอยู่ในตัวอุปกรณ์ FPGA ซึ่งได้อ้างอิงกับอุปกรณ์ที่เป็นผลิตภัณฑ์ของ Xilinx ตระกูล XC3000 เนื่องจากในการวิจัยนี้อาศัยอุปกรณ์ในตระกูลนี้มาใช้งาน จัดเป็นตระกูลในประเภท LCA (Logic Cell Array) ที่มีประสิทธิภาพและความจุสูง สถาปัตยกรรมโครงสร้างภายในอุปกรณ์ประกอบด้วยส่วนโครงสร้างสำคัญ 3 ส่วนด้วยกันคือ I/O Blocks (IOBs), Configurable Logic Blocks (CLBs) และ resources สำหรับการเชื่อมต่อระหว่างกัน ลักษณะโครงสร้างโดยทั่วไปของอุปกรณ์ LCA แสดงดังภาพที่ 3.1

การใช้งานหน้าที่ทางตรรกและการเชื่อมต่อระหว่างกันของ LCA ถูกกำหนดด้วยข้อมูลโปรแกรมโครงแบบ (Configuration program data) ที่เก็บอยู่ในเซลล์หน่วยความจำแบบสถิตภายใน (static memory cells) ซึ่งโปรแกรมนี้สามารถสั่งให้ทำงานในลักษณะต่างๆตามความเหมาะสมของแต่ละระบบที่ต้องการข้อมูลโปรแกรมอาจอยู่ในหน่วยความจำภายนอก เช่น EEPROM, EPROM หรือ ROM ที่อยู่บนแผงวงจร หรือเก็บอยู่ในฟลอปปีดิสก์หรือฮาร์ดดิสก์ก็ได้ เมื่อทำการเปิดเครื่องหรือป้อนแหล่งจ่ายไฟเข้าไป ข้อมูลโปรแกรมจะถูกดึงลงมายังอุปกรณ์ LCA ในทันที

คุณสมบัติเด่นของอุปกรณ์ตระกูล XC3000 คือมีความสามารถและความจุทางตรรกที่มากมาย รูปร่างภายนอกของชิ้นอุปกรณ์หลากหลาย อีกทั้งช่วงอุณหภูมิการทำงานและความเร็วสูง

3.1 สถาปัตยกรรมโครงสร้าง

บริเวณโดยรอบกรอบสี่เหลี่ยมของ configurable IOBs จัดการเกี่ยวกับการอินเตอร์เฟสระหว่างแถวลำดับตรรก (logic array) ภายในกับขาต่างๆ ของอุปกรณ์ ส่วนแถวของ CLBs ให้การทำงานทางตรรกตามที่ผู้ใช้งานกำหนด และส่วน resources การเชื่อมต่อระหว่างกันถูกใช้ในการสร้างโครงข่ายและนำพาสัญญาณตรรกะระหว่างบล็อกคล้ายกับสายเส้นทองแดงในแผงวงจร

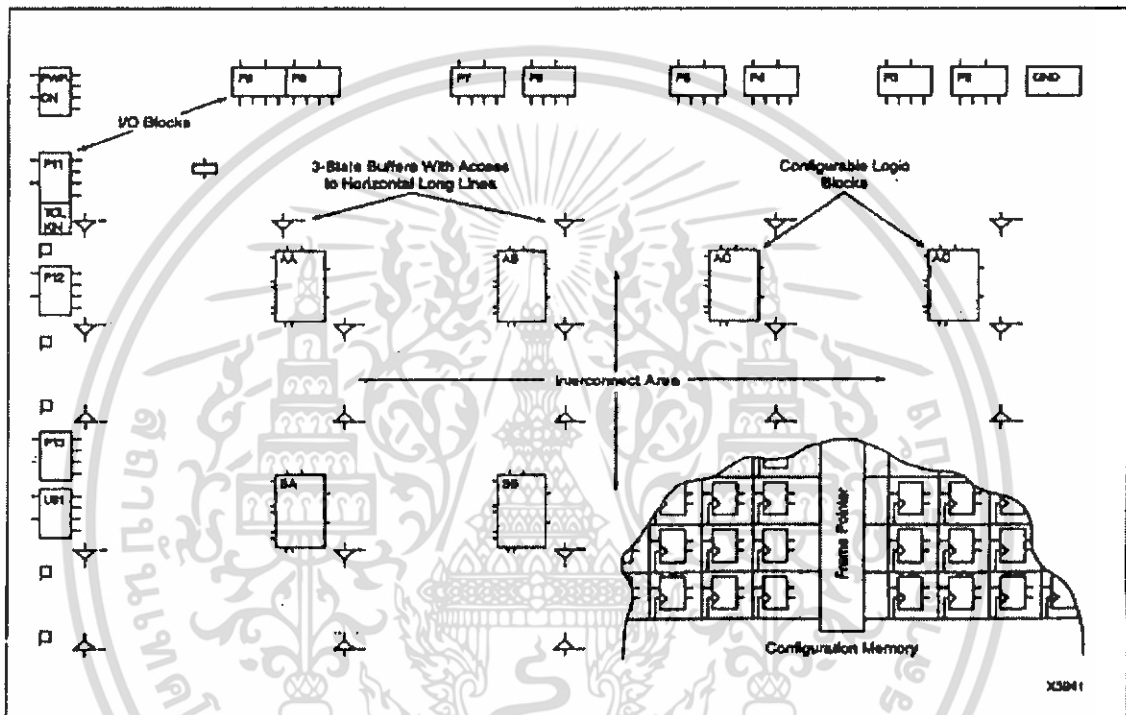
บล็อกการทำงานทางตรรกสามารถทำงานให้เป็นผลจริงได้โดยลักษณะการ โปรแกรมที่เป็นแบบตารางเปิดคู่ส่วนการทำงานอื่นเพิ่มเติมทำได้โดยโปรแกรมควบคุมตัวมัลติเพลกเซอร์และการเชื่อมต่อระหว่างกันในโครงข่ายระหว่างบล็อกต่างๆ ทำได้โดยการเชื่อมต่อส่วนที่เป็นโลหะด้วยโปรแกรมที่ควบคุมผ่านทางตัวทรานซิสเตอร์

การทำงานของอุปกรณ์ LCA จะมีความถูกต้องเที่ยงตรง เมื่อดึงเอาโปรแกรมโครงแบบเข้ามาไว้ภายใน และกระจายออกไปตามเซลล์หน่วยความจำโครงแบบต่างๆ การดึงหรือโหลดเอา

โปรแกรมโครงแบบเข้ามานี้จะเกิดขึ้นทันทีที่ป้อนแหล่งจ่ายที่เข้าไปหรือจากคำสั่งให้โหลดข้อมูล เอกสารนี้เป็นเอกสารที่สงวนไว้สำหรับการใช้งานเพื่อการศึกษาเท่านั้น ไม่อนุญาตให้นำไปใช้ประโยชน์ด้านการค้า ไม่ว่ากรณีใดๆทั้งสิ้น อีกทั้งห้ามมิให้ดัดแปลงเนื้อหา และต้องอ้างอิงถึงเจ้าของเอกสารทุกครั้งที่มีการนำไปใช้

โดยตรงใน LCA จะประกอบด้วยสัญญาณตรรกและสัญญาณควบคุมที่เป็นแบบธรรมดาและแบบอัตโนมัติ

ข้อมูลโปรแกรมอาจอยู่ในรูปแบบขนานหรืออนุกรมต่อกันก็ได้ ระบบพัฒนาที่มีชื่อเรียกว่า XACT จะช่วยในการสร้างหรือกำเนิดขบวนบิตข้อมูลของโปรแกรมที่ใช้สำหรับเป็นโครงแบบหรือกำหนดการทำงานให้กับอุปกรณ์ LCA ซึ่งขบวนการทำงานดังหรือเกือบเกี่ยวกับหน่วยความจำจะขึ้นอยู่กับการใช้งานในหน้าที่ต่างๆ ไม่เกี่ยวข้องกัน



ภาพที่ 3.1 แสดงโครงสร้างโดยทั่วไปของอุปกรณ์ FPGA

3.1.1 หน่วยความจำโครงแบบ

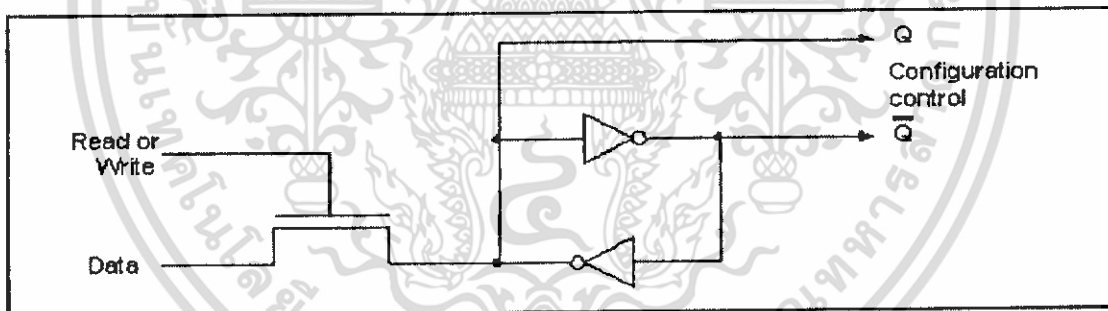
ใน LCA ส่วนของ หน่วยความจำโครงแบบ จะใช้เซลล์หน่วยความจำแบบสถิต ซึ่งได้รับการออกแบบขึ้นมาให้มีความเชื่อถือได้สูง อีกทั้งปราศจากสัญญาณรบกวนหรือแปลกลปดอมเข้ามาแทรกแซง ความแน่นอนของหน่วยความจำโครงแบบของอุปกรณ์ LCA บนพื้นฐานการออกแบบนี้ทำให้สามารถรับรองได้ว่าจะไม่เกิดเหตุการณ์ที่อยู่นอกเหนือจากเงื่อนไขที่ต้องการเปรียบเทียบกับอุปกรณ์ในประเภทที่โปรแกรมได้โดยอื่น พบว่าหน่วยความจำแบบสถิตนี้ให้ผลดีที่สุดในด้านความจุ ประสิทธิภาพ และมีความเชื่อถือได้สูง ดังแสดงในภาพที่ 3.2 เซลล์หน่วยความจำพื้นฐานประกอบด้วย CMOS อินเวอร์เตอร์ 2 ตัว ร่วมกับทรานซิสเตอร์ที่ใช้สำหรับการเขียน-อ่านเซลล์ข้อมูล ซึ่งเซลล์จะสามารถถูกเขียนได้อย่างเดียวในระหว่างทำการสร้างและอ่านอย่างเดียวใน

เอกสารนี้เป็นเอกสารที่สงวนไว้สำหรับการใช้งานเพื่อการศึกษาเท่านั้น เมื่อผู้ดูแลเห็นใบแจ้งราคาค่าไม่ว่าการณ์ใดๆทั้งสิ้น อีกทั้งห้ามมิให้ตัดแปลงเนื้อหา และต้องอ้างอิงถึงเจ้าของเอกสารทุกครั้งที่มีการนำไปใช้

ระหว่างทำการดึงกลับออกมา ในภาวะการทำงานปกติ เซลล์จะให้การควบคุมเป็นไปอย่างต่อเนื่องและตัวทรานซิสเตอร์จะไม่ทำงานและไม่มีผลกระทบกับความเสถียรภาพของเซลล์แต่อย่างใด ซึ่งค่อนข้างแตกต่างไปจากอุปกรณ์อื่นโดยทั่วไปในด้านที่เซลล์มักจะมีกรอ่านและเขียนเข้าอยู่เป็นประจำ

ขาออกของเซลล์หน่วยความจำ Q และ \bar{Q} จะใช้ระดับของ กราวด์ และ V_{cc} ซึ่งให้เป็นแบบต่อเนื่องและควบคุมโดยตรง ความสามารถเพิ่มเติมเกี่ยวกับโหลดพร้อมกับที่ไม่มีการถอดรหัสตำแหน่งและความรวดเร็วของตัวขยายช่วยให้เกิดความเสถียรแก่เซลล์สูง และจากโครงสร้างของเซลล์หน่วยความจำโครงสร้างแบบ มันไม่มีผลกระทบที่เนื่องมาจากการเปลี่ยนแปลงอย่างกะทันหันของแหล่งจ่ายไฟหรือพลังงานรังสี ในการทดสอบพบว่าไม่มีข้อผิดพลาดใดเกิดขึ้นมาให้เห็นในขณะที่ทำงานภายใต้บริเวณที่มีพลังงานรังสีสูงๆ

กรรมวิธีการโหลดข้อมูลโครงสร้างแบบมีหลายวิธีให้เลือกใช้ โดยปกติแล้วจะใช้ระบบพัฒนา XACT ช่วยในข้อมูลโปรแกรมเพื่อส่งตรงไปยังเซลล์หน่วยความจำโครงสร้างข้อมูลที่เป็นแบบอนุกรมและนับตามความยาว ช่วยให้เกิดความเข้ากันได้สำหรับการผสมใช้งานอุปกรณ์ LCA หลายๆ ตัวในแบบซิงโคนัส, อนุกรม หรือแบบลูกโซ่

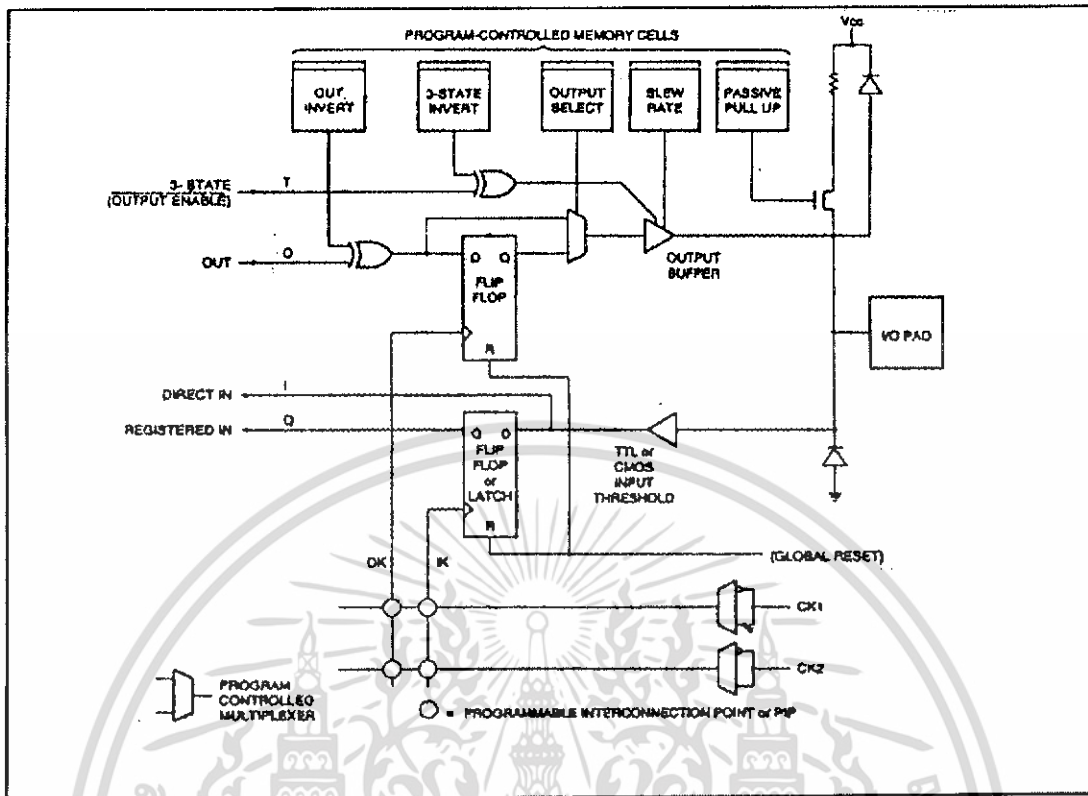


ภาพที่ 3.2 เซลล์หน่วยความจำโครงสร้างแบบแบบสถิต

3.1.2 I/O Block

ในโครงสร้างของ IOB แสดงดังภาพที่ 3.3 ทำหน้าที่เชื่อมต่อระหว่างขาภายนอกของอุปกรณ์เข้ากับการใช้ตรรกะที่อยู่ภายในตัวอุปกรณ์ ในแต่ละ IOB จะมีทั้งการริจิสเตอร์และเส้นทางตรงอินพุต และให้ 3-สเตต เอาท์พุตบัฟเฟอร์ ที่อาจถูกขับโดยการริจิสเตอร์หรือสัญญาณเอาท์พุตโดยตรง ในโครงสร้างยอมให้มีการกลับ (inversion) ในแต่ละ IOB ควบคุมอัตราการสลับ (slew rate) และ อิมพีแดนซ์สูง และในแต่ละทางเข้าของวงจรมีตัว แคมป์ปิ้งไดโอด เพื่อป้องกันเกี่ยวกับไฟฟ้าสถิต และวงจรมีการป้องกันการเกิด latch-up เนื่องจากกระแสที่เข้ามา

เอกสารนี้เป็นเอกสารที่สงวนไว้สำหรับการใช้งานเพื่อการศึกษาเท่านั้น เมื่อนุญาตให้นำไปใช้ประโยชน์ด้านการค้า ไม่ว่าจะกรณีใดๆ ทั้งสิ้น อีกทั้งห้ามมิให้ดัดแปลงเนื้อหา และต้องอ้างอิงถึงเจ้าของเอกสารทุกครั้งที่มีการนำไปใช้



ภาพที่ 3.3 บล็อกอินพุต-เอาต์พุต (IOB)

ส่วนของอินพุต-บัฟเฟอร์ ในแต่ละ IOB จะให้ขอบเขตหรือจกระดับของการตรวจจับเกี่ยวกับการแปลงหรือพาสสัญญาณจากภายนอกที่ขาของอุปกรณ์ไปยังระดับตรรกภายใน ค่าระดับหรือขอบเขตที่ตัว อินพุต-บัฟเฟอร์ สามารถโปรแกรมได้ให้อยู่ในระดับ TTL หรือ CMOS สัญญาณที่เข้ามาอยู่ในบัฟเฟอร์ ทำหน้าที่ส่งหรือรับข้อมูลที่เข้ามาของส่วนที่เก็บข้อมูล ซึ่งอาจจะอยู่ในรูปของฟลิปฟลอปหรือแลตช์ ในส่วนของขั้วสัญญาณนาฬิกาที่ใช้สามารถทำการโปรแกรมได้ไม่ว่าจะต้องการใช้ขอบด้านใดของสัญญาณนาฬิกาที่ตามในการเป็นสัญญาณกระตุ้นให้ส่วนอื่นเริ่มทำงาน เมื่อมีการใช้เส้นสัญญาณนาฬิกาไปกระตุ้นให้กับฟลิปฟลอปหรือแลตช์ต้องมีการชดเชยสำหรับความแตกต่างของสัญญาณนาฬิกาด้วยเสมอ ชิ้นส่วนเก็บข้อมูล I/O จะถูกรีเซ็ตในขณะที่ทำโครงแบบหรือโดยสัญญาณสั่งให้รีเซ็ตสัญญาณอินพุตทั้งคู่ (ขา I และขา Q ของ IOB) สามารถเชื่อมต่อกันได้

เพื่อความเชื่อถือได้ในขณะทำงาน อินพุตที่เข้ามาจะต้องมีค่าเวลาในการเปลี่ยนแปลงระดับต่ำกว่า 100 nSec. และต้องไม่มีการเหลือตกค้างอยู่ ซึ่งอาจทำให้เกิดการผิดพลาดเป็นสัญญาณรบกวนในระบบได้ในแต่ละ IOB ที่ใช้จะมีตัวต้านทานอินพุตที่แฉกสูง ซึ่งเลือกโปรแกรมได้เพื่อใช้สำหรับกรณีที่ไม่มีกรับไปยังขาของอุปกรณ์

เอกสารนี้เป็นเอกสารที่สงวนไว้สำหรับการใช้ในเพื่อการศึกษเท่านั้น ไม่อนุญาตให้นำไปใช้ประโยชน์ด้านการค้า ไม่ว่ากรณีใดๆทั้งสิ้น อีกทั้งห้ามมิให้ดัดแปลงเนื้อหา และต้องอ้างอิงถึงเจ้าของเอกสารทุกครั้งที่มีการนำไปใช้

เวลาประวิงในลูปสำหรับ IOB และฟลิปฟล็อปจะมีค่าประมาณ 3 nSec. ซึ่งถือว่าสั้นมาก ทำให้เกิดประสิทธิภาพสูงในการทำงานภายใต้เงื่อนไขของข้อมูลและสัญญาณนาฬิกาที่เป็นแบบอะซิงโครนัส และจากค่าเวลาประวิงที่ต่ำนี้ทำให้อุปกรณ์ LCA สามารถนำสัญญาณซิงโครนัสจากภายนอกมาใช้งานได้

เซลล์หน่วยความจำที่ถูกโปรแกรมควบคุมในภาพที่ 3.4 ใช้เลือกควบคุมหน้าที่ต่างๆดังนี้

- การผกผันตรรกของ อินพุต จะถูกควบคุมโดยโปรแกรมโครงแบบเพียง 1 บิตต่อ IOB
- ตรรกควบคุม 3-สเตต ของแต่ละ IOB เอาท์พุทบัฟเฟอร์ จะถูกกำหนดโดยสถานะของบิต

โปรแกรมโครงแบบที่จะให้บัฟเฟอร์ปิดหรือเปิด หรือเลือกเป็น 3-สเตต (ที่ขา T ของ IOB) เมื่อสัญญาณควบคุม เอาท์พุทของ IOB เป็นระดับสูงหรือตรรก '1' ตัวบัฟเฟอร์จะอยู่ในสภาวะใช้งานไม่ได้ และที่ขาภายนอกจะเป็นอิมพีแดนซ์สูง แต่ถ้าสัญญาณควบคุมนี้เป็นระดับต่ำหรือตรรก '0' ก็หมายถึงบัฟเฟอร์ที่ใช้งานได้และมีสัญญาณออกไปที่ขาอุปกรณ์

- Direct หรือ registered เอาท์พุท สามารถเลือกได้ในแต่ละ IOB ตัวรีจิสเตอร์จะใช้ขอบที่เป็นบวกของสัญญาณนาฬิกา ซึ่งสัญญาณนาฬิกานี้อาจมาจากเส้นใดเส้นหนึ่งในจำนวน 2 เส้นที่มี

- การเพิ่มความเร็วของการเปลี่ยนระดับเอาท์พุทสามารถทำการเลือกความเร็วนี้ให้เหมาะสมกับค่าเวลาที่จำเป็นต้องใช้ ถ้าเพิ่มความเร็วนี้ขึ้นมากก็จะเกิดสัญญาณรบกวนมากตาม

- ตัวต้านทานที่เป็นอิมพีแดนซ์สูงภายในใช้ป้องกันกรณีที่ไม่มีการใช้งานหรือไม่ได้เชื่อมต่ออินพุตไม่ให้เกิดการรบกวนเข้าไปยังส่วนอื่นของวงจร

ดังนั้นการเลือกในส่วนของ I/O สามารถสรุปได้ดังนี้

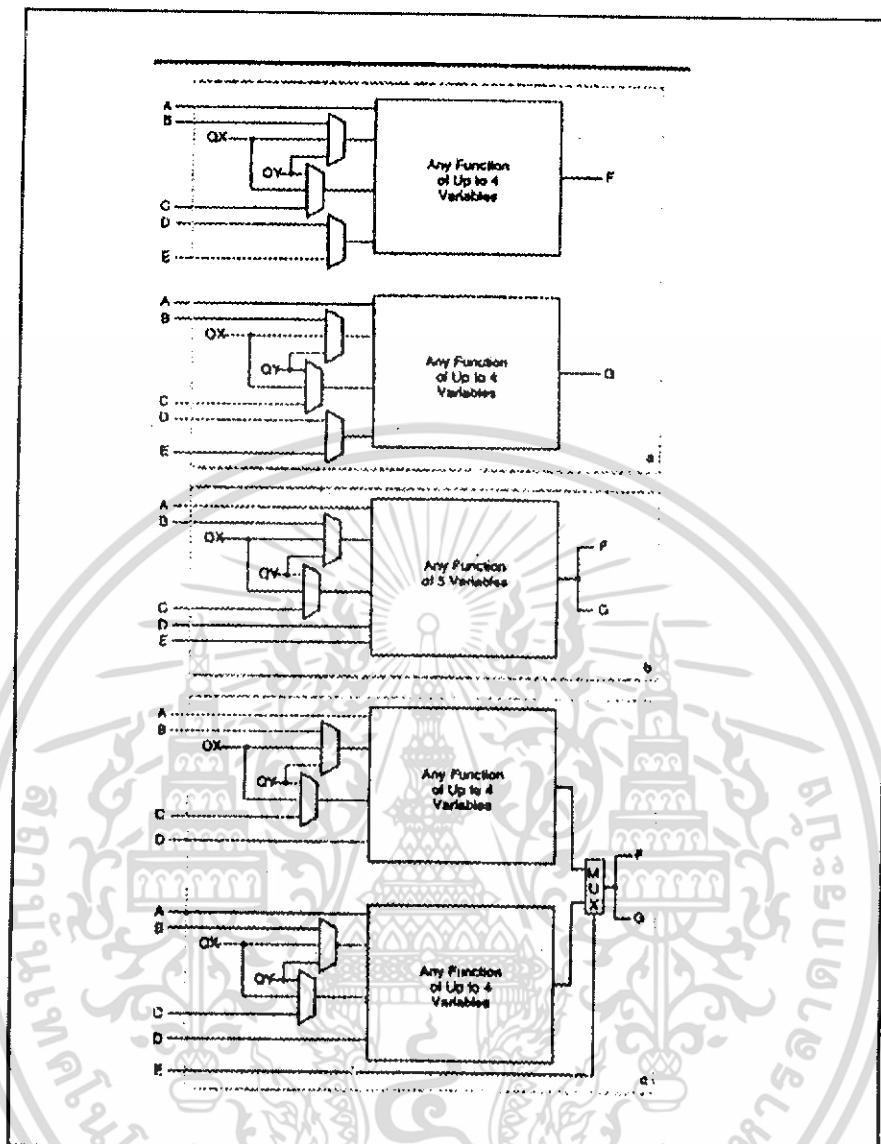
- ในด้าน อินพุต
 - Direct
 - Flip-flop หรือ latch
 - CMOS หรือ TTL threshold (chip inputs)
 - Pull-up resistor หรือ open circuit
- ในด้าน เอาท์พุท
 - Direct หรือ registered
 - inverted หรือ not
 - 3-state หรือ on หรือ off
 - Full speed หรือ slow limited
 - 3-state หรือ เอาท์พุท enable (inverse)

เอกสารนี้เป็นเอกสารที่สงวนไว้สำหรับการใช้งานเพื่อการศึกษาเท่านั้น ไม่อนุญาตให้นำไปใช้ประโยชน์ด้านการค้า ไม่ว่าจะกรณีใดๆทั้งสิ้น อีกทั้งห้ามมิให้ดัดแปลงเนื้อหา และต้องอ้างอิงถึงเจ้าของเอกสารทุกครั้งที่มีการนำไปใช้

3.1.3 Configurable Logic Block (CLB)

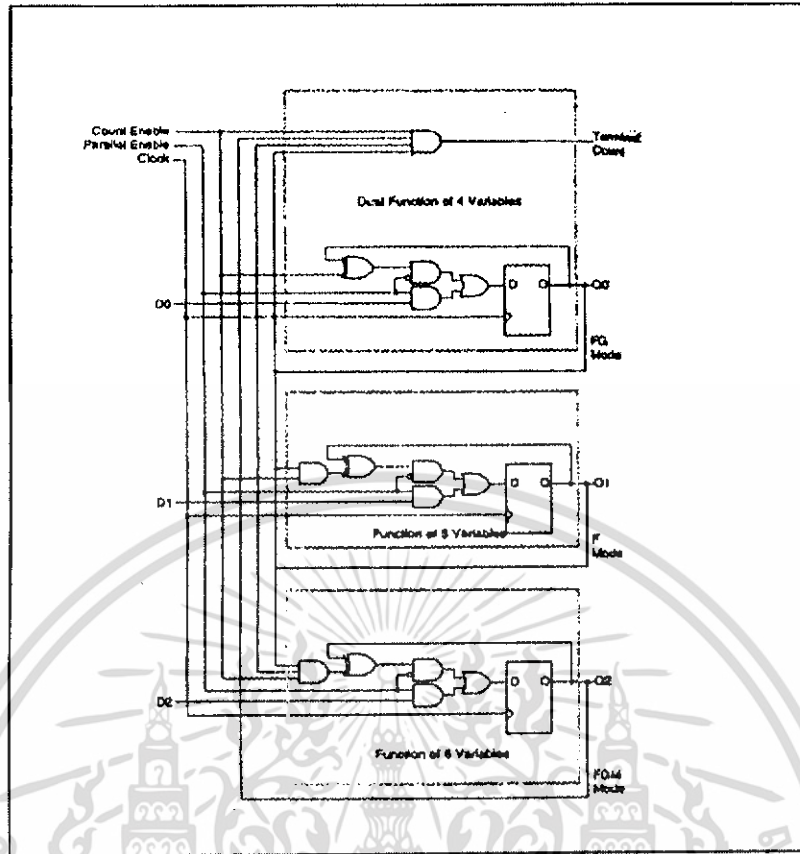
แถวลำดับของ CLB ให้การทำงานตามที่ผู้ใช้กำหนดหรือสร้างขึ้นมา โดยบล็อกตรรกเหล่านี้ถูกจัดเรียงในลักษณะของเมตริกซ์อยู่ภายในกรอบของ IOBs ตัวอย่างเช่นตัว XC3020 จะมีทั้งหมด 64 บล็อก จัดเรียงเป็น 8 แถว และ 8 ช่อง และใช้ระบบพัฒนา XACT ในการคอมไพล์ข้อมูลโครงสร้างที่จะถูกนำไปสู่หน่วยความจำโครงสร้างภายในเพื่อใช้กำหนดหน้าที่การทำงานและการเชื่อมต่อระหว่างกันของแต่ละบล็อก ผู้ใช้หรือผู้ออกแบบสามารถกำหนดเกี่ยวกับ CLBs และการเชื่อมต่อในโครงข่ายในแบบที่แปลงจากรูปวงจรแบบอัตโนมัติหรือเลือกได้จากคลังข้อมูลที่ติดตั้งอยู่ หรือโดยผู้ใช้กำหนดเองก็ได้

แต่ละ CLB จะมีทั้งส่วนที่รวมตรรก, ฟลิปฟลอป 2 ตัว และส่วนควบคุมภายใน ดังแสดงในภาพที่ 3.4 คือ มี 5 ตรรกที่เป็นอินพุต (A, B, C, D และ E) สัญญาณนาฬิกาที่เข้ามา (K), อะซิงโครนัสรีเซ็ตที่เข้ามาโดยตรง (RD) และ สัญญาณนาฬิกาให้ทำงาน (EC) ซึ่งทั้งหมดจะถูกขับจาก resources การเชื่อมต่อที่อยู่ใกล้ๆ กับบล็อก แต่ละ CLB จะมีเอาต์พุต อยู่ 2 เส้นคือ X กับ Y ซึ่งอาจใช้ส่งไปยังโครงข่ายที่มีการเชื่อมต่อถึงกัน



ภาพที่ 3.5 ลักษณะการจัดรวมตรรกะให้มีหน้าที่การทำงานสำหรับจำนวนตัวแปรที่ต่างกัน

เอกสารนี้เป็นเอกสารที่สงวนไว้สำหรับการใช้งานเพื่อการศึกษาเท่านั้น ไม่อนุญาตให้นำไปใช้ประโยชน์ด้านการค้า ไม่ว่าจะกรณีใดๆทั้งสิ้น อีกทั้งห้ามมิให้ดัดแปลงเนื้อหา และต้องอ้างอิงถึงเจ้าของเอกสารทุกครั้งที่มีการนำไปใช้



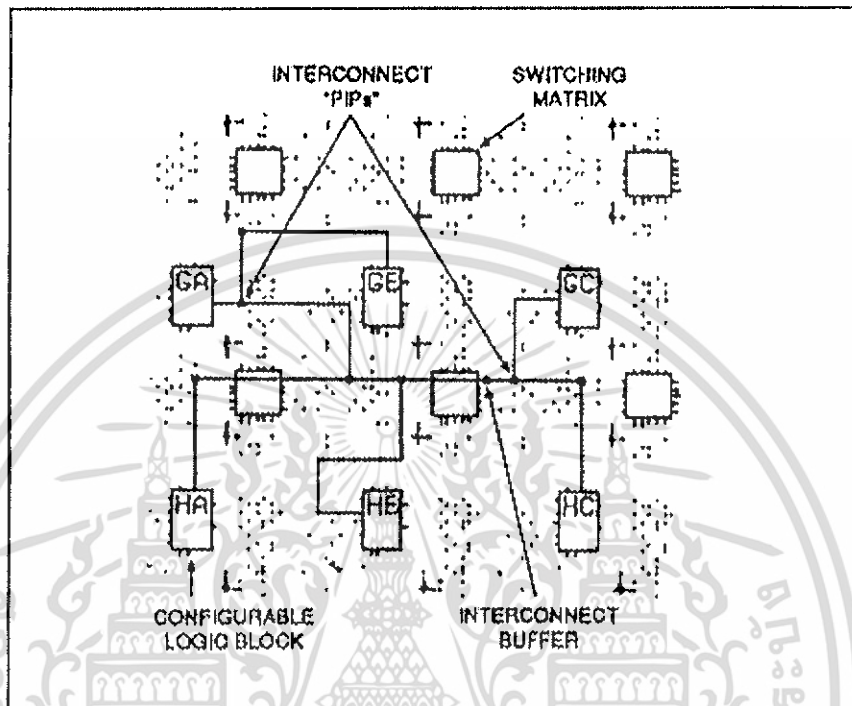
ภาพที่ 3.6 ตัวนับแทน modulo-8 ที่ใช้บล็อกตรรกกรรมเดียวในแต่ละส่วน

3.1.4 การเชื่อมต่อระหว่างกันแบบโปรแกรมได้ (Programmable Interconnect)

ทรัพยากรสำหรับใช้เชื่อมต่อระหว่างกันที่อยู่ใน LCA เป็นเส้นทางการเชื่อมต่อถึงกันของ IOBs และ CLBs เข้ากันเป็นโครงสร้างข่ายผ่านทางเส้นที่เป็นโลหะออกแบบกำหนดผ่านทาง ตัวทรานซิสเตอร์ ซึ่งแต่ละตัวถูกควบคุมโดยบิตของโปรแกรม โครงแบบจากจุดเชื่อมต่อระหว่างกันที่โปรแกรมเลือกได้ (PIPs) และตัวสวิตช์เมตริกซ์ จะใช้ในกรณีที่ทำเป็นสำหรับการเชื่อมต่อระหว่างเส้นโลหะที่เลือกใช้กับขาของบล็อก ในภาพที่ 3.7 แสดงตัวอย่างของเส้นทางการเชื่อมต่อโครงข่ายสำหรับระบบพัฒนา XACT จะถูกใช้เมื่อต้องการให้เส้นทางการเชื่อมต่อและตำแหน่งการวางเป็นไปแบบอัตโนมัติ อินพุตของ IOBs และ CLBs เป็นตัวมัลติเพลกเซอร์ ซึ่งสามารถถูกโปรแกรมให้เลือกโครงข่ายอินพุตจากส่วนการเชื่อมต่อที่อยู่ใกล้กันและเนื่องจากการเชื่อมต่อไปยังบล็อกอินพุต สามารถเลือกได้ทั้งสองทิศทางเหมือนกับทางบล็อกเอาต์พุตจะใช้เพียงเฉพาะที่เป็น การต่อบล็อกอินพุตเท่านั้นและไม่เกี่ยวกับการทำเส้นทาง ดังภาพที่ 3.8 เป็นตัวอย่างแสดงการทำเส้นทางของบล็อกตรรกอินพุต, ส่วนควบคุมและบล็อกเอาต์พุตและส่วนของโลหะ 3 ชนิดที่จัดเตรียมหรือมีไว้ให้กับความต้องการของการเชื่อมต่อระหว่างกันในโครงข่ายแบบต่างๆ คือ

เอกสารนี้เป็นเอกสารที่สงวนไว้สำหรับการใช้งานเพื่อการศึกษาเท่านั้น ไม่อนุญาตให้นำไปใช้ประโยชน์ด้านการค้า ไม่ว่ากรณีใดๆทั้งสิ้น อีกทั้งห้ามมิให้ดัดแปลงเนื้อหา และต้องอ้างอิงถึงเจ้าของเอกสารทุกครั้งที่มีการนำไปใช้

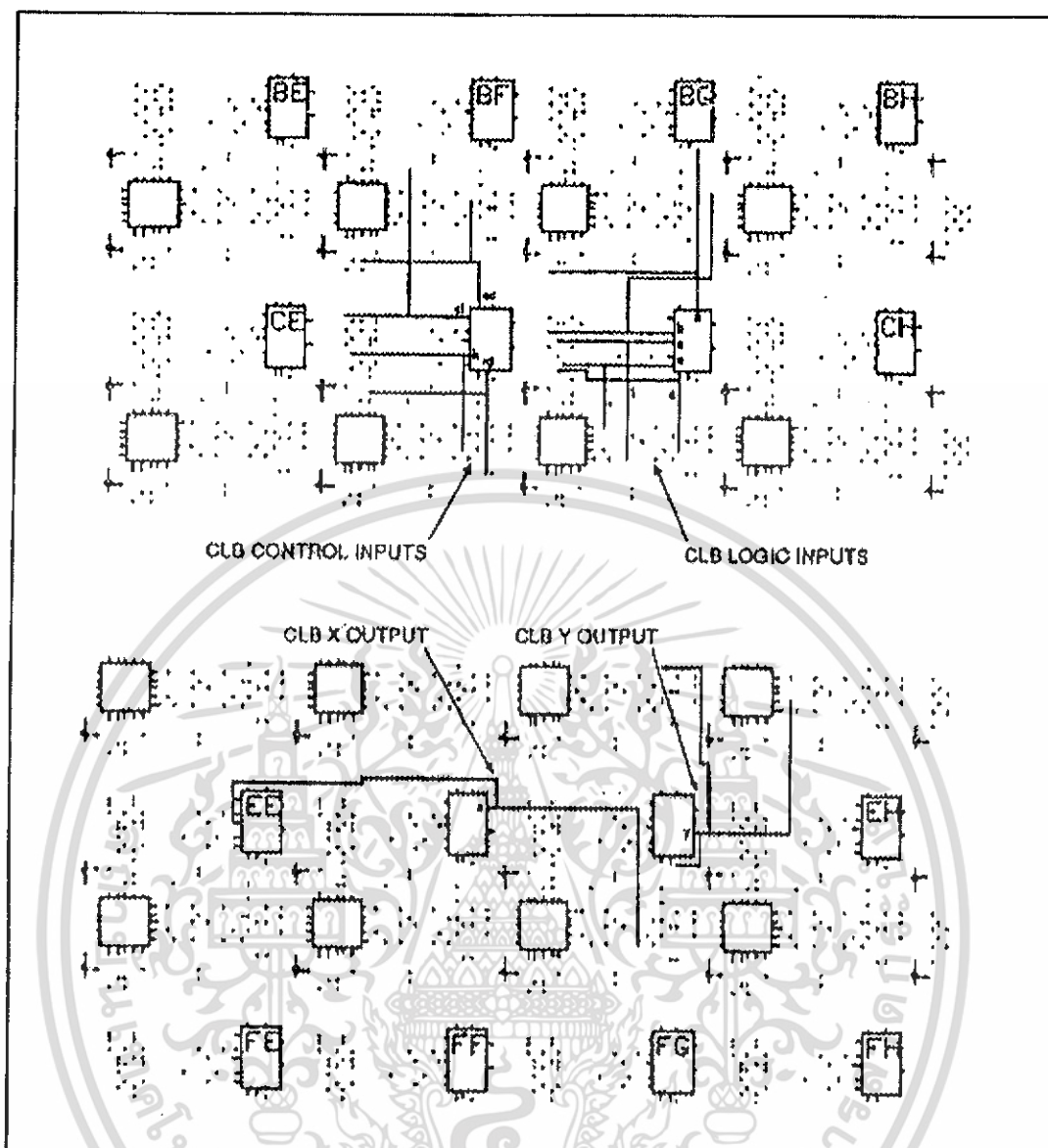
- การเชื่อมต่อระหว่างกันตามวัตถุประสงค์ทั่วไป
- การต่อตรง
- เส้นยาว (longlines)



ภาพที่ 3.7 ภาพที่ได้จากระบบพัฒนา XACT ในส่วนการใช้ routing resources

3.1.5 การเชื่อมต่อระหว่างกันตามวัตถุประสงค์ทั่วไป

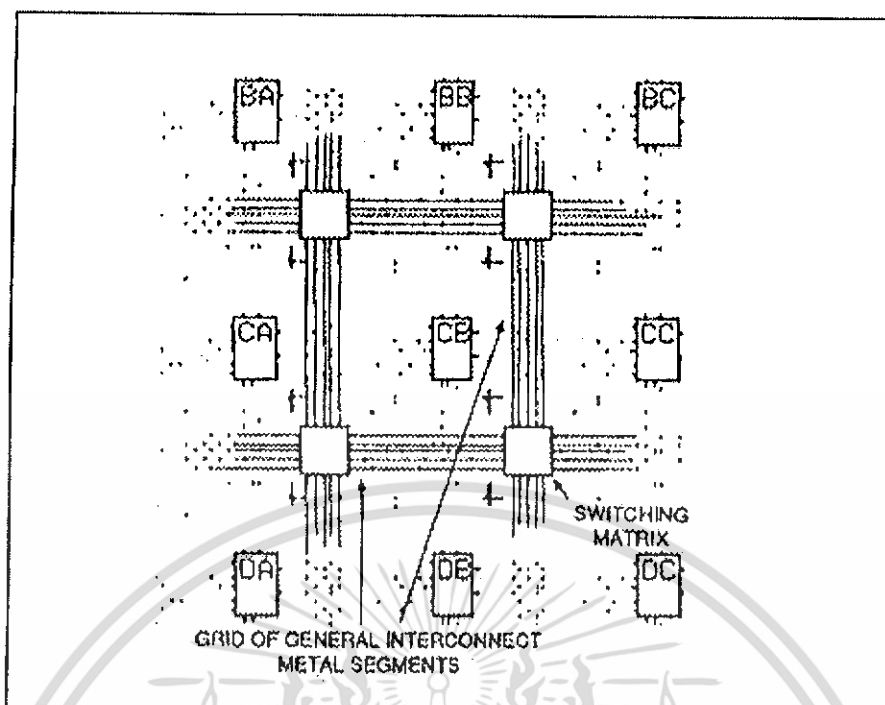
ดังแสดงในภาพที่ 10 ประกอบด้วยตะแกรงโลหะ 5 แถวทางแนวนอน และ 5 แถวทางแนวตั้ง วางไว้ในตำแหน่งระหว่างช่องของตรรกะและ IOBs แต่แต่ละส่วนจะมีความกว้างและสูงตามบล็อกตรรกะ ตัวสวิตช์เมตริกซ์จะเป็นตัวเชื่อมต่อตรงปลายของส่วนต่างๆและยอมให้เลือกการเชื่อมต่อระหว่างส่วนตะแกรงโลหะทางแนวนอนและแนวตั้งที่อยู่ติดกัน ถ้าสวิตช์ตัวไหนไม่ถูกโปรแกรมเลือกก็จะไม่มีการเชื่อมต่อ ซึ่งการเลือกเส้นทางเชื่อมต่อนี้อาจกระทำได้โดยใช้โปรแกรม



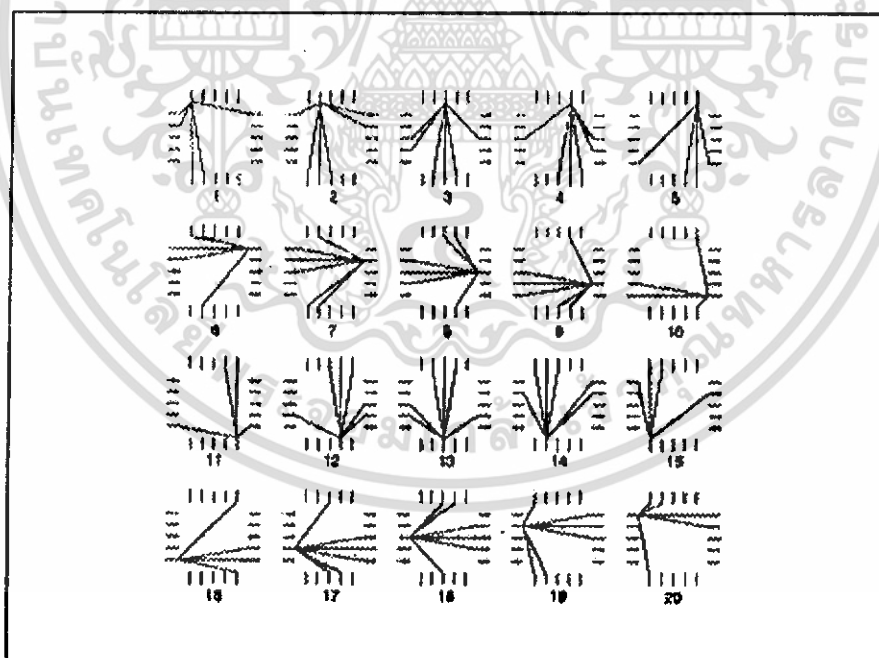
ภาพที่ 3.8 ภาพที่ได้จากระบบพัฒนา XACT ในส่วนของตำแหน่งและการเชื่อมต่อระหว่างกัน

ซอฟต์แวร์เข้าช่วยในการเลือกของเมตริกซ์ที่จะถูกต่อหรือไม่ต่อ ในภาพที่ 3.10 แสดงถึงตัวอย่างสวิตซ์เมตริกซ์สำหรับแต่ละขาที่ถูกต้องและอาจใช้คำสั่ง Show-Matrix ที่มีอยู่ในระบบ XACT เพื่อแสดงภาพให้ชัดเจนยิ่งขึ้นได้

เอกสารนี้เป็นเอกสารที่สงวนไว้สำหรับการใช้งานเพื่อการศึกษาเท่านั้น ไม่อนุญาตให้นำไปใช้ประโยชน์ด้านการค้า ไม่ว่าจะกรณีใดๆทั้งสิ้น อีกทั้งห้ามมิให้ดัดแปลงเนื้อหา และต้องอ้างอิงถึงเจ้าของเอกสารทุกครั้งที่มีการนำไปใช้



ภาพที่ 3.9 การเชื่อมต่อถึงกันภายในอุปกรณ์ FPGA ตามแบบทั่วไป

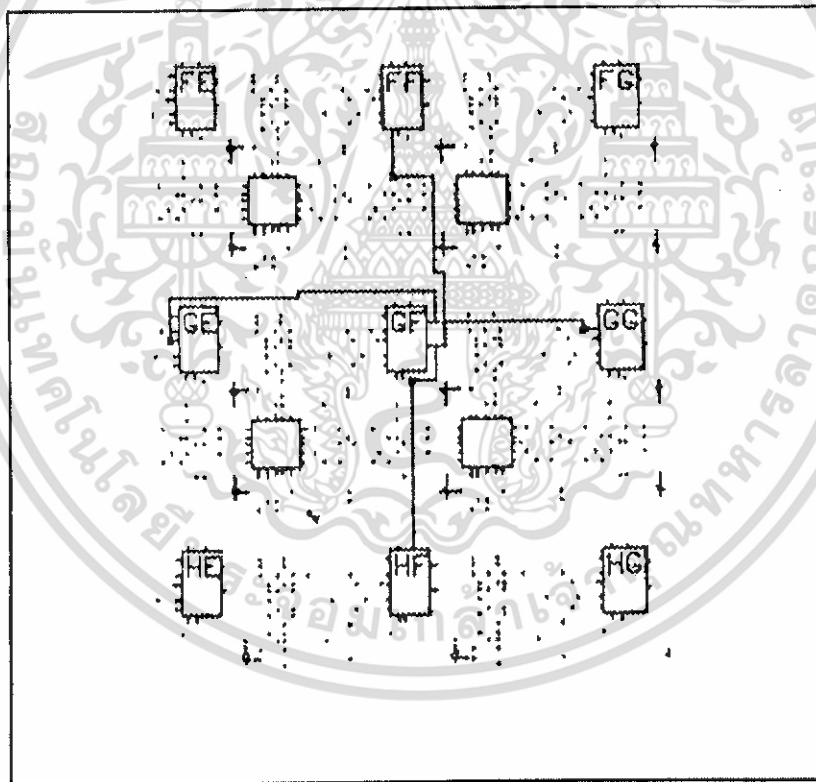


ภาพที่ 3.10 ทางเลือกของการเชื่อมต่อถึงกันของสวิตช์เมตริกซ์สำหรับแต่ละขา

เอกสารนี้เป็นเอกสารที่สงวนไว้สำหรับการใช้งานเพื่อการศึกษาเท่านั้น ไม่อนุญาตให้นำไปใช้ประโยชน์ด้านการค้า ไม่ว่าจะกรณีใดๆทั้งสิ้น อีกทั้งห้ามมิให้ดัดแปลงเนื้อหา และต้องอ้างอิงถึงเจ้าของเอกสารทุกครั้งที่มีการนำไปใช้

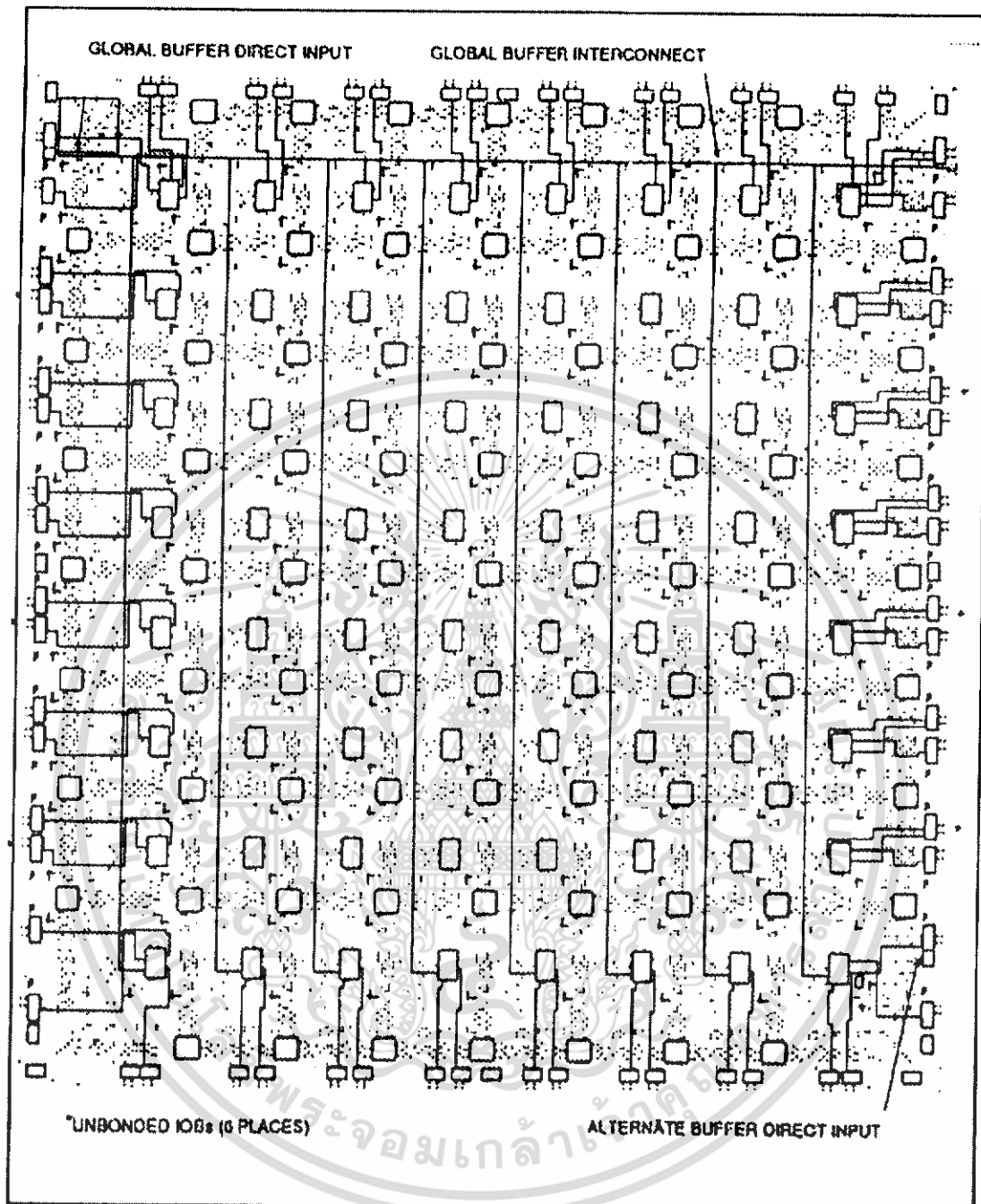
3.1.6 การต่อตรงระหว่างกัน

ดังแสดงในภาพที่ 3.11 ซึ่งเป็นการแทนโครงข่ายที่มีประสิทธิภาพสูงในการเชื่อมต่อระหว่างบล็อกของ IOBs กับ CLBs ที่อยู่ใกล้กัน สัญญาณจะถูกส่งผ่านจากบล็อกถึงบล็อกได้โดยตรง ทำให้ไม่ต้องใช้เส้นสำหรับการเชื่อมต่อทั่วไปที่มีอยู่ สำหรับในแต่ละ CLB จุดเอาต์พุต X อาจต่อตรงถึงอินพุต B ของ CLB ทางด้านขวาและต่อไปยังจุดอินพุต C ของ CLB ทางด้านซ้าย ส่วนจุดเอาต์พุต Y สามารถต่อตรงไปยังจุดอินพุต D ของบล็อกที่อยู่ข้างบนและจุดอินพุต A ของบล็อกที่อยู่ด้านล่าง การต่อตรงในลักษณะนี้จะถูกนำมาใช้เมื่อมีความต้องการความเร็วที่สูงสุดในส่วนของตรรกะตำแหน่งสถานที่ที่บล็อกตรรกะที่อยู่ใกล้กับ IOB การต่อตรงจะเลือกได้ทั้ง 4 มุมทางด้านขวาจะให้ การต่อตรงจากเอาต์พุต ของ CLB's ไปยัง IOB's ที่อยู่ใกล้กัน ดังตัวอย่างที่แสดงในภาพที่ 3.12



ภาพที่ 3.11 แสดงการต่อถึงกันโดยตรงระหว่างเอาต์พุต X และ Y ของ CLB

เอกสารนี้เป็นเอกสารที่สงวนไว้สำหรับการใช้งานเพื่อการศึกษาเท่านั้น ไม่อนุญาตให้นำไปใช้ประโยชน์ด้านการค้า ไม่ว่าจะกรณีใดๆทั้งสิ้น อีกทั้งห้ามมิให้ดัดแปลงเนื้อหา และต้องอ้างอิงถึงเจ้าของเอกสารทุกครั้งที่มีการนำไปใช้



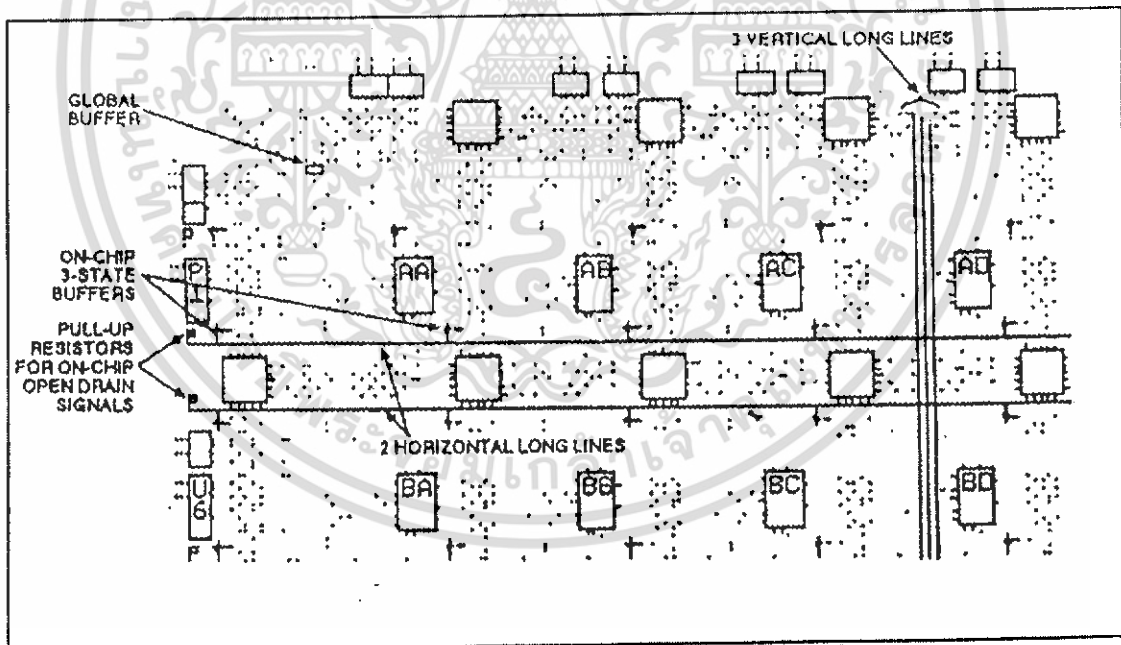
ภาพที่ 3.12 ตัวอย่างการต่อถึงกันโดยตรงระหว่าง CLB ที่อยู่ใกล้กันภายในอุปกรณ์ XC3020

เอกสารนี้เป็นเอกสารที่สงวนไว้สำหรับการใช้งานเพื่อการศึกษาเท่านั้น ไม่อนุญาตให้นำไปใช้ประโยชน์ด้านการค้า ไม่ว่าจะกรณีใดๆทั้งสิ้น อีกทั้งห้ามมิให้ดัดแปลงเนื้อหา และต้องอ้างอิงถึงเจ้าของเอกสารทุกครั้งที่มีการนำไปใช้

3.1.7 เส้นยาว

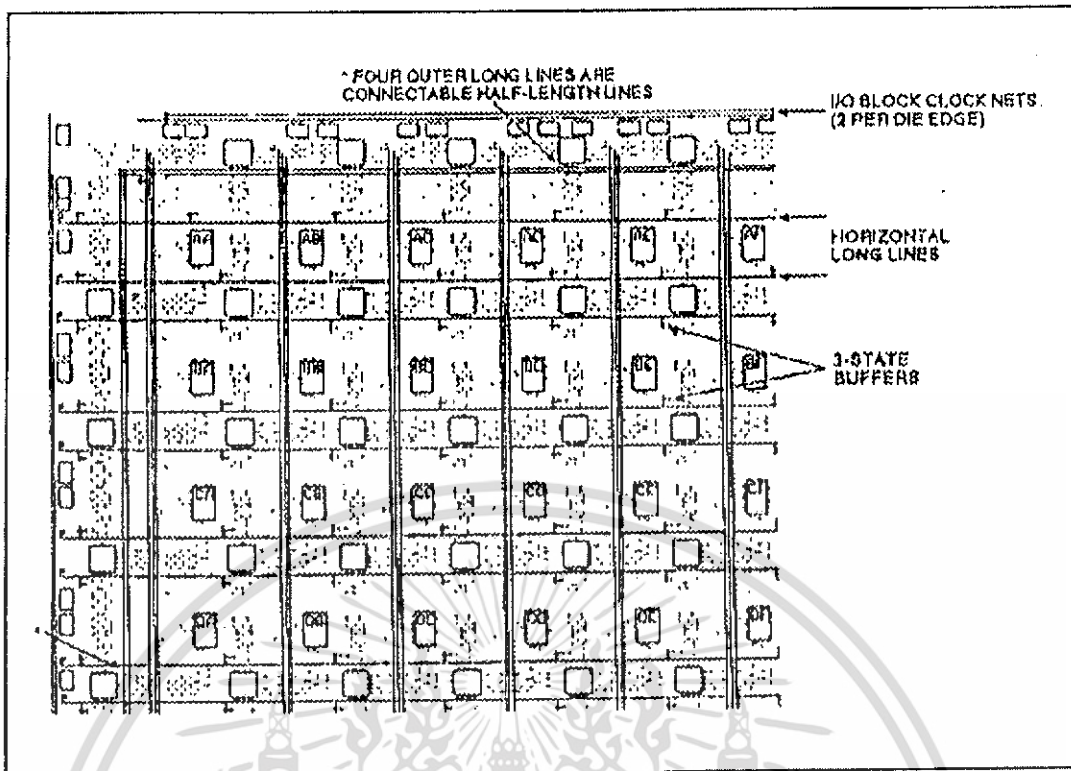
ใช้สำหรับเป็นถนนให้กับสวิตช์เมตริกซ์และสำหรับการเดินทางของสัญญาณที่ต้องใช้ระยะมาก หรือต้องมีจำนวนการผ่านน้อยสุดในระหว่างจุดปลายทาง เส้นยาวแสดงให้เห็นดังภาพที่ 3.14 มีเส้นวิ่งทั้งทางแนวนอนแนวตั้งตามขนาดความสูงและความกว้างของบริเวณการเชื่อมต่อ ในแต่ละช่องจะมีเส้นแนวตั้ง 3 เส้นและระหว่างแถวจะมีเส้นทางแนวนอนอยู่ 2 เส้นที่เป็นเส้นยาว และมีอีก 2 เส้นอยู่ภายนอกของกลุ่มสวิตช์เมตริกซ์

เส้นยาว สามารถใช้งานโดยบล็อกตรรก หรือเอาต์พุต ของ IOB แบบช่องต่อช่อง การใช้งานด้วยเส้นยาวแบบนี้ทำให้ลดจำนวนเส้นของสัญญาณนาฬิกาหรือสัญญาณควบคุมภายในแต่ละช่องของบล็อกตรรกลง ลักษณะการเชื่อมต่อดังแสดงในภาพที่ 3.14 โดยแยกบัฟเฟอร์ออกที่แต่ละอินพุตไปยังเส้นยาว ตัวบัฟเฟอร์ทางด้านมุมซ้ายของชิพ LCA จะส่งไปตลอดทั่วทั้งหมดทุกอินพุต K ของบล็อกตรรก และด้วยการใช้บัฟเฟอร์ทั่วไปนี้สำหรับเป็นสัญญาณนาฬิกาจะทำให้สามารถมีค่าแฟนเอาต์ (fan-out) สูง และใช้สัญญาณนาฬิกาเข้าจังหวะพร้อมกันทั้งหมดได้ทุกอันทั้งหมดใน IOBs และ CLBs ส่วนบัฟเฟอร์ที่อยู่มุมด้านขวาจะขับเส้นยาวทางแนวแนวนอน ซึ่งสามารถส่งการเชื่อมต่อไปได้ยังเส้นทางแนวตั้งได้ในแต่ละช่องของการเชื่อมต่อระหว่างกัน



ภาพที่ 3.13 แสดงเส้นยาว (longlines) ทางแนวนอนและแนวตั้ง

เอกสารนี้เป็นเอกสารที่สงวนไว้สำหรับการใช้งานเพื่อการศึกษาเท่านั้น ไม่อนุญาตให้นำไปใช้ประโยชน์ด้านการค้า ไม่ว่าจะกรณีใดๆทั้งสิ้น อีกทั้งห้ามมิให้ดัดแปลงเนื้อหา และต้องอ้างอิงถึงเจ้าของเอกสารทุกครั้งที่มีการนำไปใช้

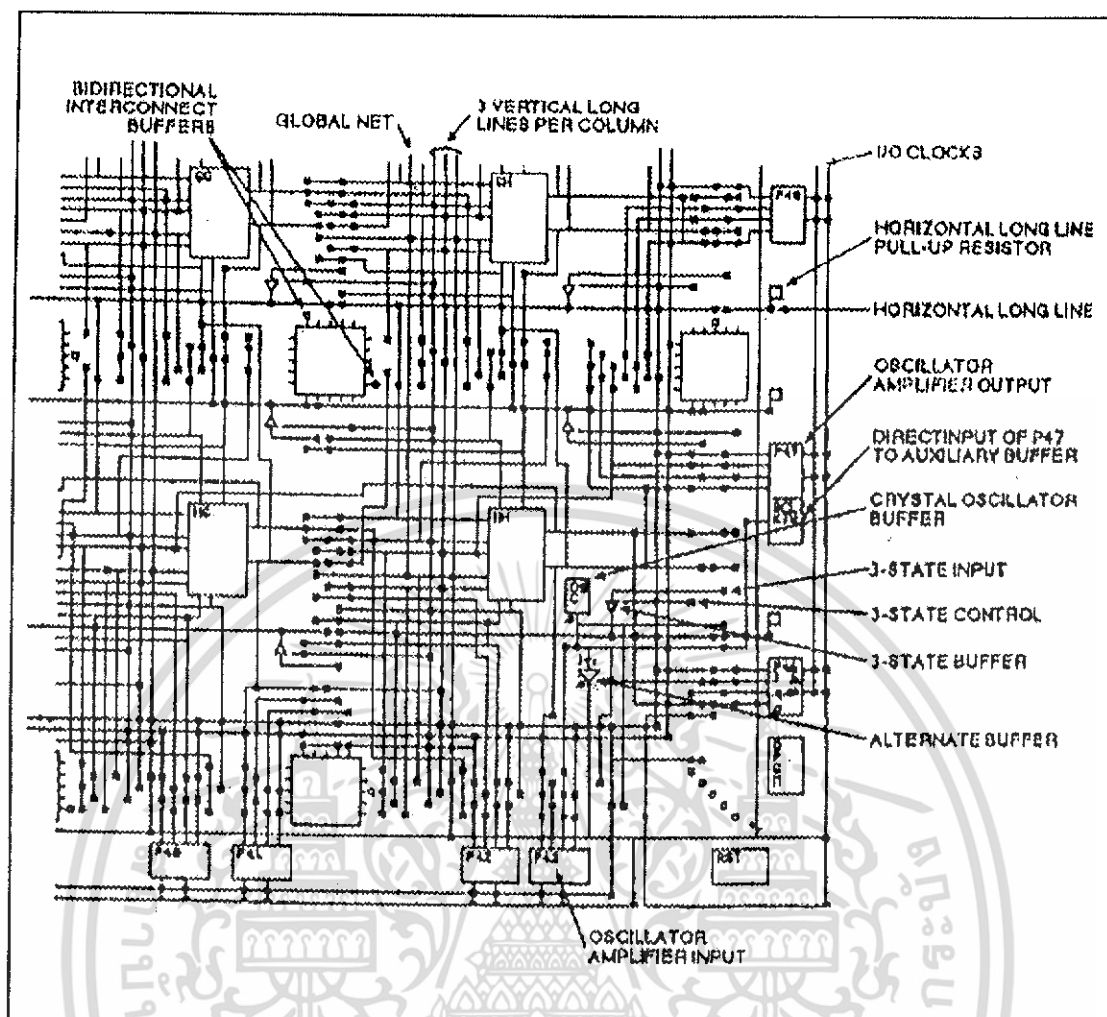


ภาพที่ 3.14 แสดงตัวอย่างการเลือกจุดต่อถึงกันของเส้นยาว

3.1.8 บัฟเฟอร์ใน

คู่ของบัฟเฟอร์แบบ 3-สเตต ที่วางไว้ในตำแหน่งใกล้กับ แต่ละ CLB จะให้ตรรกะที่ใช้ขับเส้นยาวทางแนวนอน การทำงานตรรกะของบัฟเฟอร์แบบ 3-สถานะนี้ควบคุมให้ทำหน้าที่เป็นการผสมสัญญาณทั่วไป ซึ่งทุกๆ อินพุตสามารถเลือกได้โดยใช้ระดับสัญญาณตรรกะต่ำบนเส้นควบคุมของ 3-สเตต สำหรับการส่งขับไปยังเส้นยาวทางแนวนอน เมื่อผู้ใช้ตัดการหลีกเลี่ยงการขัดแย้งซึ่งสามารถเป็นผลมาจากการที่มีตัวขับหลายตัว และมีระดับของตรรกะที่ไม่เหมือนกัน ต้องควบคุมให้อินพุต ที่จะออกไปขับตัวบัฟเฟอร์เป็นระดับสัญญาณเดียวกันหมด ถ้าเป็นระดับสูงหมดก็จะอยู่ในสถานะอิมพีแดนซ์สูง คือไม่ได้ใช้งาน แต่ถ้าเป็นระดับตรรกะต่ำหมดก็คือใช้บัฟเฟอร์ขับไปยังเส้นทางที่ต่ออยู่ ส่วนตัวต้านทานแบบพูลอัพ (pull-up) ที่อยู่ตรงปลายของเส้นยาวจะให้เอาต์พุตเป็นตรรกะสูง เมื่อไม่ได้ใช้ตัวบัฟเฟอร์ ภาพที่ 3.16 แสดงให้เห็นถึงการเชื่อมต่อระหว่างกันของตัวบัฟเฟอร์แบบ 3-สเตต, เส้นยาวและตัวต้านทานแบบพูลอัพที่เป็นไปได้โดยนำมาเฉพาะส่วนที่อยู่มุมขวาด้านล่างของตัว XC3020

เอกสารนี้เป็นเอกสารที่สงวนไว้สำหรับการใช้งานเพื่อการศึกษาเท่านั้น ไม่อนุญาตให้นำไปใช้ประโยชน์ด้านการค้า ไม่ว่ากรณีใดๆ ทั้งสิ้น อีกทั้งห้ามมิให้ดัดแปลงเนื้อหา และต้องอ้างอิงถึงเจ้าของเอกสารทุกครั้งที่มีการนำไปใช้

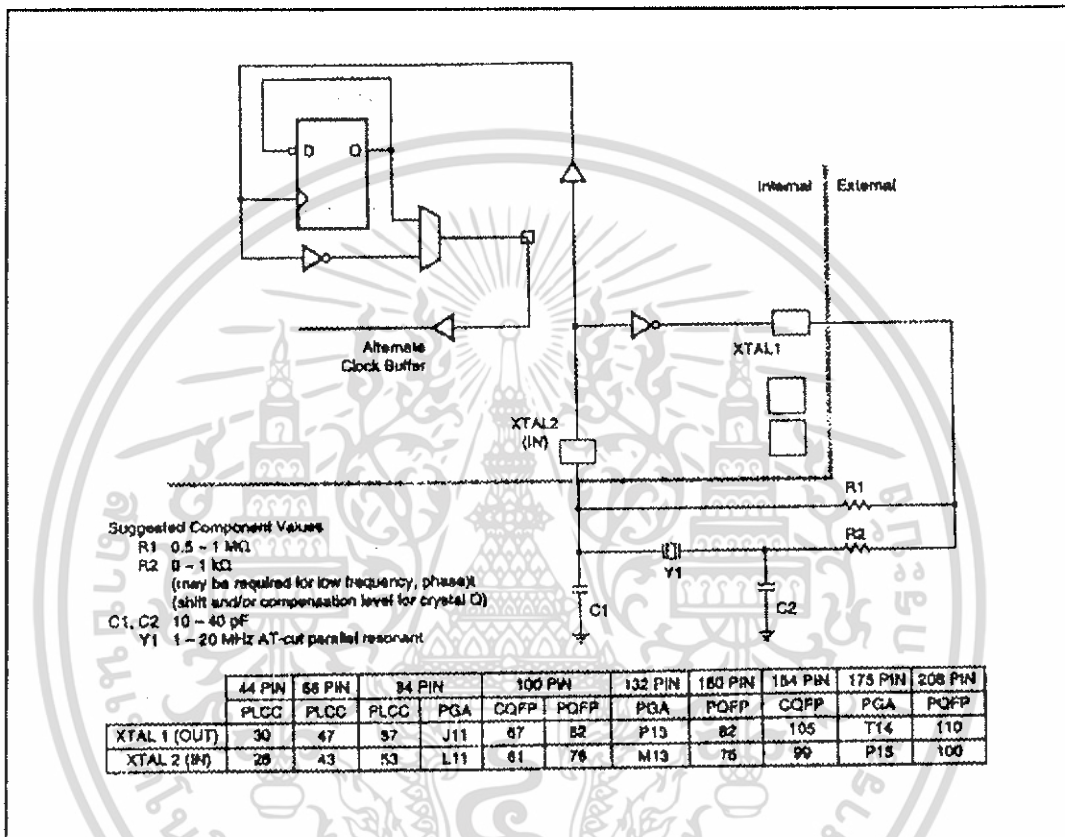


ภาพที่ 3.15 ตัวอย่างการเชื่อมต่อระหว่างกันภายใน (เฉพาะมุมขวาล่าง) ของอุปกรณ์ XC3020 ที่ได้จากระบบพัฒนา XACT

3.1.9 คริสตัลลออสซิลเลเตอร์ (Crystal Oscillator)

ภาพที่ 3.16 แสดงถึงตัวขยายแบบผกผันความเร็วสูงที่มีอยู่ภายในอุปกรณ์ ซึ่งอาจใช้เป็นตัวคริสตัลลออสซิลเลเตอร์บนชิปได้ ซึ่งใช้บัฟเฟอร์ช่วยในมุมขวาด้านล่าง เมื่อมีการสร้างตัวออสซิลเลเตอร์ขึ้นมาโดยโปรแกรม Make Bits และการเชื่อมต่อใช้เป็นแหล่งจ่ายสัญญาณจะมีการใช้ IOBs พิเศษ 2 ตัว สำหรับเชื่อมต่อตัวขยายออสซิลเลเตอร์กับส่วนประกอบที่เป็นคริสตัลลออสซิลเลเตอร์ภายนอก ดังในภาพที่ 3.17 ซึ่งต้องแบ่งทั้ง 2 ส่วนให้สมมาตรกัน วงจรออสซิลเลเตอร์จะเริ่มทำงานก่อนขบวนการอื่น เพื่อความเสถียรภาพของระบบการเชื่อมต่อจริงภายในจะถูกประวิงเอาไว้จนกว่าขบวนการสร้างจะเสร็จสมบูรณ์ในภาพที่ 3.16 ตัวต้านทานป้อนกลับ R1 ที่อยู่ระหว่างอินพุตและเอาต์พุต จะเป็นไบอัสให้กับตัวขยาย, การผกผันของตัวขยายร่วมกับวงจร R-C จะให้การเลื่อนเฟสไป 360 องศา ส่วนตัวต้านทานที่อยู่อนุกรมอยู่ R2 อาจเอกสารนี้เป็นเอกสารที่สงวนไว้สำหรับการใช้งานเพื่อการศึกษาเท่านั้น ไม่อนุญาตให้นำไปใช้ประโยชน์ด้านการค้าไม่ว่ากรณีใดๆทั้งสิ้น อีกทั้งห้ามมิให้ดัดแปลงเนื้อหา และต้องอ้างอิงถึงเจ้าของเอกสารทุกครั้งที่มีการนำไปใช้

นำมาต่อใช้เมื่อต้องการควบคุมการเลื่อนเฟส หรือควบคุมขนาดของสัญญาณที่ออกมาจากตัวขยายระดับแรงดันป้อนกลับที่สูงไปอาจทำให้ถูกต้องได้โดยใช้อัตราส่วนของ C2 ต่อ C1 ตัวขยายถูกออกแบบให้ใช้งานตั้งแต่ความถี่ 1 MHz ไปจนถึงประมาณครึ่งหนึ่งของความถี่ที่ออกเกิด (toggle) ของตัว CLBs



ภาพที่ 3.16 แสดงลักษณะการใช้คริสตอลอสซิลเลเตอร์

3.2 การโปรแกรม

เมื่อมีแรงไฟ Vcc มาถึงส่วนของอุปกรณ์ LCA จะเริ่มต้นทำงาน (ปกติใช้ 2.5 ถึง 3 V) ค่าเวลาประวิงจะมีขึ้นจนกว่าแรงไฟของแหล่งจ่ายจะคงที่อยู่ในสถานะที่เสถียรและมีช่วงเวลา timeout ของการเริ่มต้นปกติประมาณ 11 ถึง 33 mSec. ในตารางที่ 3.1 แสดงให้เห็นรูปแบบโหมดการทำงาน 5 อย่างให้เลือกใช้โดยกำหนดที่ระดับอินพุตของขาโหมดทั้ง 3 คือ M0, M1 และ M2 โดยแบ่งโหมดการทำงานออกเป็น 3 โหมดใหญ่ๆ คือ master, peripheral และแบบ slave

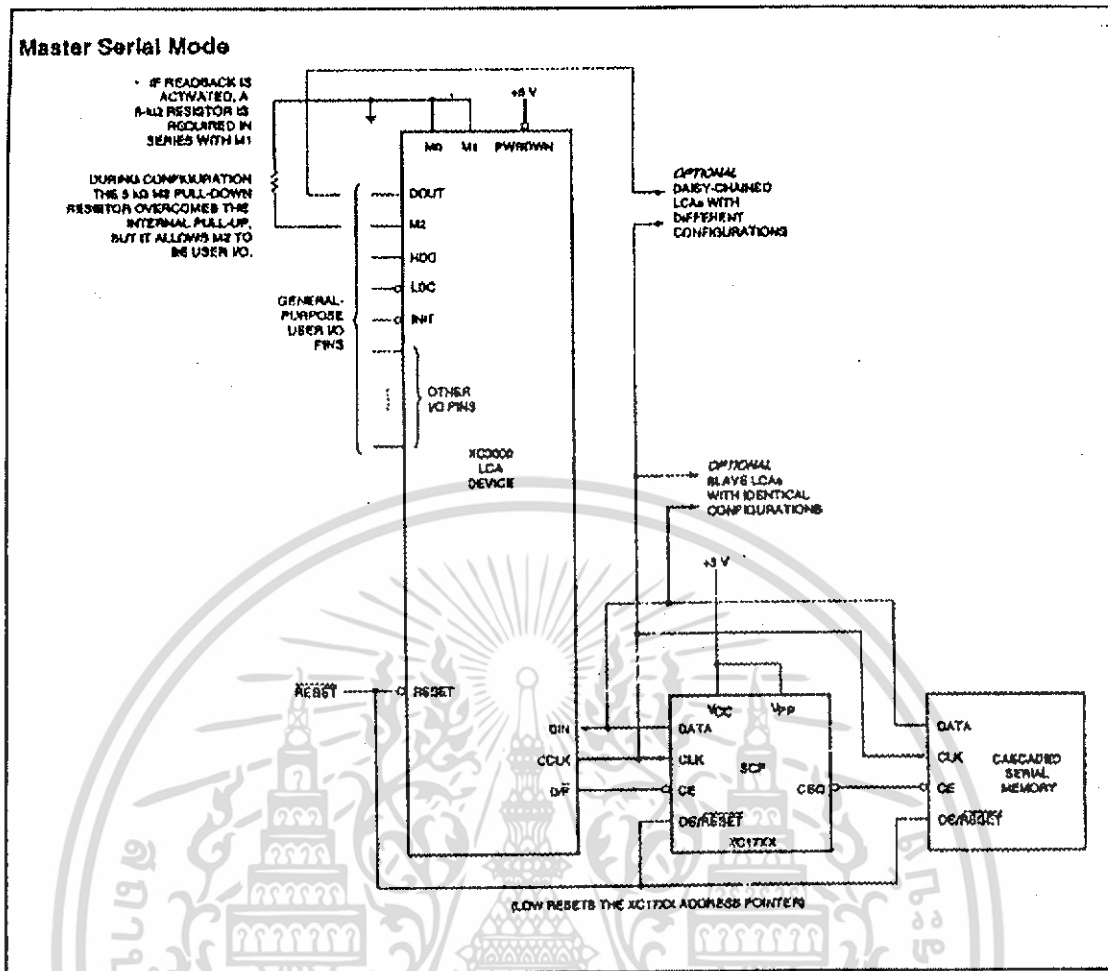
เอกสารนี้เป็นเอกสารที่สงวนไว้สำหรับการใช้งานเพื่อการศึกษาเท่านั้น ไม่อนุญาตให้นำไปใช้ประโยชน์ด้านการค้า ไม่ว่าจะกรณีใดๆทั้งสิ้น อีกทั้งห้ามมิให้ดัดแปลงเนื้อหา และต้องอ้างอิงถึงเจ้าของเอกสารทุกครั้งที่มีการนำไปใช้

ตารางที่ 3.1 การเลือกใช้โหมดการทำงานของอุปกรณ์ FPGA ที่สามารถกระทำได้

M0	M1	M2	CCLK	Mode	Data
0	0	0	เอาต์พุต	Master	Bit Serial
0	0	1	เอาต์พุต	Master	Byte Wide Addr. = 0000 up
0	1	0	-	Reserved	-
0	1	1	เอาต์พุต	Master	Byte Wide Addr. = FFFF up
1	0	0	-	Reserved	-
1	0	1	เอาต์พุต	Peripheral	Byte Wide
1	1	0	-	Reserved	-
1	1	1	อินพุต	Slave	Bit Serial

ในโครงสร้างแบบ master นั้น อุปกรณ์ LCA จะกลายเป็นแหล่งจ่ายของ Configuration Clock (CCLK) ส่วนการเริ่มต้นของอุปกรณ์ในโครงสร้างที่เป็น peripheral หรือ slave นั้นจะถูกประวิงเวลาเอาไว้จนกว่าที่จำเป็นให้เพียงพอต่อการเริ่มต้นที่สมบูรณ์ในอุปกรณ์ LCA ที่ถูกเลือกใช้เป็นโหมดแบบ Master นั้น สถานะเริ่มต้นจะถูกเพิ่มขึ้นเป็น 4 เท่าตัวคือประมาณ 43 ถึง 130 mSec เพื่อให้แน่ใจว่าอุปกรณ์ตัวลูกที่ต่อพ่วงอยู่ทั้งหมดอยู่ในสภาพพร้อมที่จะทำงานได้แล้ว และหลังจากที่เป็นข้อมูลโครงสร้างถูกโหลดเข้าไปแล้วและเปรียบเทียบจำนวนความยาวเรียบร้อยสภาพของขา I/O ก็พร้อมใช้งานได้

สำหรับการนำอุปกรณ์ LCA หรือ FPGA มาใช้งานในการทดลองวิจัยนี้ได้เลือกใช้โครงสร้างเป็นแบบ Master Serial Mode ซึ่งเป็นรูปแบบหนึ่งใน Master Mode ดังแสดงตัวอย่างในภาพที่ 18 โดยลักษณะทำงานแบบนี้ อุปกรณ์ LCA หรือ FPGA จะทำการโหลดข้อมูลโครงสร้างจากอุปกรณ์หน่วยความจำภายนอกอย่างอัตโนมัติ เมื่อมีการป้อนแหล่งจ่ายไฟเข้าไปหรือจากคำสั่งโหลดข้อมูลโดยตรง ซึ่งในลักษณะของ Master Serial Mode นี้จะใช้ข้อมูลโครงสร้างแบบอนุกรมเป็น Data-in (Din) มาจากแหล่งจ่ายอนุกรมแบบซิงโครนัส เช่น อุปกรณ์ Xilinx Serial Configuration PROM หรืออุปกรณ์หน่วยความจำประเภทอื่นที่มีลักษณะในทำนองเดียวกันนี้



ภาพที่ 3.17 ลักษณะการใช้งานอุปกรณ์ FPGA ให้มีการทำงานแบบ Master Serial Mode

เอกสารนี้เป็นเอกสารที่สงวนไว้สำหรับการใช้งานเพื่อการศึกษาเท่านั้น ไม่อนุญาตให้นำไปใช้ประโยชน์ด้านการค้า ไม่ว่าจะกรณีใดๆทั้งสิ้น อีกทั้งห้ามมิให้ดัดแปลงเนื้อหา และต้องอ้างอิงถึงเจ้าของเอกสารทุกครั้งที่มีการนำไปใช้

บทที่ 4

ภาษาวีเอชดีแอล

วีเอชดีแอล ย่อมาจากคำว่า VHDL Hardware Description Language (VHSIC: Very High Speed Integrated Circuit) เป็นภาษาโปรแกรมระดับสูง (high level language) ที่ใช้ในการออกแบบฮาร์ดแวร์ในระบบดิจิทัล ตัวของภาษาสามารถบรรยายพฤติกรรมการทำงานในรูปของลำดับชั้น (hierarchy) ได้ และสามารถที่จะเขียนได้หลายรูปแบบซึ่งจะกล่าวต่อไป จึงทำให้ภาษาวีเอชดีแอลเป็นเครื่องมือที่ใช้ออกแบบตั้งแต่ขั้นตอนบนสุด คือ แนวความคิดที่จะแก้ปัญหาลงไปทีละขั้นจนถึงขั้นตอนของการสร้างวงจรจริงและตัวภาษาสามารถเปิดโอกาสให้นักวิศวกรได้พัฒนาและจำลองการทำงานของรูปแบบฟังก์ชันการทำงานของวงจรอย่างสังเขป โดยที่ยังไม่ต้องไปคำนึงถึงรายละเอียดเกี่ยวกับโครงสร้างวงจรจริง นอกจากนี้วีเอชดีแอลยังเป็นภาษาที่สนับสนุนลักษณะต่างๆของระบบดิจิทัลที่มีความซับซ้อนได้ทั้งหมดจึงเป็นภาษาที่น่าสนใจในการศึกษาและนำไปใช้งาน

4.1 ประวัติความเป็นมาของภาษาวีเอชดีแอล

วิวัฒนาการของภาษาวีเอชดีแอล นั้นเริ่มต้นประมาณปี ค.ศ. 1981 โดยที่กระทรวงกลาโหมสหรัฐอเมริกา หรือ ดีโอดี (DoD: Department of Defense) มองเห็นว่าอุปกรณ์อิเล็กทรอนิกส์และคอมพิวเตอร์ที่ใช้ในกิจการทหารเป็นอุปกรณ์ที่ได้รับการพัฒนามาเมื่อประมาณ 20 ปีก่อนเพราะเทคโนโลยีในขณะนั้นทำให้การพัฒนาอุปกรณ์อิเล็กทรอนิกส์เป็นไปอย่างล่าช้า ซึ่งเป็นสภาพที่ไม่อาจยอมรับได้ในปัจจุบัน เพราะเทคโนโลยีทางด้านไมโครอิเล็กทรอนิกส์ ได้รับการพัฒนาไปอย่างรวดเร็ว ดังที่จะเห็นได้ว่ามีวงจรรวมอิเล็กทรอนิกส์หลายวงจร ที่แต่เดิมถูกสร้างขึ้นมาจากชิ้น ถูกนำประกอบกันอยู่บนแผงวงจรไฟฟ้าที่มีขนาดใหญ่ แต่ในปัจจุบันสามารถที่จะใช้เทคโนโลยีการออกแบบและผลิตวงจรรวมขนาดใหญ่มาก (VLSI: Very Large Scale Integration) รวมอุปกรณ์ต่างๆ เหล่านั้นให้อยู่บนชิ้นอุปกรณ์สารกึ่งตัวนำที่มีขนาดประมาณ 1-2 ตร.ซม ได้ ซึ่งเป็นผลให้ประสิทธิภาพในการทำงานของวงจรสูงขึ้น (ความเร็วในการทำงานของวงจร) ตลอดจนความน่าเชื่อถือในการทำงานและความคงทนต่อสภาพแวดล้อมสูง ขณะเดียวกันนั้นในวงการทหารได้มีการนำระบบคอมพิวเตอร์และอิเล็กทรอนิกส์มาใช้ในระบบอาวุธอย่างแพร่หลาย ดังนั้นอุปกรณ์ที่มีข้อยุ่งซึ่งไม่เหมาะสมกับเทคโนโลยีด้านอาวุธของประเทศคู่แข่ง การที่จะเปลี่ยนอุปกรณ์ใหม่เป็นสิ่งที่ต้องใช้งบประมาณมากและก็จะประสบกับปัญหาเช่นเดิมคือ อุปกรณ์ได้รับการพัฒนามานานแล้วเช่นกัน เพราะในขณะนั้นขั้นตอนของการออกแบบการผลิตและการตรวจสอบวงจรต้นแบบเป็นขบวนการที่ต้องใช้วิศวกรและเวลาสำหรับการดำเนินการมาก ฉะนั้นเอกสารนี้เป็นเอกสารที่สงวนไว้สำหรับการใช้งานเพื่อการศึกษาค้นคว้าเท่านั้น เมื่ออนุญาตให้นำไปใช้ประโยชน์ด้านการค้าไม่ว่ากรณีใดๆทั้งสิ้น อีกทั้งห้ามมิให้คัดแปลงเนื้อหา และต้องอ้างอิงถึงเจ้าของเอกสารทุกครั้งที่มีการนำไปใช้

การดำเนินการมาก ฉะนั้นทางดีไอตีตั้งโครงการขึ้นมาเพื่อศึกษาวิธีการที่จะช่วยพัฒนาวงจรอิเล็กทรอนิกส์ โดยเฉพาะอย่างยิ่งวงจรระบบดิจิทัลให้สามารถนำไปผลิตได้เร็วขึ้นและโครงการดังกล่าวมีชื่อว่า “Very High Speed Integrated Circuits” หรือ วีเอชเอสไอซี (VHSIC) ในระยะแรกนั้นโครงการเป็นความลับทางด้านความมั่นคงของประเทศและอยู่ในความดูแลควบคุมของ United States International Traffic and Arms Regulation หรือ ไอทีเออาร์ (ITAR) ในปี ค.ศ. 1983 ตามคำแนะนำของคณะทำงาน (“Woods Hole” workshop) ทาง ดีไอตี ได้ออกความต้องการมาตรฐานของภาษาที่ใช้สำหรับบรรยายพฤติกรรมของวงจรหรือฮาร์ดแวร์ของระบบสำหรับโครงการวีเอชเอสไอซี ซึ่งมีสาระสำคัญพอสรุปได้ดังนี้

- ต้องเป็นภาษาที่นำไปเขียนรูปแบบระบบดิจิทัล และมีคุณสมบัติที่สามารถจะเข้าใจได้ทั้งคน และเครื่องโดยไม่ต้องมีการแปลหรือเปลี่ยนแปลงอีก

- สามารถนำไปใช้เป็นเอกสารประกอบโครงการได้

- ต้องเป็นภาษาที่เขียนขึ้นสำหรับใช้จำลองการทำงานของวงจร

ฉะนั้นภาษาดังกล่าวนี้จึงจัดเป็นภาษาโปรแกรมระดับสูง เช่นเดียวกับภาษาปาสคาล หรือ ภาษาซี ซึ่งในทางวิศวกรรมการออกแบบฮาร์ดแวร์เรียกว่า “Hardware Description Language” หรือ เอชดีแอล (HDL) เริ่มต้นโครงการดีไอตีได้มอบหมายให้บริษัทไอบีเอ็มและบริษัทเท็กซัสอินสตรูเมนต์ และ บริษัทเมทริกซ์เป็นผู้ศึกษาและพัฒนาการดำเนินการได้กระทำไปอย่างต่อเนื่องและได้เป็นผลที่น่าพอใจ จนกระทั่ง ค.ศ. 1985 ทางไอทีเออาร์ได้ยกเลิกข้อจำกัดในการถ่ายทอดเทคโนโลยีทางทหารออกจากโครงการนี้ ดังนั้นภาษาวีเอชดีแอลจึงเริ่มเป็นที่รู้จักกันโดยทั่วไป จนกระทั่งทางไออีอีอี (IEEE) จึงได้รับภาษานี้เข้ามาศึกษาและประมาณปี ค.ศ. 1987 ได้ยอมรับกำหนดมาตรฐานของภาษา โดยให้ชื่อว่า IEEE 1076-1987 และมีชื่อเรียกว่าวีเอชดีแอลมาตรฐานนี้ก็ได้รับการปรับปรุงจนปัจจุบัน ได้ชื่อเรียกว่า IEEE 1076-1993 หรือ วีเอชดีแอล 1993 การที่ทางดีไอตีในขณะนั้นเป็นลูกค้ารายใหญ่ของอุตสาหกรรมอิเล็กทรอนิกส์และคอมพิวเตอร์ จึงมีผู้รับโครงการต่างๆ จากดีไอตี ไปดำเนินการด้านวิจัยและพัฒนามากเพื่อที่จะให้เป็นมาตรฐานเดียวกันหมดทางดีไอตีจึงกำหนดว่าในการส่งโครงการนั้นจะต้องเขียนอยู่ในรูปของภาษาวีเอชดีแอลเท่านั้น ซึ่งทำให้เกิดข้อดีต่อดีไอตีเองที่เป็นมาตรฐานเดียวกันสามารถนำไปจำลองกับเครื่องคอมพิวเตอร์ได้หลายระบบ

เอกสารนี้เป็นเอกสารที่สงวนไว้สำหรับการใช้งานเพื่อการศึกษาเท่านั้น ไม่อนุญาตให้นำไปใช้ประโยชน์ด้านการค้าไม่ว่ากรณีใดๆทั้งสิ้น อีกทั้งห้ามมิให้ดัดแปลงเนื้อหา และต้องอ้างอิงถึงเจ้าของเอกสารทุกครั้งที่มีการนำไปใช้

4.2 ส่วนประกอบต่างๆของภาษาวีเอชดีแอล

ในการเขียนรูปแบบบรรยายระบบดิจิทัลในมุมมองของการออกแบบลักษณะบนลงล่าง จะต้องทำความเข้าใจในเรื่องของโครงสร้างและส่วนประกอบต่างๆ ของรูปแบบภาษาวีเอชดีแอล เสียก่อน ซึ่งส่วนประกอบที่สำคัญและเป็นพื้นฐานของการเขียนมี 4 หน่วยคือ

1. หน่วยการออกแบบเอนทิตี (Entity Design Unit)
2. หน่วยการออกแบบสถาปัตยกรรม (Architecture Design Unit)
3. หน่วยการออกแบบแพ็คเกจ (Package Design Unit)
4. หน่วยการออกแบบโครงแบบ (Configuration Design Unit)

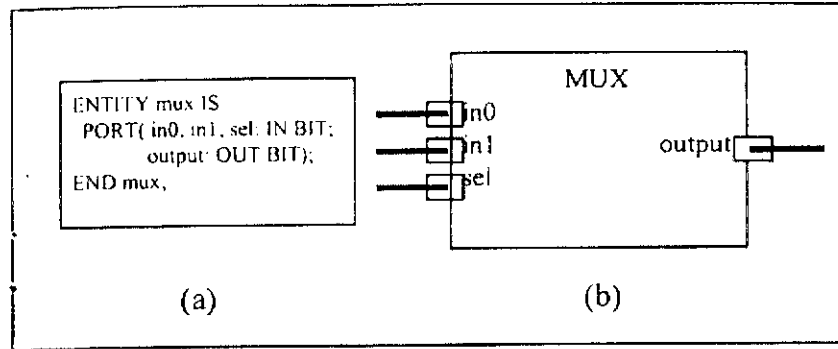
4.2.1 หน่วยการออกแบบเอนทิตี

หน่วยการออกแบบนี้เป็นส่วนที่ใช้สำหรับติดต่อระหว่างโลกภายนอกกับรูปแบบที่เขียนขึ้นที่เรียกว่า หน่วยการออกแบบเอนทิตี ในส่วนนี้ใช้กำหนดจุดเชื่อมต่อของรูปแบบกำหนดทิศทาง การไหลของสัญญาณ และประเภทของค่าที่สามารถกำหนดให้กับสัญญาณตามจุดต่างๆ ของข้อมูลที่ไหลผ่านจุดต่อเหล่านั้น ภาพที่ 4.1 แสดงให้เห็นโครงสร้างอย่างง่าย ๆ ของหน่วยการออกแบบเอนทิตี

```
ENTITY component_name IS
    Input and output ports
    Physical and other parameters
END [component_name];
```

ภาพที่ 4.1 แสดงโครงสร้างทั่วไปของหน่วยการออกแบบเอนทิตี

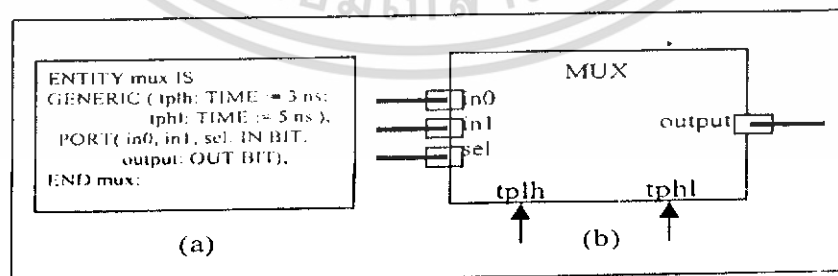
ส่วนนี้จะขึ้นต้นด้วยคำ ENTITY และ IS ระหว่างคำทั้งสองเป็นส่วนสำหรับชื่อของรูปแบบที่ต้องการจะเขียน (component_name) สำหรับการตั้งชื่อนั้นต้องเป็นไปตามกฎเกณฑ์ของภาษา หลังจากนั้นจะตามด้วยส่วนที่ใช้กำหนดช่องทางเข้าและออกของข้อมูล (input-output) รวมทั้งพารามิเตอร์อื่นๆ ส่วนนี้เรียกว่าส่วนหัว (entity header) และที่สำคัญคือหน่วยการออกแบบเอนทิตีจะต้องปิดท้ายด้วยคำว่า END และเครื่องหมายอัฒภาคเสมอ (;)



ภาพที่ 4.2 แสดงรูปแบบของมัลติเพลกซ์ (a) หน่วยการออกแบบเอนทิตีในรูปแบบของวีเอชดีแอล (b) มุมมองของตัวเชื่อมประสาน (Interfacing)

ในภาพที่ 4.2 เป็นหน่วยการออกแบบเอนทิตี ที่บรรยายอุปกรณ์ที่มีชื่อว่ามัลติเพลกซ์ หรือ MUX ในส่วนหัวของเอนทิตี มีการกำหนดจุดต่อ 4 จุดภายใต้ชุดคำสั่ง PORT โดยที่ 3 จุดแรกเป็นจุดให้ข้อมูลไหลผ่านเข้า ได้แก่ in0, in1, sel ซึ่งกำหนดด้วยทิศทางการติดต่อกับภายนอกเป็นการไหลเข้าของข้อมูล (IN) ที่แสดงด้วยรูปสี่เหลี่ยมโปร่งในภาพที่ 4.2 ส่วนจุดเอาต์พุตเป็นจุดให้ข้อมูลไหลออก ซึ่งกำหนดด้วยทิศทางการติดต่อกับภายนอกเป็นการไหลออก (OUT) ที่แสดงด้วยรูปสี่เหลี่ยมทึบในภาพที่ 4.2 ส่วนประเภทของข้อมูลที่จะไหล เข้าและออก นั้นเป็นประเภท BIT ที่สามารถมีค่าได้เพียงสองค่าคือ '0' และ '1' เท่านั้น

นอกจากนั้นผู้ออกแบบยังสามารถกำหนดค่าพารามิเตอร์ทางฟิสิกส์ที่เป็นข้อมูลเพิ่มเติมอื่นๆ ลงในส่วนหัวของเอนทิตีได้อีก เช่นข้อมูลเกี่ยวกับความเร็วในการทำงานของอุปกรณ์อื่น ได้แก่ ค่าเวลาหน่วงแพร่กระจาย (Propagation delay time) พารามิเตอร์เหล่านี้ เรียกว่า เจนเนริก (Generic) ที่กำหนดด้วยคำสั่ง GENERIC จากตัวอย่างในภาพที่ 4.3



ภาพที่ 4.3 รูปแบบมัลติเพลกซ์ที่ประกอบด้วยข้อมูลค่าเวลาหน่วงแพร่กระจาย (a) หน่วยการออกแบบเอนทิตีในรูปแบบของวีเอชดีแอล (b) มุมมองของตัวเชื่อมประสาน

เอกสารนี้เป็นเอกสารที่สงวนไว้สำหรับการใช้งานเพื่อการศึกษาเท่านั้น ไม่อนุญาตให้นำไปใช้ประโยชน์ด้านการค้า ไม่ว่ากรณีใดๆทั้งสิ้น อีกทั้งห้ามมิให้ดัดแปลงเนื้อหา และต้องอ้างอิงถึงเจ้าของเอกสารทุกครั้งที่มีการนำไปใช้

ในบางกรณีสามารถใช้ภาษาวีเอชดีแอล สร้างรูปแบบที่ปราศจากช่องทางไหลเข้าและออกของข้อมูลได้ ซึ่งส่วนใหญ่จะพบในการสร้างรูปแบบสำหรับตรวจสอบการทำงานของอีกรูปแบบหนึ่ง คือ วีเอชดีแอลสำหรับการทดสอบเปรียบเทียบ (Test bench)

```
ENTITY test_bench IS
END test_bench;
```

ภาพที่ 4.4 หน่วยการออกแบบเอนทิตีที่ไม่มีการกำหนดช่องทางที่ต่อกับภายนอก

4.2.2 หน่วยการออกแบบสถาปัตยกรรม

คือส่วนที่ใช้เขียนบรรยายพฤติกรรมของรูปแบบในมุมมองของการจำลองการทำงาน พฤติกรรมต่างๆ ที่บรรยายในส่วนนี้ขึ้นอยู่กับข้อมูลที่ผ่านเข้าและออกตรงช่องทางตลอดจนพารามิเตอร์ต่างๆ ที่กำหนดในหน่วยการออกแบบเอนทิตี ภาพที่ 4.5 แสดงให้เห็นถึงโครงสร้างอย่างง่ายของหน่วยการออกแบบสถาปัตยกรรม

```
ARCHITECTURE identifier OF component_name IS
[declaration]
BEGIN
specification of the functionality of the
component in terms of its input lines and as
influenced by physical and other parameters
END [identifier];
```

ภาพที่ 4.5 แสดงโครงสร้างโดยทั่วไปของหน่วยการออกแบบสถาปัตยกรรม

ส่วนของหน่วยการออกแบบสถาปัตยกรรมเริ่มต้นด้วยคำ ARCHITECTURE และตามด้วยชื่อ (identifier) สิ่งที่ต้องการกำหนดลงไปได้แก่ สิ่ง que แสดงให้เห็นว่า ARCHITECTURE นั้นใช้บรรยายหน่วยการออกแบบเอนทิตีใดๆ (OF <entity design unit> IS) ส่วนที่อยู่ระหว่าง ARCHITECTURE และ BEGIN เป็นพื้นที่ส่วนประกาศหน่วยของสถาปัตยกรรมกำหนด (architecture declarative area) ที่เป็นเพียงส่วนเพื่อเลือก (option) ในบริเวณนี้สามารถใช้เขียนประกาศกำหนดค่าต่างๆ ที่จะนำไปใช้ภายในสถาปัตยกรรมนั้นได้ อาทิเช่นประเภท (type) ต่างๆ

เอกสารนี้เป็นเอกสารสงวนลิขสิทธิ์ของสถาบันเทคโนโลยีพระจอมเกล้าเจ้าคุณทหารลาดกระบัง ไม่ว่ากรรมใดๆทั้งสิ้น อีกทั้งห้ามมิให้ดัดแปลงเนื้อหา และต้องอ้างอิงถึงเจ้าของเอกสารทุกครั้งที่มีการนำไปใช้

(ตัวอย่างเช่น bit, bit_vector), สัญญาณ (signal), ค่าคงที่ (constant), โปรแกรมย่อย (ได้แก่ function และ procedure) และอุปกรณ์ (component) ส่วนที่ใช้บรรยายความสัมพันธ์ระหว่างข้อมูลที่ไหลเข้า และไหลออกของรูปแบบ (สัญญาณที่กำหนดในชุดคำสั่ง PORT) นั้นจะถูกบรรยายในบริเวณเนื้อที่ระหว่างคำว่า BEGIN กับ END ของหน่วยการออกแบบสถาปัตยกรรม และนอกจากนั้นชุดคำสั่งทุกคำสั่งที่อยู่ภายในบริเวณนี้จะเป็นชุดคำสั่งแบบแข่งขันาน (concurrent statement) เท่านั้น หน่วยการออกแบบสถาปัตยกรรมนั้นๆ ที่เป็นส่วนเพื่อเลือกโดยทั่วไปการเขียนรูปแบบระบบดิจิทัลด้วยภาษาเวอริเอเบิล สามารถเขียนได้ในลักษณะต่างๆ ดังนี้

- ประเภทการไหลของข้อมูล (Dataflow description)
- ประเภทพฤติกรรม (Behavioral description)
- ประเภทโครงสร้าง (Structure description)
- ประเภทผสม (Mixed model description)

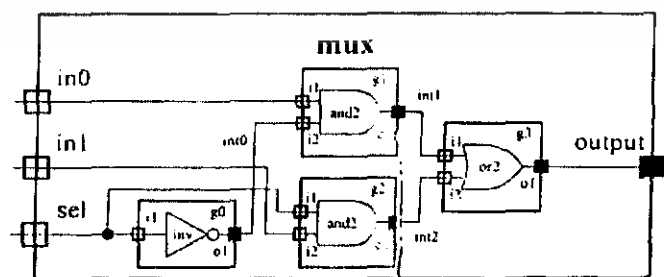
```

ARCHITECTURE data_flow OF mux IS
BEGIN
    output <= ((NOT sel) AND in0) OR (sel AND in1);
END data_flow;
  
```

ภาพที่ 4.6 แสดงหน่วยการออกแบบสถาปัตยกรรมของมัลติเพลกซ์ตามฟังก์ชันบูลีน

$$\text{Output} = (\text{sel.in0})+(\text{sel.in1})$$

ภาพที่ 4.6 ส่วนที่บรรยายความสัมพันธ์ระหว่างข้อมูลที่ไหลเข้า (in0, in1) กับข้อมูลที่ไหลออก (output) ประกอบด้วยชุดคำสั่งแบบแข่งขันานเพียงชุดเดียว ซึ่งเขียนเป็นประเภทการไหลของข้อมูลของมัลติเพลกซ์ หรือ ระดับการถ่ายโอนข้อมูลระหว่างเรจิสเตอร์ (RTL: Register Transfer Level)



ภาพที่ 4.7 แสดงโครงสร้างภายในสถาปัตยกรรมของมัลติเพลกซ์

เอกสารนี้เป็นเอกสารที่สงวนลิขสิทธิ์หรือการเชิงานเพื่อการศึกษาเท่านั้น เมื่อผู้เอาต์เห็นาเบไขประโยชน์ด้านการค้าไม่ว่ากรณีใดๆทั้งสิ้น อีกทั้งห้ามมิให้ดัดแปลงเนื้อหา และต้องอ้างอิงถึงเจ้าของเอกสารทุกครั้งที่มีการนำไปใช้

ภาพที่ 4.7 เป็นหน่วยการออกแบบสถาปัตยกรรมของมัลติเพลกซ์ประเภทโครงสร้าง โดยใช้อินเวอร์เตอร์ (inv ที่ตำแหน่ง g0), แอนด์เกต 2 อินพุตจำนวน 2 ตัว (and ที่ตำแหน่ง g1 และ g2) และออร์เกต 2 อินพุต (or2 ที่ตำแหน่ง g3) มาสร้างตามฟังก์ชันบูลีนของภาพที่ 4.6

```

ARCHITECTURE struc OF mux IS
  COMPONENT inv
  PORT (i1 : IN BIT ; o1 : OUT BIT );
  COMPONENT and2
  PORT ( i1, i2 : IN BIT ; o3 : OUT BIT );
  COMPONENT or2
  PORT ( i1, i2 : IN BIT ; o1 : OUT BIT );
END COMPONENT;
  SIGNAL int0, int1, int2 : BIT;
BEGIN
  g0 : inv PORT MAP (i1 => sel, o1 => int0);
  g1 : and2 PORT MAP (i1 => in0, i2 => int0, o1 => int1);
  g3 : or2 PORT MAP (i1 => int1, i2 => int2, o1 => ouput);
END struc;

```

ภาพที่ 4.8 หน่วยการออกแบบสถาปัตยกรรมของมัลติเพลกซ์ประเภทโครงสร้าง

```

ARCHITECTURE behav OF mux IS
BEGIN
  PROCESS (in0, in1, sel)
  BEGIN
    IF (sel = '0') THEN output <= in0;
    ELSE output <= in1;
    END IF;
  END PROCESS;
END behav;

```

ภาพที่ 4.9 หน่วยการออกแบบสถาปัตยกรรมของมัลติเพลกซ์ประเภทพฤติกรรม เอกสารนี้เป็นเอกสารที่สงวนไว้สำหรับการใช้งานเพื่อการศึกษาเท่านั้น ไม่อนุญาตให้นำไปเผยแพร่โดยไม่ได้รับอนุญาต ไม่ว่าจะในรูปแบบใด ๆ ทั้งสิ้น อีกทั้งห้ามมิให้ดัดแปลงเนื้อหา และต้องอ้างอิงถึงเจ้าของเอกสารทุกครั้งที่มีการนำไปใช้

ไม่ว่าเขียนบรรยายส่วนของสถาปัตยกรรมของมัลติเพล็กซ์ในลักษณะของ ประเภท พฤติกรรม ประเภทการไหลของข้อมูล ประเภทโครงสร้างหรือประเภทผสมที่นำเอาแต่ละประเภท มาเขียนไว้ในส่วนของสถาปัตยกรรม ก็ตามต่างก็มีพฤติกรรมเดียวกัน และจะให้ผลลัพธ์จากการ จำลองการทำงานที่เหมือนกัน ซึ่งนี่ก็เป็นข้อดีของภาษาวีเอชดีแอล

4.2.3 หน่วยการออกแบบแพ็คเกจ

ข้อมูลต่างๆ ตลอดจนโปรแกรมย่อย ที่เป็นประโยชน์ต่อการเขียนรูปแบบบรรยายระบบ ดิจิตอล สามารถเก็บไว้ในส่วนของแพ็คเกจได้และข้อมูลเหล่านี้สามารถเรียกไปใช้ได้โดยหน่วย การออกแบบแอนติที หน่วยการออกแบบสถาปัตยกรรม หรือจากหน่วยการออกแบบแพ็คเกจอื่นๆ นอกจากนั้นสิ่งที่นิยมทำกันมากคือรูปแบบมาตรฐานต่างๆ เช่นอุปกรณ์มาตรฐาน (เช่น ไอซี ตระกูล 78XX เป็นต้น) จะถูกเก็บไว้ในแพ็คเกจ ที่ทุกคนสามารถเข้าถึง โดยปกติแล้วแพ็คเกจจะ แบ่งออกเป็น 2 ส่วนคือ การประกาศแพ็คเกจ (Package declaration) และ ส่วนของบอดีแพ็คเกจ (Package body) เนื่องจาก แพ็คเกจถูกสร้างขึ้นเป็นส่วนแยกต่างหากออกจากรูปแบบที่กำลังเขียน อยู่ ฉะนั้นการที่นำแพ็คเกจไปใช้นั้นจะต้องมีการเชื่อมโยงหรืออ้างอิงเสียก่อน ซึ่งในภาษา วีเอชดีแอลสามารถกระทำได้ด้วยชุดคำสั่ง USB

4.2.3.1 PACKAGE DECLARATION

ส่วนที่มีความสำคัญที่สุดของแพ็คเกจ (ถ้ามองในแง่ของการนำไปใช้จาก ภายนอก) ได้แก่ส่วนการประกาศแพ็คเกจ เพราะจะเป็นส่วนที่กำหนดชื่อของสิ่งที่ประกาศอยู่ ภายในแพ็คเกจสำหรับนำไปใช้ภายนอกตัวของแพ็คเกจเอง สิ่งใดๆ ถูกประกาศในส่วน ของบอดีแพ็คเกจแต่ไม่ถูกประกาศในส่วนการประกาศแพ็คเกจจะไม่สามารถถูกนำค่าและพฤติกรรม ไปใช้ส่วนนอกได้ ซึ่งสามารถเปรียบเทียบได้กับสิ่งที่ประกาศไว้ในส่วนของการประกาศแอนติทีคือ จุดเชื่อมต่อ หรือ พอร์ต ที่มีหน้าที่ติดต่อกับโลกภายนอก ฉะนั้นโดยทั่วไปแล้วแพ็คเกจสามารถ สร้างขึ้นได้โดยไม่จำเป็นต้องมีส่วนบอดี และยังสามารถถูกนำไปใช้จากรูปแบบภายนอกได้เช่น ใช้สำหรับประกาศ ชนิด (Type) หรือ สัญญาณ เช่นเดียวกับส่วนบอดีแพ็คเกจที่ไม่จำเป็นต้อง มีส่วนของการประกาศแพ็คเกจ แต่แพ็คเกจนั้นจะไม่สามารถถูกนำไปใช้จากรูปแบบอื่นได้

```
PACKAGE package_name IS
    Package_declarative_part
END package_name;
```

ภาพที่ 4.10 แสดงโครงสร้างโดยทั่วไปของส่วนการประกาศแพ็คเกจ

เอกสารนี้เป็นเอกสารที่สงวนไว้สำหรับการใช้งานเพื่อการศึกษาเท่านั้น ไม่อนุญาตให้นำไปใช้ประโยชน์ด้านการค้า ไม่ว่ากรณีใดๆทั้งสิ้น อีกทั้งห้ามมิให้ดัดแปลงเนื้อหา และต้องอ้างอิงถึงเจ้าของเอกสารทุกครั้งที่มีการนำไปใช้

4.2.3.2 PACKAGE BODY

โครงสร้างที่ประกอบด้วยคำสั่งต่างๆ ในรูปของคำสั่งลำดับที่ใช้บรรยายฟังก์ชันการทำงานของโปรแกรมย่อย (Subprogram) ทั้งหมดที่ชื่อของโปรแกรมย่อยนั้นๆ ที่ถูกประกาศไปในส่วนของการประกาศแพ็คเกจแล้วจะถูกเก็บไว้ในส่วนบอดีแพ็คเกจ ทั้งนี้รวมทั้งการกำหนดค่าคงที่ต่างๆ อันได้แก่ตัวคงที่ที่ถูกประกาศชื่อก่อนในส่วนของการประกาศแพ็คเกจ แต่ถูกกำหนดค่าในส่วนของบอดีแพ็คเกจ ฉะนั้นส่วนบอดีแพ็คเกจจึงไม่จำเป็นต้องมี ถ้าในส่วนของ การประกาศแพ็คเกจไม่มีการประกาศชื่อที่เป็นโปรแกรมย่อย หรือ ค่าคงที่ การเขียนบอดีแพ็คเกจนั้น เป็นไปตามกฎเกณฑ์ที่แสดงในภาพที่ 4.11

```
PACKAGE BODY package_name IS
    declarative part
END package_name;
```

ภาพที่ 4.11 ในโครงสร้างของบอดีแพ็คเกจ

4.2.4 หน่วยการออกแบบโครงสร้าง

ดังที่ทราบกันแล้วว่ารูปแบบหนึ่งของระบบดิจิทัลไม่ว่าจะเป็นอะไร จะมีหน่วยการออกแบบเอนทิตีได้เพียงหนึ่งเดียวเท่านั้น แต่ในขณะที่หน่วยการออกแบบเอนทิตีหนึ่งหน่วยนี้อาจจะมีสถาปัตยกรรมที่เป็นหน่วยรองได้หลายหน่วย ดังนั้นจะต้องมีหน่วยการออกแบบโครงสร้างมาเพื่อกำหนดการใช้โครงสร้าง (Configuration) ประกอบเอนทิตีกับหน่วยการออกแบบสถาปัตยกรรมหน่วยไหนเข้าด้วยกัน

```
CONFIGURATION identifier OF entity_name IS
    Configuration_declarative_part
END ;
```

ภาพที่ 4.12 โครงสร้างโดยทั่วไปของหน่วยการออกแบบโครงสร้าง

เอกสารนี้เป็นเอกสารที่สงวนไว้สำหรับการใช้งานเพื่อการศึกษาเท่านั้น ไม่อนุญาตให้นำไปใช้ประโยชน์ด้านการค้า ไม่ว่ากรณีใดๆทั้งสิ้น อีกทั้งห้ามมิให้ดัดแปลงเนื้อหา และต้องอ้างอิงถึงเจ้าของเอกสารทุกครั้งที่มีการนำไปใช้

4.3 ภาษาวีเอชดีแอลเพื่อการสังเคราะห์

ภาษาวีเอชดีแอล เป็นภาษาที่เขียนเพื่อจำลองการทำงานของวงจร ซึ่งในบางรูปแบบการเขียนไม่สามารถที่จะนำไปสังเคราะห์ได้ทั้งหมด ดังนั้นถ้าต้องการเขียนเพื่อนำไปสังเคราะห์ ควรหลีกเลี่ยงรูปแบบต่างๆ ที่ไม่สามารถนำไปสังเคราะห์ได้ ในที่นี้ขึ้นอยู่กับความสามารถของโปรแกรมที่ใช้สังเคราะห์แต่ละโปรแกรม ดังนั้นในหัวข้อนี้จะแสดงตัวอย่างของการเขียนโมเดลในรูปแบบต่างๆ ที่สามารถนำไปสังเคราะห์ซึ่งยึดหลักการเขียนตาม ViewSynthesis User's Guide ของโปรแกรม Viewlogic ซึ่งเป็นโปรแกรมที่ใช้ในการสังเคราะห์วงจรทั้งหมดในการออกแบบไมโครคอนโทรลเลอร์โดยแบ่งออกเป็น 2 กลุ่ม คือ เกตและฟลิปฟลอปประเภทต่างๆ

4.3.1 ตัวอย่างรูปแบบการเขียนเกตพื้นฐาน

```
SIGNAL a, b, c, d, input, output : vbit_1d(3 DOWNTO 0);
```

```
SIGNAL sel : vbit_1d(1 DOWNTO 0);
```

```
SIGNAL enb : vbit;
```

```
...
```

```
output <= a AND b;
```

```
...
```

```
output <= a OR b;
```

```
...
```

```
output <= a XOR b;
```

```
...
```

```
output <= NOT input;
```

```
...
```

```
output <= input WHEN enb='1' ELSE "ZZ";
```

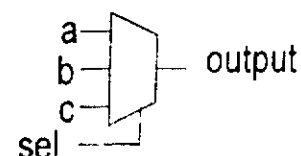
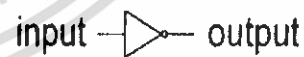
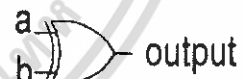
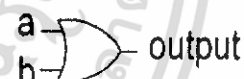
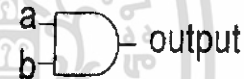
```
...
```

```
WITH sel SELECT
```

```
output <= a WHEN "00" ELSE
```

```
      b WHEN "01" ELSE
```

```
      c;
```



เอกสารนี้เป็นเอกสารที่สงวนไว้สำหรับการใช้งานเพื่อการศึกษาเท่านั้น ไม่อนุญาตให้นำไปใช้ประโยชน์ด้านการค้า ไม่ว่าจะกรณีใดๆทั้งสิ้น อีกทั้งห้ามมิให้ดัดแปลงเนื้อหา และต้องอ้างอิงถึงเจ้าของเอกสารทุกครั้งที่มีการนำไปใช้

4.3.2 ตัวอย่างรูปแบบการเขียนฟลิปฟล็อปพื้นฐาน

```
SIGNAL input, output : vlbit_1d(3 DOWNTO 0);
```

```
SIGNAL clock, enable, reset : vlbit;
```

```
...
```

```
PROCESS BEGIN
```

```
    WAIT UNTIL PRISING(clock);
```

```
        output <= input;
```

```
END PROCESS;
```

```
...
```

```
PROCESS BEGIN
```

```
    WAIT UNTIL PFALLING(clock);
```

```
        output <= input;
```

```
END PROCESS;
```

```
...
```

```
PROCESS BEGIN
```

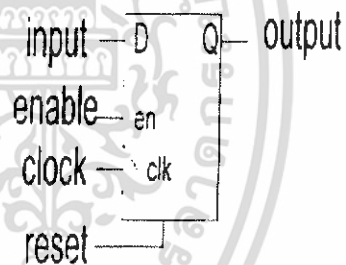
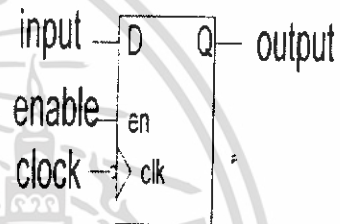
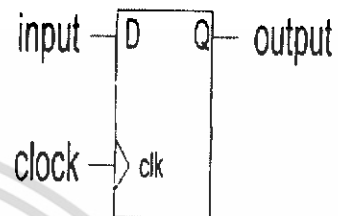
```
    WAIT UNTIL PRISING(clock) OR (reset='1');
```

```
    IF (reset = '1') THEN output <= "00";
```

```
    ELSIF (enable = '1') THEN output <= input;
```

```
    END IF;
```

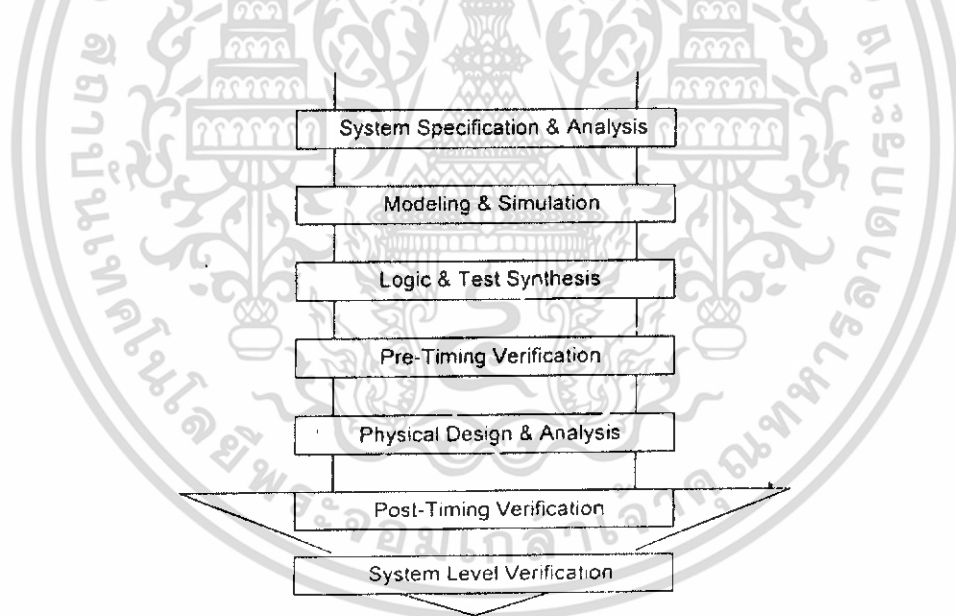
```
END PROCESS;
```



เอกสารนี้เป็นเอกสารที่สงวนไว้สำหรับการใช้งานเพื่อการศึกษาเท่านั้น ไม่อนุญาตให้นำไปใช้ประโยชน์ด้านการค้า ไม่ว่าจะกรณีใดๆทั้งสิ้น อีกทั้งห้ามมิให้ดัดแปลงเนื้อหา และต้องอ้างอิงถึงเจ้าของเอกสารทุกครั้งที่มีการนำไปใช้

4.4 การออกแบบจากบนลงล่าง

ในการพัฒนาวงจรรวมดิจิทัลขนาดใหญ่ที่มีความซับซ้อน เช่น วงจรรวม (ASIC: Application Specific Integrated Circuit) วิศวกรหรือผู้ออกแบบมักจะมองการออกแบบให้อยู่ในรูปของของการบล็อกละเอียดก่อน ก่อนที่จะวิเคราะห์ให้ลึกถึงรายละเอียดต่อไป ซึ่งภาษาวีเอชดีแอลนั้นอนุญาตให้อธิบายการทำงานของแต่ละบล็อกและวิเคราะห์การทำงานแก้ไขและปรับปรุงการทำงานจากผลที่วิเคราะห์เพื่อให้ได้การทำงานตามที่ต้องการ และเพิ่มเติมในรายละเอียดที่ละเอียดขึ้นนี้คือ หลักการออกแบบจากบนลงล่าง (Top-Down Design) ถ้าทดลองเปรียบเทียบกับวิธีการออกแบบจากล่างขึ้นบน (Bottom-Up Design) จะเห็นได้ว่าการออกแบบจากล่างขึ้นบนจะใช้เวลาการออกแบบมากกว่า 90% เพราะเป็นการวาดวงจรด้วยอุปกรณ์ต่างๆ (Schematic capture) ที่ประกอบกันเข้าเป็นวงจรที่ต้องการออกแบบจำลองการทำงานตรวจสอบความถูกต้อง ซึ่งใช้เวลามากและถ้าวงจรที่ต้องการออกแบบมีความซับซ้อนก็จะเป็นเรื่องที่ยากมากให้การออกแบบในลักษณะนี้ ดังนั้นการใช้ภาษาวีเอชดีแอลกับหลักการออกแบบจากบนลงล่างจึงเป็นทางเลือกให้กับวิศวกรออกแบบที่จะสามารถออกแบบและพัฒนาวงจรที่มีความซับซ้อนได้มากขึ้น และช่วยลดเวลาและค่าใช้จ่ายในการออกแบบ



ภาพที่ 4.13 ขั้นตอนการออกแบบจากบนลงล่าง

จากภาพที่ 4.13 แสดงให้เห็นขั้นตอนการออกแบบจากบนลงล่าง ทั้งนี้ในทางปฏิบัติอาจจะมีข้อแตกต่างไปจากนี้บ้างเล็กน้อย ก็เนื่องจากขั้นตอนของการผลิต (Implementation) สามารถกระทำได้หลายๆ เทคโนโลยี เช่น พีแอลดี (PLD: Programmable Logic Device) อันได้แก่

เอกสารนี้เป็นเอกสารที่สงวนไว้สำหรับการใช้งานเพื่อการศึกษาเท่านั้น ไม่อนุญาตให้นำไปใช้ประโยชน์ด้านการค้า ไม่ว่าจะกรณีใดๆ ทั้งสิ้น อีกทั้งห้ามมิให้ดัดแปลงเนื้อหา และต้องอ้างอิงถึงเจ้าของเอกสารทุกครั้งที่มีการนำไปใช้

พีแอลเอ (PLA: Programmable Logic Array), เอฟพีจีเอ (FPGA: Field Programmable Gate Array), ซีพีแอลดี (CPLD: Cell Programmable Logic Device) เป็นต้น นอกนั้นยังมีเซมิคัสตัมไอซี (Semi Custom IC) ได้แก่ เกตอะเรย์ (Gate array), เซลล์มาตรฐาน (Standard Cell) ขั้นตอนของการออกแบบจากบนลงล่างมีรายละเอียดดังนี้

1. ขั้นตอนการสร้างข้อกำหนดของความต้องการ และวิเคราะห์ระบบเพื่อหาแนวความคิดและหลักการ (Idea and concept) ในการแก้ปัญหา

2. ขั้นตอนการเขียนรูปแบบของระบบที่ต้องการออกแบบโดยใช้ภาษาวีเอชดีแอล หรือ ภาษาเอชดีแอลอื่นๆ สำหรับบรรยายพฤติกรรมการทำงานพร้อมทั้งจำลองการทำงานเพื่อเปรียบเทียบและตรวจสอบความถูกต้องกับข้อกำหนด

3. หลังจากที่ได้หลักการขั้นต้นพร้อมกับแนวความคิดที่ผ่านการตรวจสอบแล้ว หลักการนี้จะถูกเพิ่มเติมในรายละเอียดลงมาเป็นลำดับขั้นที่สองจนกระทั่งอยู่ในระดับที่จะนำไปผลิตวงจรหรือ สังเคราะห์ในขั้นตอนนี้เองเทคโนโลยีที่จะมารองรับวงจรออกแบบจะถูกกำหนดขึ้น และระบบช่วยการออกแบบจะสังเคราะห์วงจรที่ได้จากรูปแบบที่เขียนขึ้นให้อยู่ในรูปของวงจรที่ประกอบด้วยอุปกรณ์อิเล็กทรอนิกส์หรือวงจรในระดับเกต และการเชื่อมต่อระหว่างกันของอุปกรณ์เหล่านั้น หรือไม่ก็อยู่ในรูปของเน็ตลิสต์ (Netlist) ที่สามารถนำไปผลิตลงบนอุปกรณ์อื่นได้

4. หลังจากการสังเคราะห์วงจรให้อยู่ในรูประดับเกตหรือเน็ตลิสต์แล้วข้อมูลที่ได้จากผู้ผลิตอุปกรณ์วงจรมานั้น นอกจากจะเป็นข้อมูลสำหรับจำลองการทำงานในเรื่องของความถูกต้องของฟังก์ชันแล้วยังมีข้อมูลเกี่ยวกับเวลาด้วย ซึ่งเป็นความจริงที่ว่าอุปกรณ์ทางอิเล็กทรอนิกส์ทุกชิ้นจะมีเวลาหน่วงของการแพร่กระจาย (Propagation delay time) เสมอถึงแม้จะเป็นเวลาที่น้อยมากในระดับนาโนวินาที แต่ถ้าภายในวงจรหนึ่งประกอบด้วยเกตของฟังก์ชันต่างๆ จำนวน 10,000 เกตขึ้นไป เวลาดังกล่าวนี้จะสะสมกันมากขึ้นจนอาจจะทำให้การทำงานของวงจรรวมทั้งหมดผิดไป หรือไม่สามารถทำงานในย่านความถี่สัญญาณนาฬิกาที่สูงได้

5. ขั้นตอนของการผลิตเป็นวงจรจริง (Technology and device mapping) โดยนำข้อมูลที่ได้จากการสังเคราะห์มาผลิตซึ่งอาจจะอยู่ในรูปของแผงวงจรไฟฟ้าที่ประกอบด้วยอุปกรณ์หลายๆ ชิ้น หรืออยู่ในรูปของวงจรรวม (ASIC)

6. หลังจากที่ได้วงจรจริงมาแล้วยังต้องมีความจำเป็นที่ต้องตรวจสอบการทำงานที่ค่านิ่งถึงเวลาด้วย เพื่อความถูกต้องของวงจรครั้งสุดท้ายก่อนที่จะนำไปรวมเข้ากับอุปกรณ์อื่นๆ ให้เป็นระบบดิจิทัลเพราะในขั้นตอนนี้วงจรที่ออกแบบจะประกอบด้วยอินพุตและเอาต์พุตแพด (Pad) ซึ่งเป็นจุดต่อสำหรับรับและส่งสัญญาณกับภายนอก

7. หลังจากทีนำวงจรที่ออกแบบรวมเข้ากับอุปกรณ์อื่นๆ ให้เป็นระบบดิจิทัลแล้วนั้น จะต้องทดสอบการทำงานรวมทั้งระบบร่วมกับอุปกรณ์อื่นๆ อีกครั้งเป็นการควบคุมคุณภาพของผลิตภัณฑ์

เอกสารนี้เป็นเอกสารที่สงวนไว้สำหรับการใช้งานเพื่อการศึกษาเท่านั้น ไม่อนุญาตให้นำไปใช้ประโยชน์ด้านการค้า ไม่ว่ากรณีใดๆ ทั้งสิ้น อีกทั้งห้ามมิให้ดัดแปลงเนื้อหา และต้องอ้างอิงถึงเจ้าของเอกสารทุกครั้งที่มีการนำไปใช้

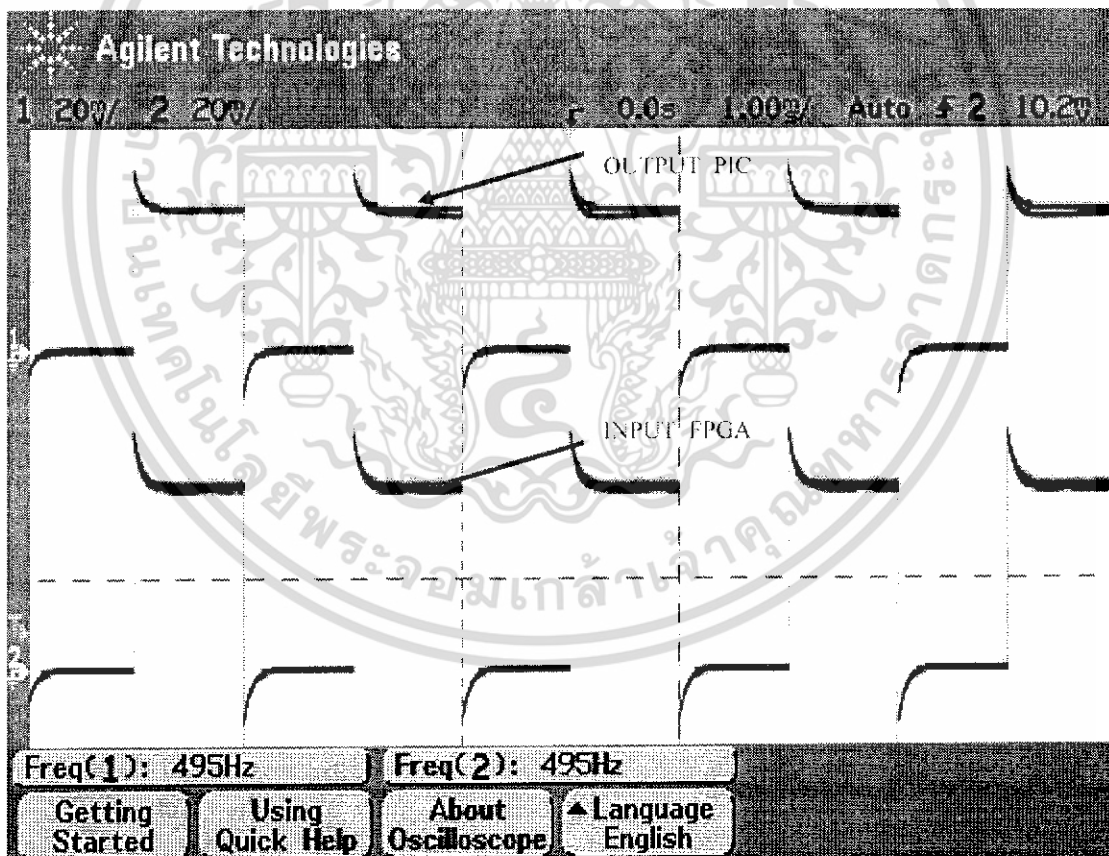
บทที่ 5

การทดลองและผลการทดลอง

5.1 จุดประสงค์ในการทดลอง

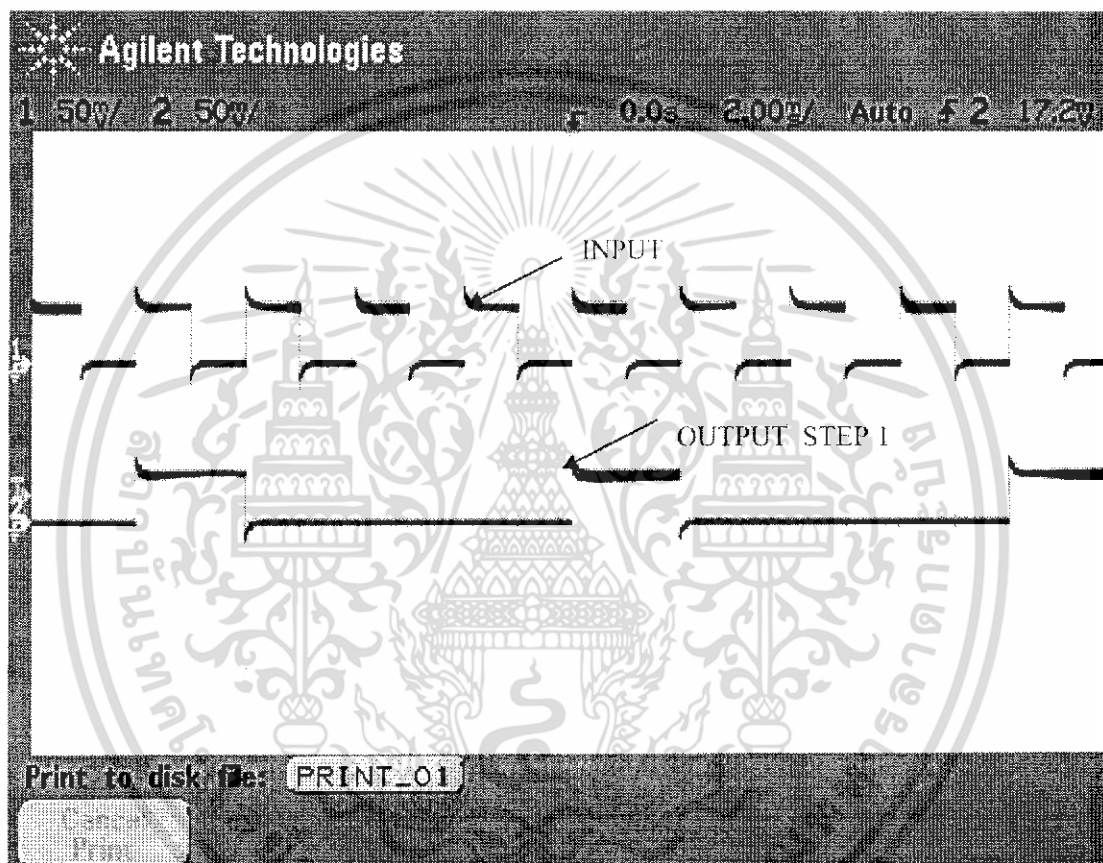
1. เพื่อทดสอบการทำงานของตัว FPGA ได้ทำงานตามค่า ความถี่และเวลา ที่ป้อนให้ไว้ได้จริงและถูกต้อง
2. เพื่อทำการทดลองสัญญาณ และดูรูปแบบของสัญญาณ ณ จุดต่างๆที่ตั้งไว้ว่าได้ออกมาตามค่า ความถี่และเวลา ที่ได้ตั้งไว้ได้จริงและถูกต้อง
3. เพื่อทำการวัดหาค่าแรงบิดและความเร็วรอบ

5.2 ผลการทดลอง



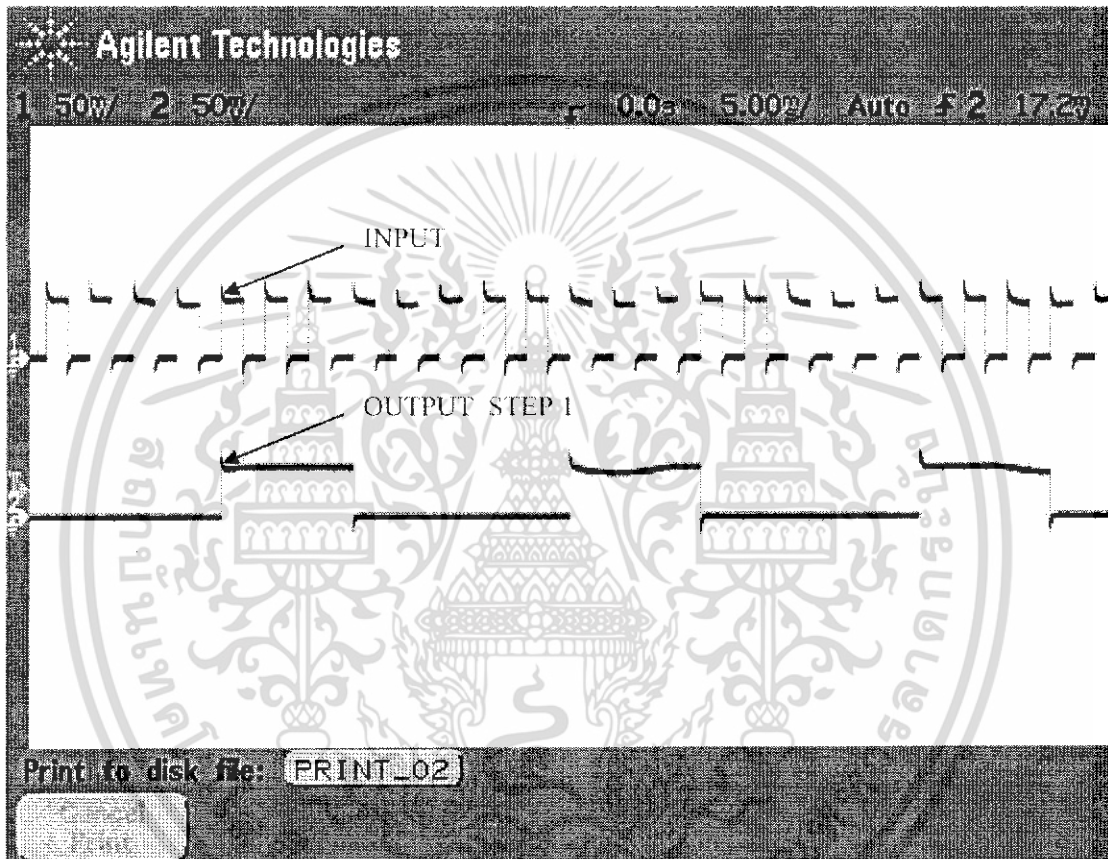
ภาพที่ 5.1 แสดงการเปรียบเทียบสัญญาณระหว่าง OUTPUT ของ PIC กับ INPUT ของ FPGA

เอกสารนี้เป็นเอกสารที่สงวนไว้สำหรับการใช้งานเพื่อการศึกษาเท่านั้น ไม่อนุญาตให้นำไปใช้ประโยชน์ด้านการค้า ไม่ว่าจะกรณีใดๆทั้งสิ้น อีกทั้งห้ามมิให้ดัดแปลงเนื้อหา และต้องอ้างอิงถึงเจ้าของเอกสารทุกครั้งที่มีการนำไปใช้



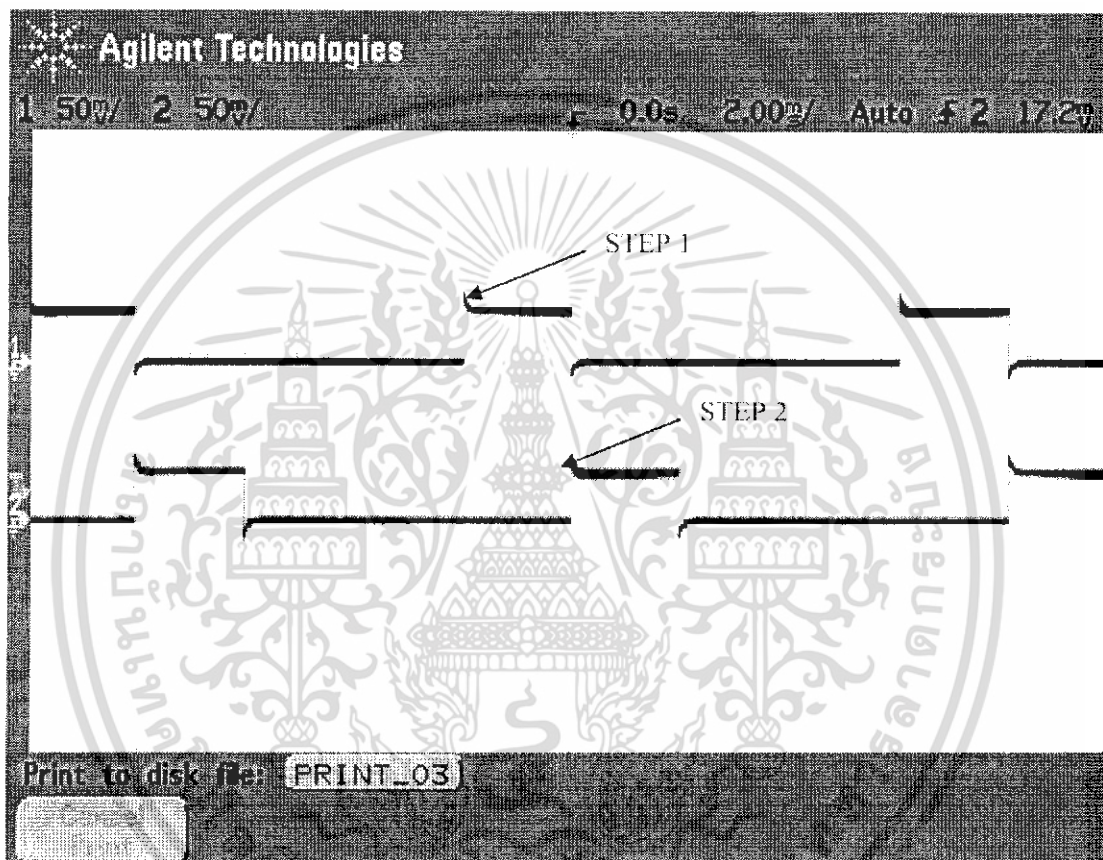
ภาพที่ 5.2 แสดงการเปรียบเทียบสัญญาณระหว่างสัญญาณ INPUT กับสัญญาณ OUTPUT ที่ STEP ที่ 1 ของ FPGA แบบ Full Step

เอกสารนี้เป็นเอกสารที่สงวนไว้สำหรับการใช้งานเพื่อการศึกษาเท่านั้น ไม่อนุญาตให้นำไปใช้ประโยชน์ด้านการค้า ไม่ว่าจะกรณีใดๆทั้งสิ้น อีกทั้งห้ามมิให้ดัดแปลงเนื้อหา และต้องอ้างอิงถึงเจ้าของเอกสารทุกครั้งที่มีการนำไปใช้



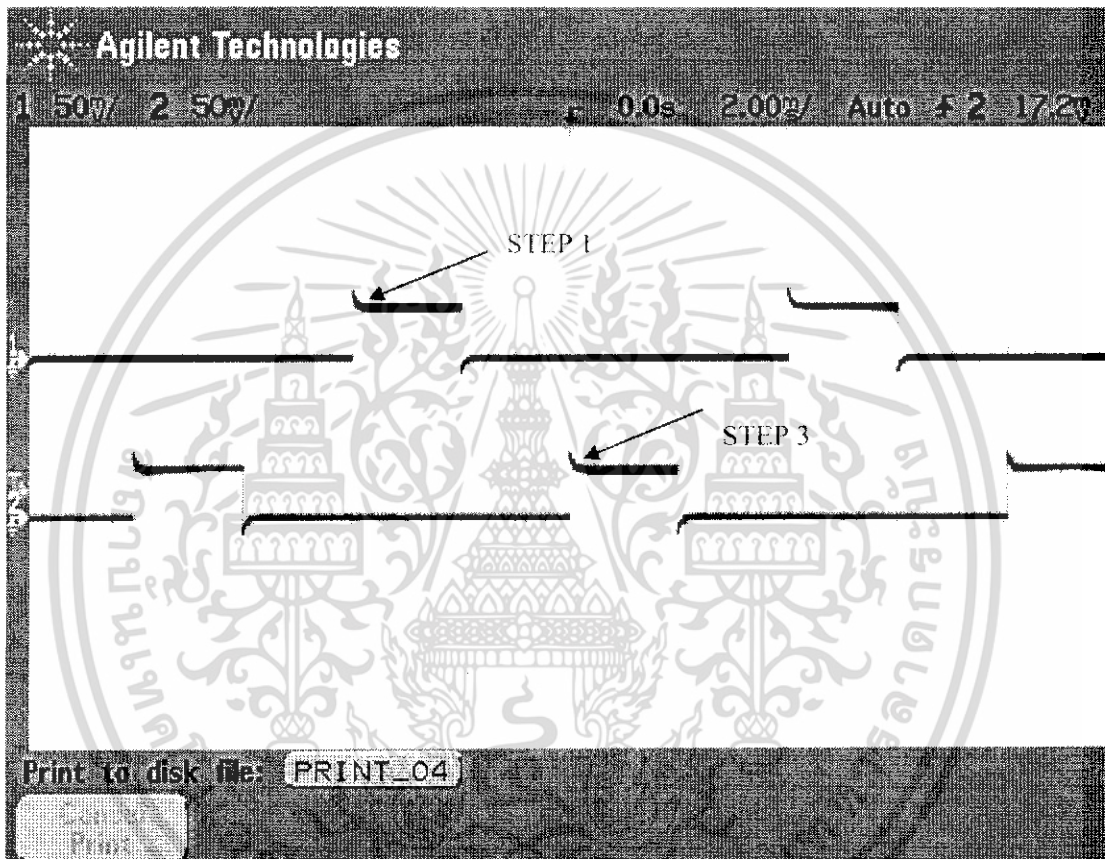
ภาพที่ 5.3 แสดงการเปรียบเทียบสัญญาณระหว่างสัญญาณ INPUT กับสัญญาณ OUTPUT ที่ STEP ที่ 1 ของ FPGA แบบ Half Step

เอกสารนี้เป็นเอกสารที่สงวนไว้สำหรับการใช้งานเพื่อการศึกษาเท่านั้น ไม่อนุญาตให้นำไปใช้ประโยชน์ด้านการค้า ไม่ว่าจะกรณีใดๆทั้งสิ้น อีกทั้งห้ามมิให้ดัดแปลงเนื้อหา และต้องอ้างอิงถึงเจ้าของเอกสารทุกครั้งที่มีการนำไปใช้



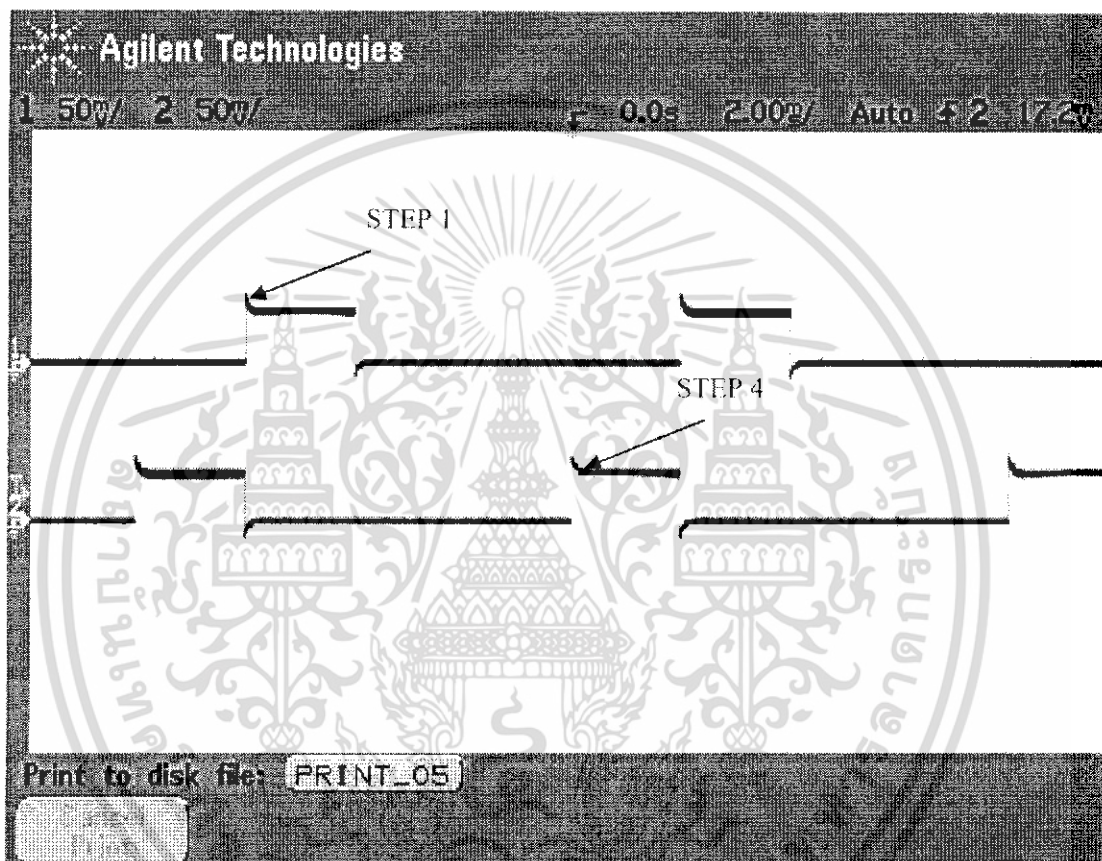
ภาพที่ 5.4 แสดงการเปรียบเทียบระหว่างสัญญาณ STEP ที่ 1 และ STEP ที่ 2 แบบ Full Step

เอกสารนี้เป็นเอกสารที่สงวนไว้สำหรับการใช้งานเพื่อการศึกษาเท่านั้น ไม่อนุญาตให้นำไปใช้ประโยชน์ด้านการค้า ไม่ว่าจะกรณีใดๆทั้งสิ้น อีกทั้งห้ามมิให้ดัดแปลงเนื้อหา และต้องอ้างอิงถึงเจ้าของเอกสารทุกครั้งที่มีการนำไปใช้



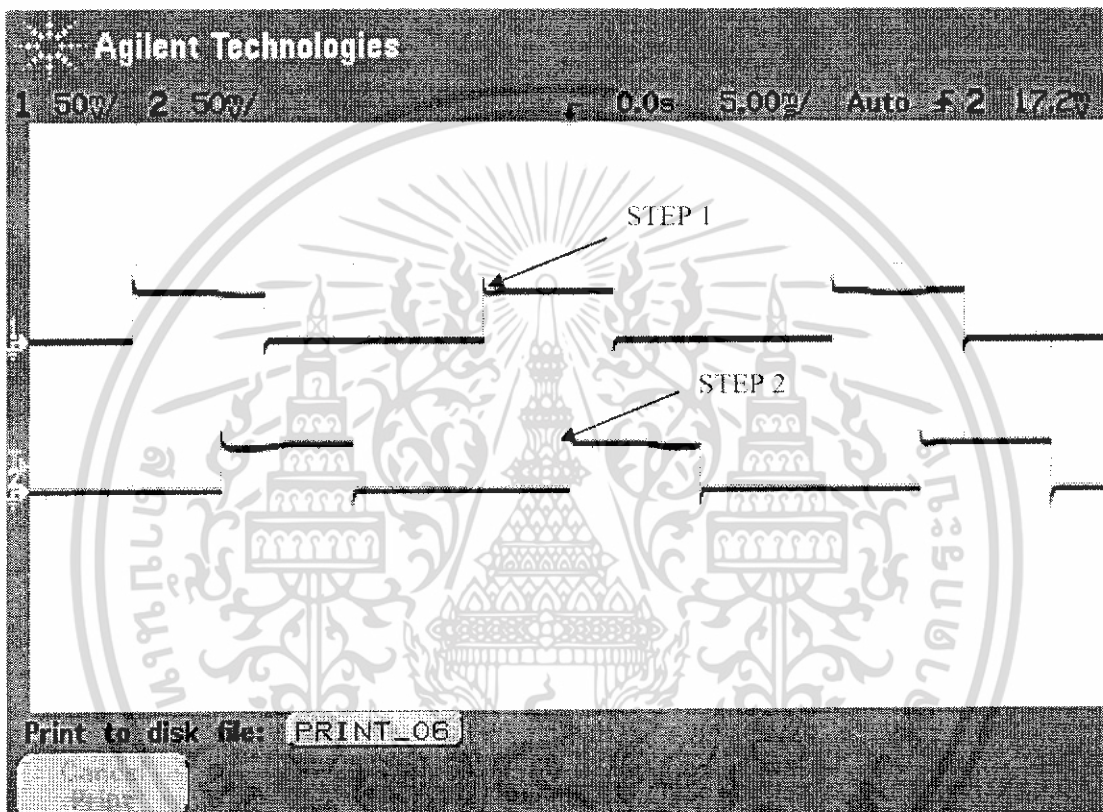
ภาพที่ 5.5 แสดงการเปรียบเทียบระหว่างสัญญาณ STEP ที่ 1 และ STEP ที่ 3 แบบ Full Step

เอกสารนี้เป็นเอกสารที่สงวนไว้สำหรับการใช้งานเพื่อการศึกษาเท่านั้น ไม่อนุญาตให้นำไปใช้ประโยชน์ด้านการค้า ไม่ว่าจะกรณีใดๆทั้งสิ้น อีกทั้งห้ามมิให้ดัดแปลงเนื้อหา และต้องอ้างอิงถึงเจ้าของเอกสารทุกครั้งที่มีการนำไปใช้



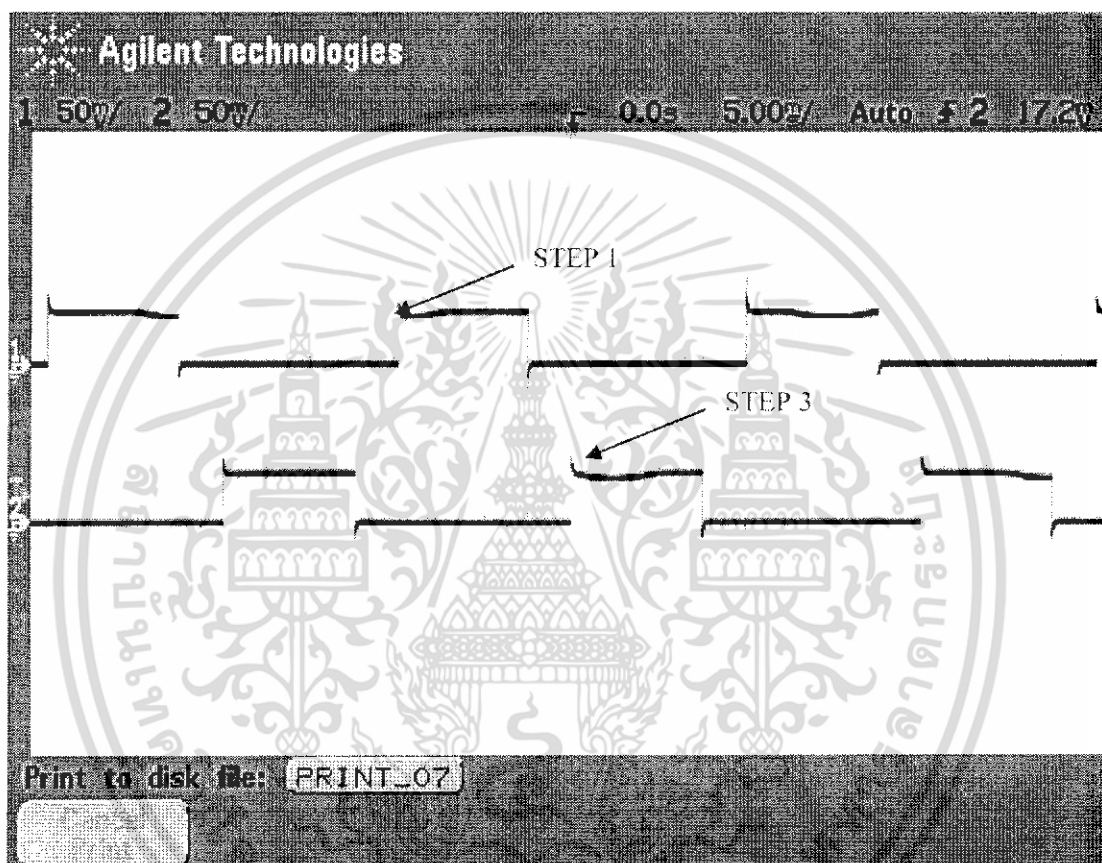
ภาพที่ 5.6 แสดงการเปรียบเทียบระหว่างสัญญาณ STEP ที่ 1 และ STEP ที่ 4 แบบ Full Step

เอกสารนี้เป็นเอกสารที่สงวนไว้สำหรับการใช้งานเพื่อการศึกษาเท่านั้น ไม่อนุญาตให้นำไปใช้ประโยชน์ด้านการค้า ไม่ว่าจะกรณีใดๆทั้งสิ้น อีกทั้งห้ามมิให้ดัดแปลงเนื้อหา และต้องอ้างอิงถึงเจ้าของเอกสารทุกครั้งที่มีการนำไปใช้



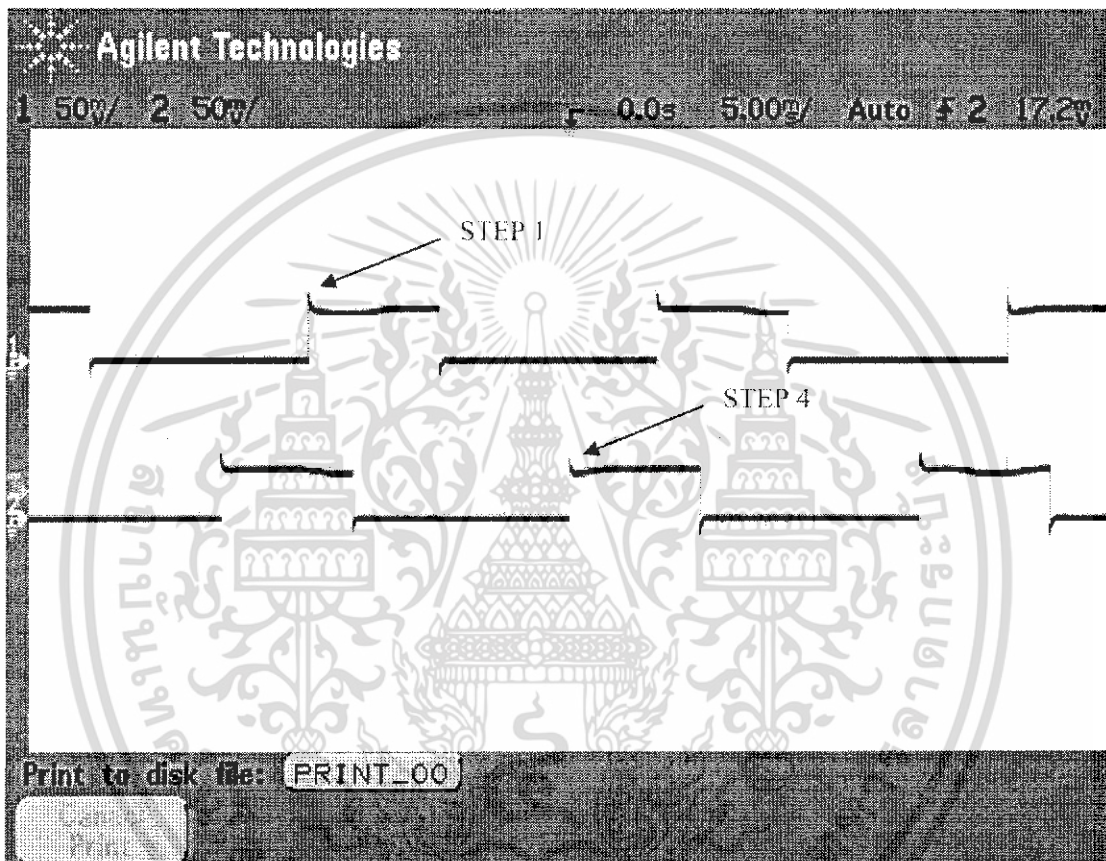
ภาพที่ 5.7 แสดงการเปรียบเทียบระหว่างสัญญาณ STEP ที่ 1 และ STEP ที่ 2 แบบ Half Step

เอกสารนี้เป็นเอกสารที่สงวนไว้สำหรับการใช้งานเพื่อการศึกษาเท่านั้น ไม่อนุญาตให้นำไปใช้ประโยชน์ด้านการค้า ไม่ว่าจะกรณีใดๆทั้งสิ้น อีกทั้งห้ามมิให้ดัดแปลงเนื้อหา และต้องอ้างอิงถึงเจ้าของเอกสารทุกครั้งที่มีการนำไปใช้



ภาพที่ 5.8 แสดงการเปรียบเทียบระหว่างสัญญาณ STEP ที่ 1 และ STEP ที่ 3 แบบ Half Step

เอกสารนี้เป็นเอกสารที่สงวนไว้สำหรับการใช้งานเพื่อการศึกษาเท่านั้น ไม่อนุญาตให้นำไปใช้ประโยชน์ด้านการค้า ไม่ว่าจะกรณีใดๆทั้งสิ้น อีกทั้งห้ามมิให้ดัดแปลงเนื้อหา และต้องอ้างอิงถึงเจ้าของเอกสารทุกครั้งที่มีการนำไปใช้



ภาพที่ 5.9 แสดงการเปรียบเทียบระหว่างสัญญาณ STEP ที่ 1 และ STEP ที่ 4 แบบ Half Step

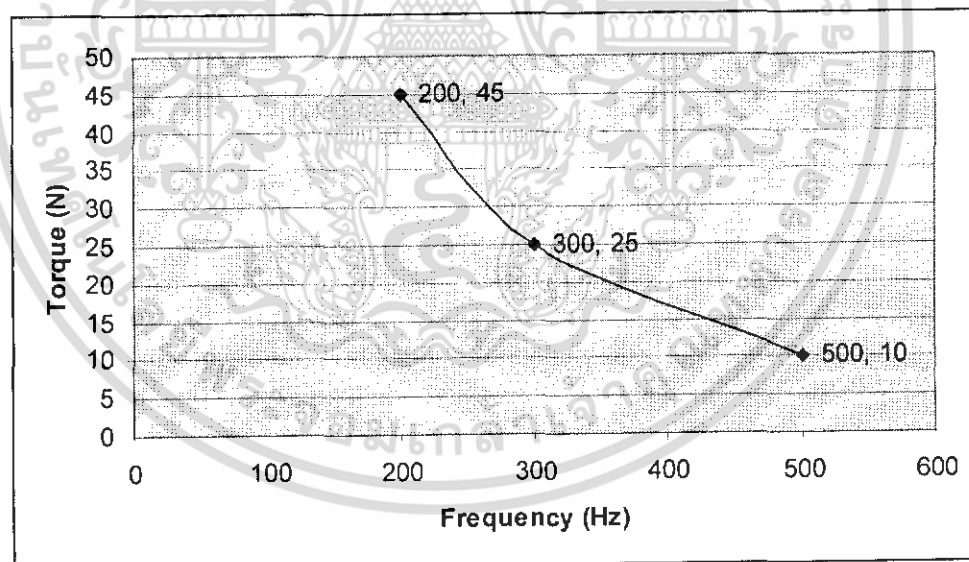
เอกสารนี้เป็นเอกสารที่สงวนไว้สำหรับการใช้งานเพื่อการศึกษาเท่านั้น ไม่อนุญาตให้นำไปใช้ประโยชน์ด้านการค้า ไม่ว่าจะกรณีใดๆทั้งสิ้น อีกทั้งห้ามมิให้ดัดแปลงเนื้อหา และต้องอ้างอิงถึงเจ้าของเอกสารทุกครั้งที่มีการนำไปใช้

ตารางที่ 5.1 ผลการทดลองแบบ Half Step

Frequency (Hz)	Torque (N)	rpm
500	10	203
300	25	177.5
200	45	125.9

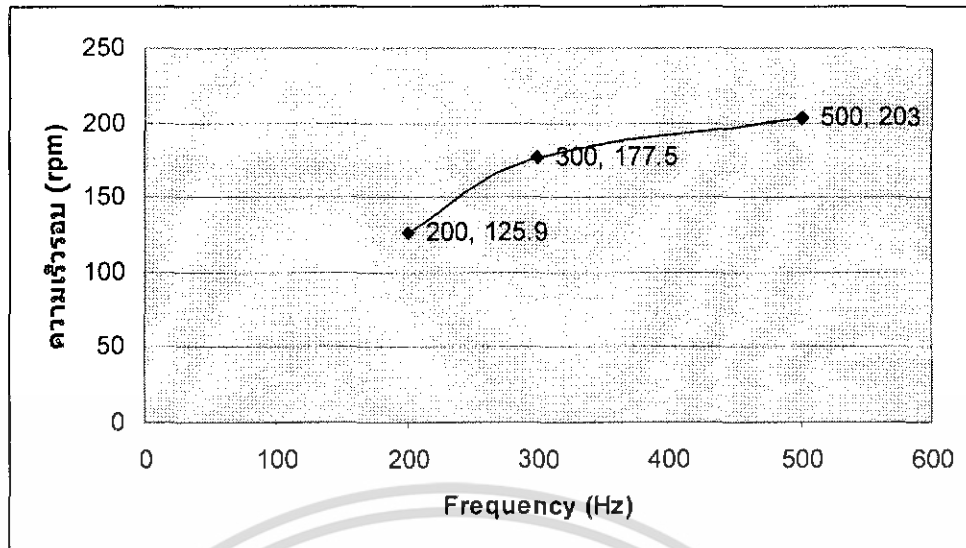
ตารางที่ 5.2 ผลการทดลองแบบ Full Step

Frequency (Hz)	Torque (N)	rpm
100	20	125
50	30	55
40	40	47.9
30	45	31

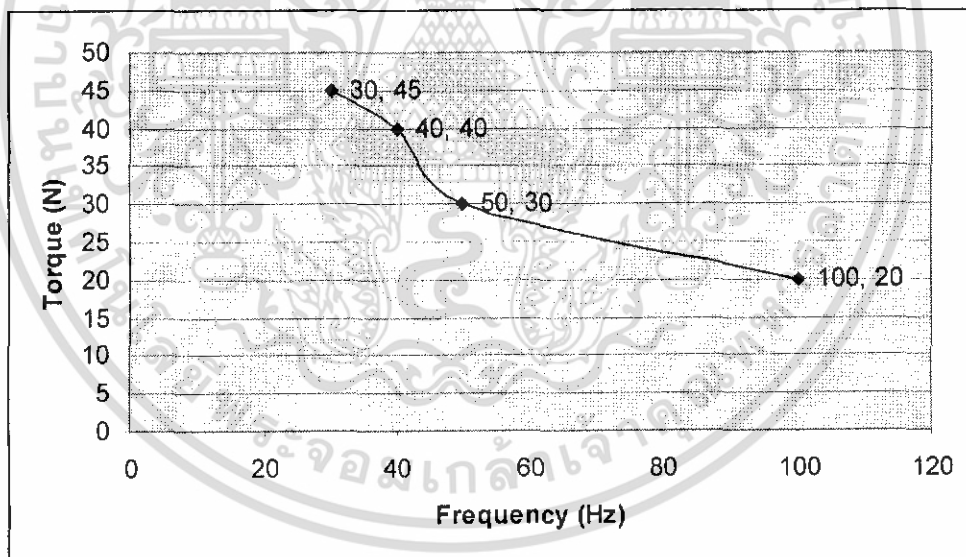


ภาพที่ 5.10 แสดงความสัมพันธ์ระหว่าง Frequency และ Torque แบบ Half Step

เอกสารนี้เป็นเอกสารที่สงวนไว้สำหรับการใช้งานเพื่อการศึกษาเท่านั้น ไม่อนุญาตให้นำไปใช้ประโยชน์ด้านการค้า ไม่ว่าจะกรณีใดๆทั้งสิ้น อีกทั้งห้ามมิให้ดัดแปลงเนื้อหา และต้องอ้างอิงถึงเจ้าของเอกสารทุกครั้งที่มีการนำไปใช้

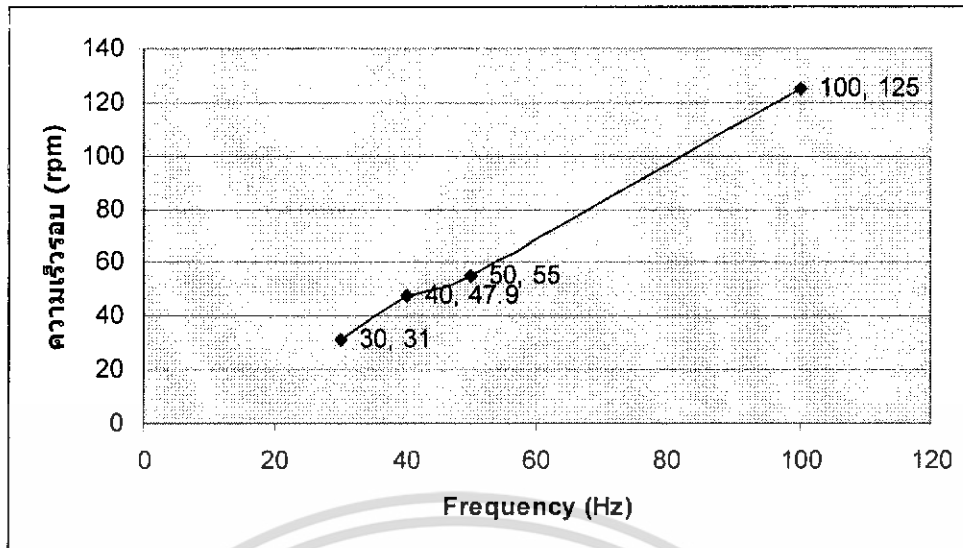


ภาพที่ 5.11 แสดงความสัมพันธ์ระหว่าง Frequency และ ความเร็วรอบ แบบ Half Step

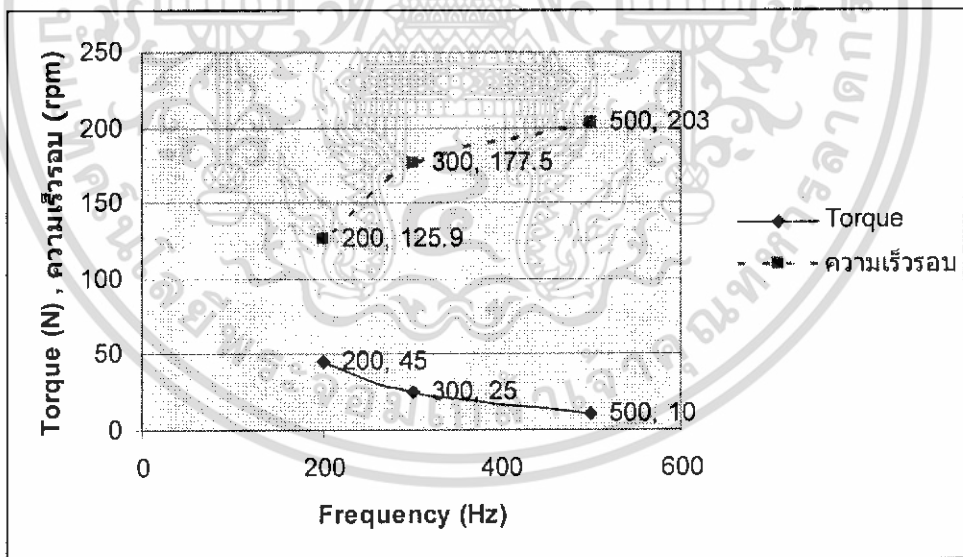


ภาพที่ 5.12 แสดงความสัมพันธ์ระหว่าง Frequency และ Torque แบบ Full Step

เอกสารนี้เป็นเอกสารที่สงวนไว้สำหรับการใช้งานเพื่อการศึกษาเท่านั้น ไม่อนุญาตให้นำไปใช้ประโยชน์ด้านการค้า ไม่ว่าจะกรณีใดๆทั้งสิ้น อีกทั้งห้ามมิให้ดัดแปลงเนื้อหา และต้องอ้างอิงถึงเจ้าของเอกสารทุกครั้งที่มีการนำไปใช้

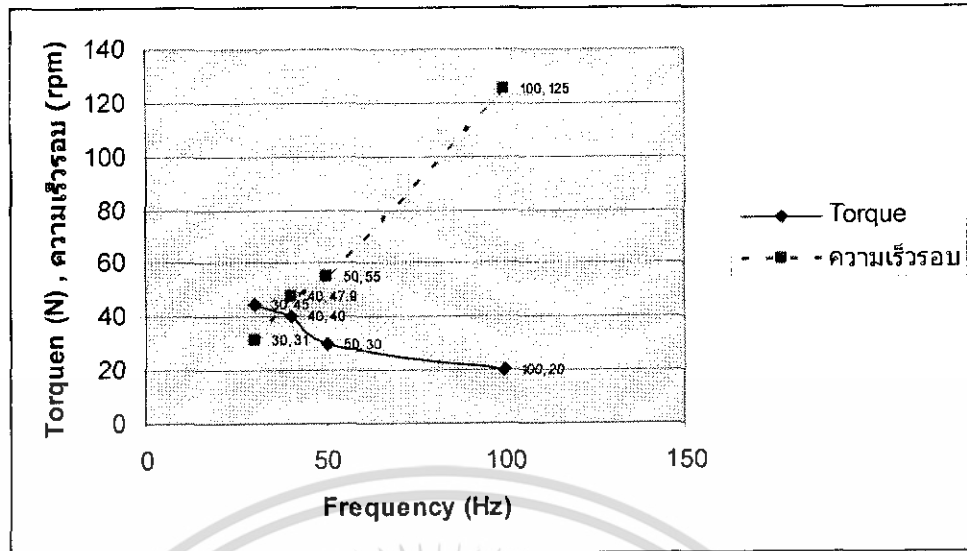


ภาพที่ 5.13 แสดงความสัมพันธ์ระหว่าง Frequency และ ความเร็วรอบ แบบ Full Step

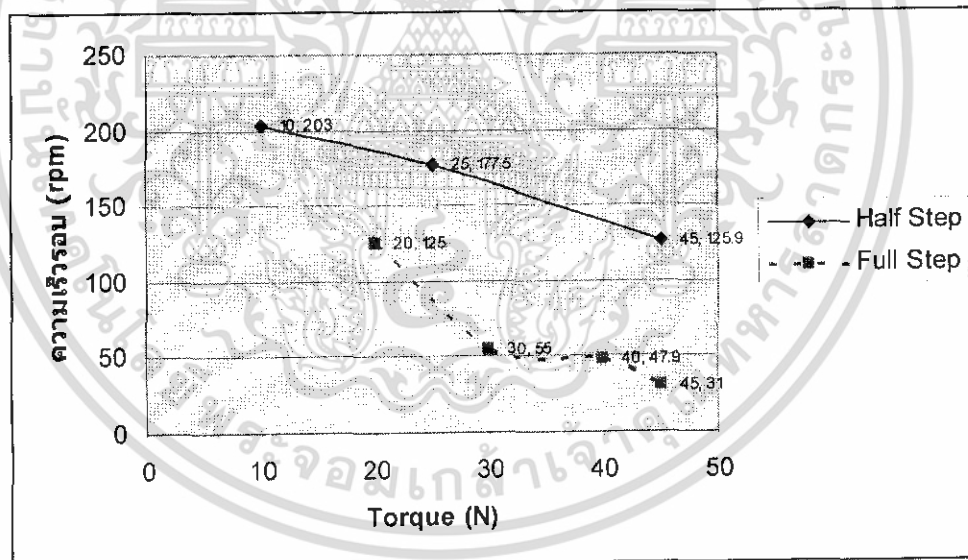


ภาพที่ 5.14 แสดงความสัมพันธ์ระหว่าง Frequency , Torque และ ความเร็วรอบ แบบ Half Step

เอกสารนี้เป็นเอกสารที่สงวนไว้สำหรับการใช้งานเพื่อการศึกษาเท่านั้น ไม่อนุญาตให้นำไปใช้ประโยชน์ด้านการค้า ไม่ว่าจะกรณีใดๆทั้งสิ้น อีกทั้งห้ามมิให้ดัดแปลงเนื้อหา และต้องอ้างอิงถึงเจ้าของเอกสารทุกครั้งที่มีการนำไปใช้



ภาพที่ 5.15 แสดงความสัมพันธ์ระหว่าง Frequency , Torque และ ความเร็วรอบ แบบ Full Step



ภาพที่ 5.16 แสดงความสัมพันธ์ระหว่าง Torque และ ความเร็วรอบ

เอกสารนี้เป็นเอกสารที่สงวนไว้สำหรับการใช้งานเพื่อการศึกษาเท่านั้น ไม่อนุญาตให้นำไปใช้ประโยชน์ด้านการค้า ไม่ว่าจะกรณีใดๆทั้งสิ้น อีกทั้งห้ามมิให้ดัดแปลงเนื้อหา และต้องอ้างอิงถึงเจ้าของเอกสารทุกครั้งที่มีการนำไปใช้

5.3 สรุปผลการทดลอง

1. เมื่อทำการทดสอบตัว FPGA สามารถสร้างสัญญาณ STEP ที่จะนำไปใช้ในการสั่งงาน Stepping Motor ได้ตามรูปแบบการ Drive ทั้งแบบ Full Step และ Half Step ที่ถูกต้องได้
2. เมื่อทำการทดสอบทางด้านค่าความถี่ และเวลา FPGA สามารถสร้าง Step ได้ตรงความถี่ และ ค่าเวลา ที่ตั้งได้อย่างถูกต้อง
3. สามารถทำการควบคุมแรงบิดและความเร็วรอบให้อยู่ในระดับที่ต้องการควบคุมได้ตามต้องการ ซึ่งความถี่ที่ใช้ในการทดลองนั้นจะเริ่มจากความถี่สูงสุดที่ Stepping Motor สามารถเกิดแรงบิดขับโหลดได้มาจนถึงระดับความถี่ที่ Stepping Motor สามารถเกิดแรงบิดขับโหลดได้สูงสุดถึงที่ 45 N แล้วทำการวัดค่าความเร็วรอบที่ความถี่ต่างๆที่ได้จากการวัดแรงบิด ทั้งในแบบ Full Step และแบบ Half Step จะได้ค่าตามตารางการทดลองและกราฟ



เอกสารนี้เป็นเอกสารที่สงวนไว้สำหรับการใช้งานเพื่อการศึกษาเท่านั้น ไม่อนุญาตให้นำไปใช้ประโยชน์ด้านการค้า ไม่ว่าจะกรณีใดๆทั้งสิ้น อีกทั้งห้ามมิให้ดัดแปลงเนื้อหา และต้องอ้างอิงถึงเจ้าของเอกสารทุกครั้งที่มีการนำไปใช้

บทที่ 6

สรุปผลการวิจัยและแนวทางการพัฒนา

6.1 บทสรุป

ในการวิจัยครั้งนี้เป็นการศึกษาโครงสร้าง รูปแบบการทำงานของ FPGA และการเขียนโปรแกรมโดยใช้ภาษา VHDL เพื่อนำไปควบคุมการทำงานของ Stepping Motor จากการวิจัยสามารถใช้ FPGA Drive Stepping Motor เพื่อทำการควบคุมความเร็วรอบและแรงบิด ของการ Drive แบบ Full Step และแบบ Half Step

6.2 แนวทางการพัฒนา

แนวทางการพัฒนาต่อทางคณะผู้จัดทำเห็นว่า FPGA เป็นอุปกรณ์ที่มีความสามารถในการทำงานทางด้านเวลาดีกว่า Microcontroller ที่มีขายตามท้องตลาด แต่ยังมีข้อจำกัดด้านเทคนิคบางอย่างที่ตัว FPGA ไม่สามารถทำงานได้เหมือน Microcontroller ซึ่งยังต้องรอผู้ผลิตพัฒนาประสิทธิภาพของ FPGA ให้มีความสามารถมากยิ่งขึ้นและใช้งานได้ง่ายขึ้น

6.3 ปัญหาสำหรับการวิจัย

1. เนื่องจาก FPGA เป็นอุปกรณ์ชนิดใหม่จึงต้องใช้เวลาในการศึกษา FPGA และภาษา VHDL เป็นเวลานาน และแหล่งข้อมูลที่ใช้ในการศึกษายังมีไม่มากนัก
2. วงจรและอุปกรณ์ที่ใช้ในการต่อวงจรขับ Stepping Motor แบบสองแหล่งจ่าย ยังไม่สมบูรณ์พอจึงต้องมีการพัฒนาให้มีประสิทธิภาพที่ดีกว่านี้
3. อุปกรณ์ที่ใช้ในการทดลองดังเช่น Load ที่ใช้วัดแรงบิดไม่ละเอียด จึงทำให้การทดลองได้ค่าที่ไม่ละเอียด

บรรณานุกรม

1. ภาษา VHDL สำหรับการออกแบบวงจรดิจิทัล,ชาญ ปัญญาใส, วัชรกร หนูทอง
2. เปิดโลก FPGA กับ WIZARD PLD-A01,Astron Logic Research & Development Co.,LTD.
3. การประยุกต์ใช้ FPGA ในการออกแบบอินเทอร์เฟซของฮาร์ดดีสคอนโทรลเลอร์สำหรับเครื่องอิเล็กทรอนิกส์คอมพิวเตอร์,นายสีหชาติ สดับรรณารักษ์,สถาบันเทคโนโลยีพระจอมเกล้าเจ้าคุณทหารลาดกระบัง
4. การออกแบบแยะสร้างไมโครคอนโทรลเลอร์โดยใช้เอพฟิจีเอ, นายวัชรกร หนูทอง, สถาบันเทคโนโลยีพระจอมเกล้าเจ้าคุณทหารลาดกระบัง



เอกสารนี้เป็นเอกสารที่สงวนไว้สำหรับการใช้งานเพื่อการศึกษาเท่านั้น ไม่อนุญาตให้นำไปใช้ประโยชน์ด้านการค้า
ไม่ว่ากรณีใดๆทั้งสิ้น อีกทั้งห้ามมิให้ดัดแปลงเนื้อหา และต้องอ้างอิงถึงเจ้าของเอกสารทุกครั้งที่มีการนำไปใช้



ภาคผนวก

เอกสารนี้เป็นเอกสารที่สงวนไว้สำหรับการใช้งานเพื่อการศึกษาเท่านั้น ไม่อนุญาตให้นำไปใช้ประโยชน์ด้านการค้า
ไม่ว่ากรณีใดๆทั้งสิ้น อีกทั้งห้ามมิให้ดัดแปลงเนื้อหา และต้องอ้างอิงถึงเจ้าของเอกสารทุกครั้งที่มีการนำไปใช้



เอกสารนี้เป็นเอกสารที่สงวนไว้สำหรับการใช้งานเพื่อการศึกษาเท่านั้น ไม่อนุญาตให้นำไปใช้ประโยชน์ด้านการค้า
ไม่ว่ากรณีใดๆทั้งสิ้น อีกทั้งห้ามมิให้ดัดแปลงเนื้อหา และต้องอ้างอิงถึงเจ้าของเอกสารทุกครั้งที่มีการนำไปใช้

โปรแกรมที่ใช้ในการควบคุม

```

library IEEE;
use IEEE.STD_LOGIC_1164.ALL;
use IEEE.STD_LOGIC_ARITH.ALL;
use IEEE.STD_LOGIC_UNSIGNED.ALL;

-- Uncomment the following lines to use the declarations that are
-- provided for instantiating Xilinx primitive components.
--library UNISIM;
--use UNISIM.VComponents.all;

entity TEST3 is
  Port ( sw : in std_logic;
        clk : in std_logic;
        reset : in std_logic;
        resetb : in std_logic;
        input : in std_logic;
        output : out std_logic_vector(3 downto 0));
end TEST3;

architecture Behavioral of TEST3 is

  type state_type is (s0,s1,s2,s3,s4,s5,s6,s7);
  signal state : state_type;

  begin

  state_p: PROCESS (clk,reset,resetb,input)

```

เอกสารนี้เป็นเอกสารที่สงวนไว้สำหรับการใช้งานเพื่อการศึกษาเท่านั้น ไม่อนุญาตให้นำไปใช้ประโยชน์ด้านการค้า ไม่ว่าจะกรณีใดๆทั้งสิ้น อีกทั้งห้ามมิให้ดัดแปลงเนื้อหา และต้องอ้างอิงถึงเจ้าของเอกสารทุกครั้งที่มีการนำไปใช้

BEGIN

IF (not reset = '1') or (not resetb = '1') THEN

 state <= s0;

ELSIF Rising_edge(clk) THEN

CASE state IS

WHEN s0 =>

IF (input = '1') THEN

 state <= s1;

END IF;

WHEN s1 =>

IF (input = '0') THEN

 state <= s2;

END IF;

WHEN s2 =>

IF (input = '1') THEN

 state <= s3;

END IF;

WHEN s3 =>

IF (input = '0') THEN

 state <= s4;

END IF;

WHEN s4 =>

IF (input = '1') THEN

เอกสารนี้เป็นเอกสารที่สงวนไว้สำหรับการใช้งานเพื่อการศึกษาเท่านั้น ไม่อนุญาตให้นำไปใช้ประโยชน์ด้านการค้า
ไม่ว่ากรณีใดๆทั้งสิ้น อีกทั้งห้ามมิให้ดัดแปลงเนื้อหา และต้องอ้างอิงถึงเจ้าของเอกสารทุกครั้งที่มีการนำไปใช้

```

state <= s5;
END IF;

WHEN s5 =>
IF (input = '0') THEN
state <= s6;
END IF;

WHEN s6 =>
IF (input = '1') THEN
state <= s7;
END IF;

WHEN s7 =>
IF (input = '0') THEN
state <= s0;
END IF;
END CASE;
END IF;
END PROCESS state_P;

output_P: PROCESS (sw,state)
BEGIN

IF (sw = '1') THEN
CASE state IS
WHEN s0 => output(3 downto 0) <= "0001";
WHEN s1 => output(3 downto 0) <= "0010";
WHEN s2 => output(3 downto 0) <= "0100";
WHEN s3 => output(3 downto 0) <= "1000";

```

เอกสารนี้เป็นเอกสารที่สงวนไว้สำหรับการใช้งานเพื่อการศึกษาเท่านั้น ไม่อนุญาตให้นำไปใช้ประโยชน์ด้านการค้า ไม่ว่าจะกรณีใดๆทั้งสิ้น อีกทั้งห้ามมิให้ดัดแปลงเนื้อหา และต้องอ้างอิงถึงเจ้าของเอกสารทุกครั้งที่มีการนำไปใช้

```

    WHEN s4 => output(3 downto 0) <= "0001";
    WHEN s5 => output(3 downto 0) <= "0010";
    WHEN s6 => output(3 downto 0) <= "0100";
    WHEN s7 => output(3 downto 0) <= "1000";

    END CASE;

    ELSIF (sw = '0') THEN

    CASE state IS

        WHEN s0 => output(3 downto 0) <= "0001";
        WHEN s1 => output(3 downto 0) <= "0011";
        WHEN s2 => output(3 downto 0) <= "0010";
        WHEN s3 => output(3 downto 0) <= "0110";
        WHEN s4 => output(3 downto 0) <= "0100";
        WHEN s5 => output(3 downto 0) <= "1100";
        WHEN s6 => output(3 downto 0) <= "1000";
        WHEN s7 => output(3 downto 0) <= "1001";

    END CASE;

    END IF;

    END PROCESS output_P;

end Behavioral;

```

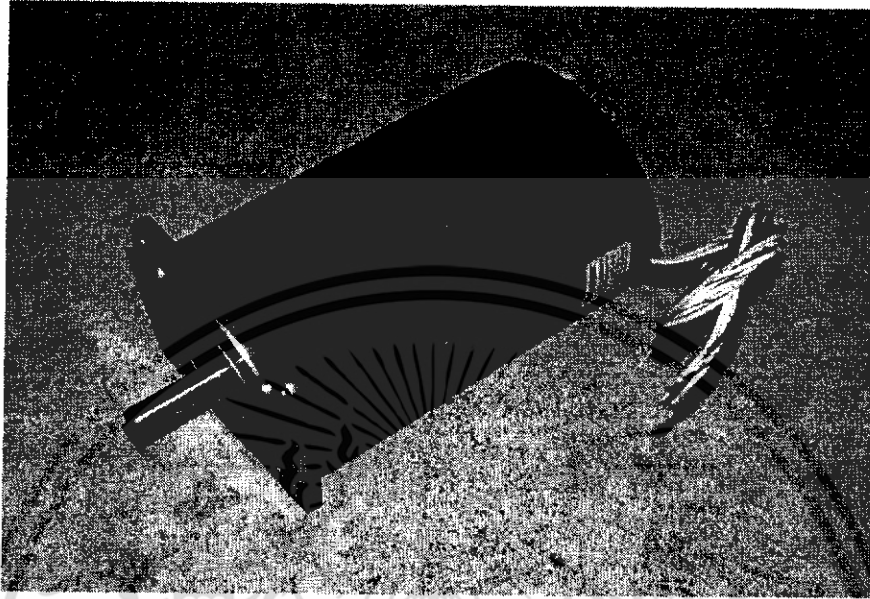
เอกสารนี้เป็นเอกสารที่สงวนไว้สำหรับการใช้งานเพื่อการศึกษาเท่านั้น ไม่อนุญาตให้นำไปใช้ประโยชน์ด้านการค้า
ไม่ว่ากรณีใดๆทั้งสิ้น อีกทั้งห้ามมิให้ดัดแปลงเนื้อหา และต้องอ้างอิงถึงเจ้าของเอกสารทุกครั้งที่มีการนำไปใช้



ภาคผนวก ข

เอกสารนี้เป็นเอกสารที่สงวนไว้สำหรับการใช้งานเพื่อการศึกษาเท่านั้น ไม่อนุญาตให้นำไปใช้ประโยชน์ด้านการค้า
ไม่ว่ากรณีใดๆทั้งสิ้น อีกทั้งห้ามมิให้ดัดแปลงเนื้อหา และต้องอ้างอิงถึงเจ้าของเอกสารทุกครั้งที่มีการนำไปใช้

ลักษณะของมอเตอร์ที่ใช้ในการวิจัย



ภาพที่ ข1. มอเตอร์ที่ใช้ในการวิจัย



ภาพที่ ข2. มอเตอร์ที่ใช้ในการวิจัย

เอกสารนี้เป็นเอกสารที่สงวนไว้สำหรับการใช้งานเพื่อการศึกษาเท่านั้น ไม่อนุญาตให้นำไปใช้ประโยชน์ด้านการค้า ไม่ว่าจะกรณีใดๆทั้งสิ้น อีกทั้งห้ามมิให้ดัดแปลงเนื้อหา และต้องอ้างอิงถึงเจ้าของเอกสารทุกครั้งที่มีการนำไปใช้



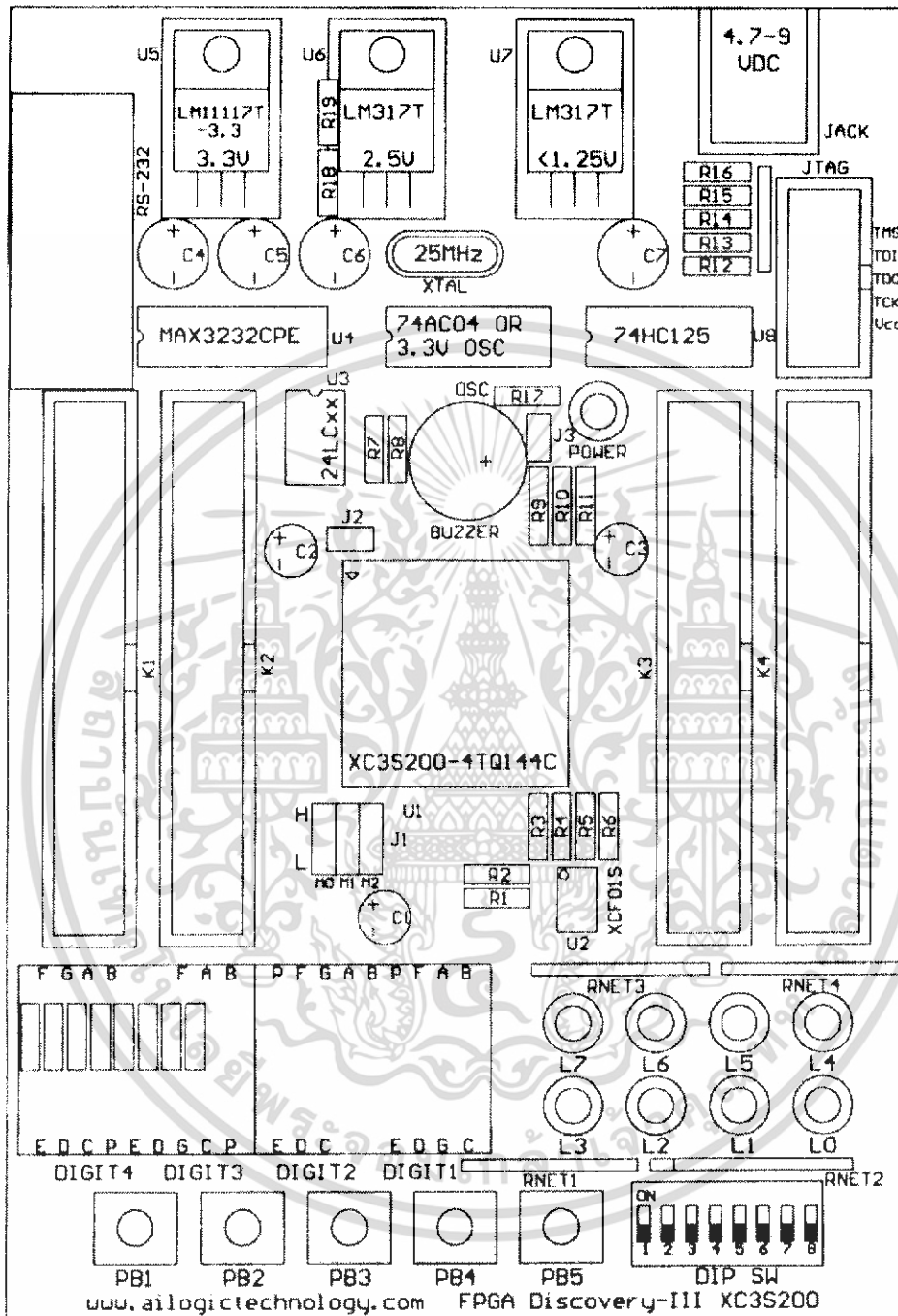
ภาพที่ ข3. มอเตอร์ที่ใช้ในการวิจัย

เอกสารนี้เป็นเอกสารที่สงวนไว้สำหรับการใช้งานเพื่อการศึกษาเท่านั้น ไม่อนุญาตให้นำไปใช้ประโยชน์ด้านการค้า ไม่ว่าจะกรณีใดๆทั้งสิ้น อีกทั้งห้ามมิให้ดัดแปลงเนื้อหา และต้องอ้างอิงถึงเจ้าของเอกสารทุกครั้งที่มีการนำไปใช้



เอกสารนี้เป็นเอกสารที่สงวนไว้สำหรับการใช้งานเพื่อการศึกษาเท่านั้น ไม่อนุญาตให้นำไปใช้ประโยชน์ด้านการค้า
ไม่ว่ากรณีใดๆทั้งสิ้น อีกทั้งห้ามมิให้ดัดแปลงเนื้อหา และต้องอ้างอิงถึงเจ้าของเอกสารทุกครั้งที่มีการนำไปใช้

FPGA Discovery-III XC3S200 Board Manual



1. Connector and Jumper

1.1 Expansion connector (K1 - K4)

เป็นหัวต่อที่ใช้เชื่อมต่อสัญญาณ I/O จาก FPGA ไปยังบอร์ดหรืออุปกรณ์ภายนอกที่มี I/O เป็น 3.3V โดยจะต่ออยู่กับขา CPLD ดังตารางด้านล่าง ในกรณีที่ I/O ของ FPGA เป็น Output สามารถต่อออกจากบอร์ดไปขับ Input

เอกสารนี้เป็นเอกสารที่สงวนไว้สำหรับการใช้งานเพื่อการศึกษาเท่านั้น ไม่อนุญาตให้นำไปใช้ประโยชน์ด้านการค้า ไม่ว่าจะกรณีใดๆทั้งสิ้น อีกทั้งห้ามมิให้ดัดแปลงเนื้อหา และต้องอ้างอิงถึงเจ้าของเอกสารทุกครั้งที่มีการนำไปใช้

ของอุปกรณ์ที่เป็นระบบ 3.3V และ 5V ได้โดยตรง แต่ถ้า I/O ของ FPGA เป็น Input นั้นจะรับได้เฉพาะ Input ที่เป็นระบบ 3.3V เท่านั้น (ถ้ารับมาจากระบบ 2.5V ต้องใช้ตัวความต้านทาน (R) มา Pull up) แต่ถ้า Input เป็นระบบ 5V จะต้องใช้บัฟเฟอร์ที่เป็นระบบ 3.3V มากันเพื่อป้องกันไม่ให้ I/O ของ FPGA ได้รับความเสียหายที่บัฟเฟอร์ที่เป็นระบบ 3.3V อาจใช้ไอซีตระกูล 74HCxx หรือ 74ACxx (เร็วกว่า) มากินไฟเลี้ยง (Vcc) 3.3VDC และต้องต่อความต้านทาน 200 โอห์มที่ Input ของบัฟเฟอร์ทุกตัว (เพื่อจำกัดกระแสไม่ให้ Input ของบัฟเฟอร์เสียหาย คือ <math> < 10 \text{ mA}</math>)

1.2 JTAG connector

เป็นหัวต่อที่ใช้ต่อกับสายที่ใช้โปรแกรมข้อมูลลงตัว FPGA และ PROM โดยผ่านทาง JTAG Cable

1.3 J1

จัมเปอร์ J1 ประกอบด้วย M0 , M1 , M2 โดยปกติให้เซทไว้ที่ลอคจิก “ L “ หรืออยู่ในโหมด Master serial เนื่องจากเราสามารถโปรแกรม PROM หรือ FPGA โดยใช้สาย JTAG ได้อยู่แล้วโดยไม่ต้องสนใจตำแหน่งของจัมเปอร์แต่อย่างใด

1.4 J2

จัมเปอร์ที่ใช้ควบคุมให้ FPGA ทำการ Pull up I/O ของ FPGA ทุกขาเมื่อใส่จัมเปอร์ และจะเป็น Hi Impedance เมื่อถอดจัมเปอร์ออก

1.5 J3

จัมเปอร์ที่ใช้ตัด BUZZER ออกจาก FPGA เมื่อถอดจัมเปอร์ออก

2. Input

2.1 DIP switch (DIP SW)

เป็นชุดของสวิตช์เลื่อนขนาดเล็กที่ใช้ป้อนข้อมูลเข้าสู่ FPGA โดยถ้าเลื่อนลง (Off) จะเป็น “1”



ถ้าเลื่อนขึ้น (On) จะเป็น “0” โดยเชื่อมต่อกับขาของ FPGA ดังตารางด้านท้าย DIP SW ทุกตัวจึงทำงานแบบ Active Low



2.2 Push button switch (PB1 – PB5)

เป็นสวิตช์กดติดปลั๊กดัดที่ให้สัญญาณเข้าที่พุดเป็นระดับลอคจิก “0” เมื่อกดสวิตช์ และเป็นระดับลอคจิก “1” เมื่อปล่อยสวิตช์ โดยจะต่ออยู่กับขา FPGA ดังตารางด้านท้าย Push button switch ทุกตัวจึงทำงานแบบ Active Low

2.3 Changeable oscillator (OSC)

เป็นตัวกำเนิดสัญญาณนาฬิกาที่สามารถเปลี่ยนค่าความถี่ที่ต้องการได้ โดยการถอดเปลี่ยน ออสซิลเลเตอร์เดิม (3.3V) ที่ให้มาบนบอร์ดออก แล้วใส่ตัวใหม่ (3.3V) เข้าไปแทนที่ที่ซอกเก็ตไอซีเบอร์ 74AC04 โดยที่เอาท์พุทของ OSC จะต่ออยู่กับขา FPGA ดังตารางด้านท้าย ซึ่งเป็นขา Global clock เหมาะสำหรับวงจรที่ต้องการความถี่ในการทำงานสูงๆ

3. Output

3.1 7-Segment (DIGIT1 – DIGIT4)

เป็นตัวแสดงผลเจ็ดส่วนจำนวน 4 หลักที่สามารถถอดออกได้ (หากต้องการใช้ I/O ที่ Connector K1 และ K2 ส่วนที่แชร์ I/O อยู่กับตัวแสดงผลเจ็ดส่วนทั้ง 4 หลัก) โดยเรียงจากซ้ายไปขวาคือ DIGIT4, DIGIT3, DIGIT2 และ DIGIT1 โดยตัวที่ 2 และ 1 จะทำการกลับตัวแสดงผลเจ็ดส่วนให้เพื่อใช้จุด (Dot) ในการทำนาฬิกาหรือ แสดงองศาในการวัดอุณหภูมิ เช่น 11:39 หรือ 20°

ตัวแสดงผลเจ็ดส่วนทั้งหมดจะต่อขาคาตาเข้าด้วยกันโดยมีขาไฟร่วม (Common cathode) แยกกันสี่ขา ดังนั้นผู้ใช้จึงจำเป็นต้องใช้เทคนิคในการสแกน (Scan) เพื่อให้ตัวแสดงผลทั้งเจ็ดส่วนสามารถแสดงผลพร้อมกันได้ทั้งหมด และตัวแสดงผลทั้งหมดเป็นแบบไฟร่วม (Common cathode) โดยจะต่ออยู่กับขา FPGA ดังตารางด้านล่าง

3.2 LED แสดงผล

LED แสดงผล L0 – L7 จะต่อแชร์กับ I/O ของ Connector K3 และ K4 โดยที่ L2, L3, L6 และ L7 จะต่อแชร์กับ I/O ของ Connector K3 โดยมี Resistor “RNET3” 8P4R 470 Ohm จำกัดกระแส และ L0, L1, L4 และ L5 จะต่อแชร์กับ I/O ของ Connector K4 โดยมี Resistor “RNET3” 8P4R 470 Ohm จำกัดกระแส

3.3 Buzzer

เป็นออกความถี่เสียง (Buzzer) โดยที่จะมีเสียงดังเมื่อป้อนสัญญาณเป็น High “1” โดยจะต่ออยู่กับขา FPGA ดังตารางด้านล่าง กรณีที่ต้องการใช้ I/O ของ Connector K4 ที่แชร์อยู่กับออกหรือไม่ต้องการใช้ออกให้ถอดจัมเปอร์ J3 ออก

4. Misc

4.1 Jack สำหรับ DC Adaptor

เป็นหัวต่อ ไฟเลี้ยงเพื่อป้อนให้แก่บอร์ดในการทำงาน ต่ออยู่กับแอดปเตอ์ที่มีไฟออกมาเป็น 4.7V – 9V โดยมีขั้วด้านในเป็น บวก “+” ด้านนอกเป็น ลบ “-”

4.2 Power LED (POWER)

เป็นไดโอดเปล่งแสงว่าในขณะที่นั้นๆ มีไฟเลี้ยงบอร์ดอยู่หรือไม่

4.3 RS-232C Port

เป็นพอร์ต RS-232C ซึ่งหากไม่ต้องการใช้พอร์ต RS-232C แต่ต้องการใช้เป็น I/O ที่ Connector K1 และ K2 (ส่วนที่แชร์ I/O อยู่กับพอร์ต RS-232C) ให้ถอดไอซี MAX3232CPE ออกจาก Socket

หมายเหตุ ขา 15 ของไอซี MAX3232CPE ต้องบัดกรีลงกราวนด์ด้วย

4.4 Platform Flash PROM เบอร์ XCF01S

เป็น Serial PROM ที่สามารถโปรแกรมได้โดยตรงผ่านทางสาย JTAG สามารถโปรแกรมซ้ำได้ประมาณ 20,000 ครั้ง

4.5 I2C Socket

เป็น Socket สำหรับใส่ไอซีแบบ I2C Serial EEPROM เบอร์ 24LCxx เช่น 24LC256 เป็นต้น ซึ่งสามารถถอดออกได้ (หากต้องการใช้ I/O ที่ Connector K1 และ K2 ส่วนที่แชร์ I/O อยู่กับ I2C Serial EEPROM) I/O 2 ขานี้จะมี Pull up resistor 4.7kOhm ต่ออยู่

5. ตาราง I/O ของ FPGA

ดูจากไฟล์ K1 , K2 , K3 , K4 และ 7-Segment การดูขาของ Connector K1-K4 ให้สังเกตด้านรอยบาก ล็กรูปสี่เหลี่ยมจะเป็นแถวของขาที่เป็นเลขคี่ทั้งหมดเริ่มจาก 1 ถึง 39 โดยที่ด้านซ้ายสุดเป็นขา 1 ซึ่งจะมี Mark รูปสามเหลี่ยมปรากฏอยู่ด้านข้าง

หมายเหตุ ข้อมูล UPDATE ต่างๆ สอบถามหรือดูรายละเอียดได้ที่บริษัท เอเพก อินสตรูเมนต์ จำกัด 77/9 ซอยลาดพร้าว 1 แขวงลาดยาว เขตจตุจักร กทม 10900 โทร. 0 – 293 – 2084 หรือ 0 – 1833 – 7279 หรือดาวน์โหลดได้ที่ <http://www.ailogictechnology.com>

7-Segment	FPGA Pinout	Descriptions
a	p40	a
b	p35	b
c	p32	c
d	p30	d
e	p27	e
f	p25	f
g	p23	g
dp	p20	Decimal Point
DG1	p31	DIGIT1 , COMMON CATHODE
DG2	p33	DIGIT2 , COMMON CATHODE
DG3	p36	DIGIT3 , COMMON CATHODE
DG4	p41	DIGIT4 , COMMON CATHODE

LED	FPGA Pinout	Descriptions
L0	p70	L0
L1	p77	L1
L2	p69	L2
L3	p76	L3
L4	p74	L4
L5	p79	L5
L6	p73	L6
L7	p78	L7

Push Botton	FPGA Pinout	Descriptions
PB1	p44	Push Botton No. 1
PB2	p46	Push Botton No. 2
PB3	p47	Push Botton No. 3
PB4	p50	Push Botton No. 4
PB5	p51	Push Botton No. 5

Dip SW	FPGA Pinout	Description
1	p52	Dip Switch No.1
2	p53	Dip Switch No.2
3	p55	Dip Switch No.3
4	p56	Dip Switch No.4
5	p59	Dip Switch No.5
6	p60	Dip Switch No.6
7	p63	Dip Switch No.7
8	p68	Dip Switch No.8

EEPROM	FPGA Pinout	Descriptions
I2C-SCL	p128	24LCXX
I2C-SDA	p129	24LCXX

Oscillator	FPGA Pinout	Descriptions
OSC	p127	25MHz , GCLK6

RS-232	FPGA Pinout	Descriptions
TX	p131	MAX3232CPE
RX	p132	MAX3232CPE

BUZZER	FPGA Pinout	Descriptions
BUZZER	p124	BUZZER

K1 Pinout	FPGA Pinout	Descriptions	k1 Pinout	FPGA Pinout	Descriptions
1	p40	I/O , a	21	p12	I/O
2		3.3 V	22		GND
3	p35	I/O , b	23	p10	I/O
4		GND	24		GND
5	p32	I/O , c	25	p7	I/O
6		GND	26		GND
7	p30	I/O , d	27	p5	I/O
8		GND	28		GND
9	p27	I/O , e	29	p2	I/O
10		GND	30		GND
11	p25	I/O , f	31	p141	I/O
12		GND	32		GND
13	p23	I/O , g	33	p137	I/O
14		GND	34		GND
15	p20	I/O , dp	35	p132	I/O, RS-232 (RX)
16		GND	36		GND
17	p17	I/O	37	p130	I/O
18		GND	38		GND
19	p14	I/O	39	p128	I/O , GCLK7 , I2C-SCL
20		GND	40		GND

เอกสารนี้เป็นเอกสารที่สงวนไว้สำหรับการใช้งานเพื่อการศึกษาเท่านั้น ไม่อนุญาตให้นำไปใช้ประโยชน์ด้านการค้า
ไม่ว่ากรณีใดๆทั้งสิ้น อีกทั้งห้ามมิให้ดัดแปลงเนื้อหา และต้องอ้างอิงถึงเจ้าของเอกสารทุกครั้งที่มีการนำไป 6

K2 Pinout	FPGA Pinout	Descriptions	k2 Pinout	FPGA Pinout	Descriptions
1	p41	I/O , DIGIT4	21	p13	I/O
2		3.3 V	22		GND
3	p36	I/O , DIGIT3	23	p11	I/O
4		GND	24		GND
5	p33	I/O , DIGIT2	25	p8	I/O
6		GND	26		GND
7	p31	I/O , DIGIT1	27	p6	I/O
8		GND	28		GND
9	p28	I/O	29	p4	I/O
10		GND	30		GND
11	p26	I/O	31	p1	I/O
12		GND	32		GND
13	p24	I/O	33	p140	I/O
14		GND	34		GND
15	p21	I/O	35	p135	I/O
16		GND	36		GND
17	p18	I/O	37	p131	I/O , RS-232 (TX)
18		GND	38		GND
19	p15	I/O	39	p129	I/O , I2C-SDA
20		GND	40		GND

เอกสารนี้เป็นเอกสารที่สงวนไว้สำหรับการใช้งานเพื่อการศึกษาเท่านั้น ไม่อนุญาตให้นำไปใช้ประโยชน์ด้านการค้า
ไม่ว่ากรณีใดๆทั้งสิ้น อีกทั้งห้ามมิให้ดัดแปลงเนื้อหา และต้องอ้างอิงถึงเจ้าของเอกสารทุกครั้งที่มีการนำไป

K3 Pinout	FPGA Pinout	Descriptions
1		3.3 V
2	p69	I/O , L2
3		GND
4	p73	I/O , L6
5		GND
6	p76	I/O , L3
7		GND
8	p78	I/O , L7
9		GND
10	p80	I/O
11		GND
12	p83	I/O
13		GND
14	p85	I/O
15		GND
16	p87	I/O
17		GND
18	p90	I/O
19		GND
20	p93	I/O

k3 Pinout	FPGA Pinout	Descriptions
21		GND
22	p96	I/O
23		GND
24	p98	I/O
25		GND
26	p100	I/O
27		GND
28	p103	I/O
29		GND
30	p105	I/O
31		GND
32	p108	I/O
33		GND
34	p113	I/O
35		GND
36	p118	I/O
37		GND
38	p122	I/O
39		GND
40	p124	I/O , GCLK4 , BUZZER

เอกสารนี้เป็นเอกสารที่สงวนไว้สำหรับการใช้งานเพื่อการศึกษาเท่านั้น ไม่อนุญาตให้นำไปใช้ประโยชน์ด้านการค้า
ไม่ว่ากรณีใดๆทั้งสิ้น อีกทั้งห้ามมิให้ดัดแปลงเนื้อหา และต้องอ้างอิงถึงเจ้าของเอกสารทุกครั้งที่มีการนำไปใช้

K4 Pinout	FPGA Pinout	Descriptions
1		3.3 V
2	p70	I/O , L0
3		GND
4	p74	I/O , L4
5		GND
6	p77	I/O , L1
7		GND
8	p79	I/O , L5
9		GND
10	p82	I/O
11		GND
12	p84	I/O
13		GND
14	p86	I/O
15		GND
16	p89	I/O
17		GND
18	p92	I/O
19		GND
20	p95	I/O

k4 Pinout	FPGA Pinout	Descriptions
21		GND
22	p97	I/O
23		GND
24	p99	I/O
25		GND
26	p102	I/O
27		GND
28	p104	I/O
29		GND
30	p107	I/O
31		GND
32	p112	I/O
33		GND
34	p116	I/O
35		GND
36	p119	I/O
37		GND
38	p123	I/O
39		GND
40	p125	I/O , GCLK5

เอกสารนี้เป็นเอกสารที่สงวนไว้สำหรับการใช้งานเพื่อการศึกษาเท่านั้น ไม่อนุญาตให้นำไปใช้ประโยชน์ด้านการค้า
ไม่ว่ากรณีใดๆทั้งสิ้น อีกทั้งห้ามมิให้ดัดแปลงเนื้อหา และต้องอ้างอิงถึงเจ้าของเอกสารทุกครั้งที่มีการนำไปใช้

